



Skredfarekartlegging i utvalgte områder på Svalbard

91
2016

R A P P O R T



Rapport nr 91-2016

Skredfarekartlegging i utvalgte områder på Svalbard

Utgitt av: Norges vassdrags- og energidirektorat

Redaktør: Maria Hannus / Multiconsult

Forfattere:

Trykk: NVEs hstrykkeri

Opplag:

Forsidefoto: Multiconsult AS

ISBN 978-82-410-1544-1

ISSN 1501-2832

Sammendrag:

Emneord: Longyearbyen, skredfarekartlegging, snøskred, sørpeskred, steinsprang, flomskred, jordskred

Norges vassdrags- og energidirektorat
Middelthunsgate 29
Postboks 5091 Majorstua
0301 OSLO

Telefon: 22 95 95 95

Telefaks: 22 95 90 00

Internett: www.nve.no

Forord

Et nasjonalt kartgrunnlag – faresonekart skred – er under etablering for områder med stort skadepotensial fra skred i bratt terregn. Økt kunnskap og oversikt gjennom kartlegging av fareutsatte områder er et viktig verktøy og underlag for skredforebyggende arbeid. Hovedmålet med kartleggingen er å bedre grunnlaget for vurdering av skredfare til bruk i arealplanlegging og beredskap mot skred.

Plan for skredfarekartlegging (NVE rapport 14/2011) legger rammene for kartlegging i årene framover, og er et grunnlag for prioriteringene med hensyn på faresonekartlegging for ulike typer skred. Det er utarbeidet lister med geografiske områder som prioriteres for kartlegging av fare for skred i bratt terregn ved eksisterende bebyggelse.

NVE fikk det overordnede ansvaret for forebygging mot skredulykker også på Svalbard fra 2014, og kartlegging på Svalbard ble prioritert desember 2015.

Denne rapporten presenterer resultatene fra faresonekartlegging av skred i utvalgte områder ved Longyearbyen på Svalbard. Arbeidet er utført av Multiconsult.

I kartleggingen inngår utarbeidelse av faresonekart i henhold til kravene i byggeteknisk forskrift (TEK10), som viser faresoner for skred med nominell årlig sannsynlighet på 1/100, 1/1000 og 1/5000. Sannsynlighetene gjelder skred som utgjør fare for tap av menneskeliv og skader på bygg.

Skredtypene snø-, sørpe-, stein-, jord- og flomskred er kartlagt.

Oslo, desember 2016



Anne Britt Leifseth

Direktør for skred- og vassdragsavdeling i
NVE



Eli K. Øydvinn

Eli K. Øydvinn

Seksjonssjef for skred- og flomkartlegging i
NVE

RAPPORT

Skredfarekartlegging Svalbard

OPPDAGSGIVER

Norges vassdrags- og energidirektorat

EMNE

Kartlegging av skredfare på Svalbard

DATO: 12. desember 2016/02

DOKUMENTKODE: 713416-RIGberg-RAP-001



Multiconsult

Denne rapporten er utarbeidet av Multiconsult i egen regi eller på oppdrag fra kunde. Kundens rettigheter til rapporten er regulert i oppdragsavtalen. Tredjepart har ikke rett til å anvende rapporten eller deler av denne uten Multiconsults skriftlige samtykke.

Multiconsult har intet ansvar dersom rapporten eller deler av denne brukes til andre formål, på annen måte eller av andre enn det Multiconsult skriftlig har avtalt eller samtykket til. Deler av rapportens innhold er i tillegg beskyttet av opphavsrett. Kopiering, distribusjon, endring, bearbeidelse eller annen bruk av rapporten kan ikke skje uten avtale med Multiconsult eller eventuell annen opphavsrettshaver.

Fotografier på framsiden viser Nybyen, deler av skråningen over Bykaia-Vestpynten, Sverdrupbyen og sentrums området i Longyearbyen.

RAPPORT

| | | | |
|---------------|--|-----------------|-----------------------------|
| OPPDRAG | Skredfarekartlegging for NVE | DOKUMENTKODE | 713416-RIGberg-RAP-001 |
| EMNE | Kartlegging av skredfare på Svalbard | TILGJENGELIGHET | Åpen |
| OPPDRAGSGIVER | Norges vassdrags- og energidirektorat | OPPDRAGSLEDER | Maria Hannus |
| KONTAKTPERSON | Jaran Wasrud | UTARBEIDET AV | MARIAH/MHP/ Jan Otto Larsen |
| KOORDINATER | SONE: 33N ØST: 519200 NORD: 8682345 | ANSVARLIG ENHET | 4014 Tromsø Bergteknikk |

SAMMENDRAG

Multiconsult har utført detaljert skredfarekartlegging i bratt terreng for utvalgte områder på Spitsbergen/ Svalbard. På oppdrag for Norges vassdrags- og energidirektorat (NVE) er områder med boligbebyggelse og næringsvirksomhet undersøkt. På oppdrag for Longyearbyen lokalstyre og Store Norske Spitsbergen Kullkompani AS (SNSK) er det i hovedsak eksisterende hytteområder som er undersøkt. Områdene listet nedenfor er detaljert kartlagt og vurdert i henhold til TEK10 og NVEs kravspesifikasjon for offentlige oppdrag. Det er utarbeidet faresonekart med årlig nominell sannsynlighet 1/100, 1/1000 og 1/5000 for de ulike områdene. Alle aktuelle skredtyper i bratt terreng (snø-, sørpe-, stein-, jord- og flomskred) er vurdert.

Områder kartlagt på oppdrag for NVE

- Vestpynten-Bykaia
- Longyearbyen
- 1 stk. delområde Todalen
- 3 stk. delområder Bolterdalen-Foxdalen

Områder kartlagt på oppdrag for Longyearbyen lokalstyre og SNSK

- Bjørndalen
- Reveneset-Hjorthamn
- Vindodden
- Todalen
- Bolterdalen-Foxdalen

Deler av den eksisterende bebyggelsen i Longyearbyen er vurdert å ligge innenfor faresonegrensene for skred med årlig nominell sannsynlighet 1/100 og 1/1000. Deler av de ulike hytteområdene ligger innenfor faresonegrensene for skred med årlig nominell sannsynlighet 1/100. Det er kun et lite areal i de kartlagte områdene som tilfredsstiller sannsynlighetskrav 1/5000.

Faresonekartene kan brukes som grunnlag i forbindelse med arealplanlegging og ved godkjenning av reguleringsplaner og byggesøknader. Kartene kan også fungere som veiviser for områder som bør prioriteres med tanke på eventuelle forebyggende skredsikringstiltak og sikringstiltak der bebyggelse er skredutsatt.

Faresonekartene kan i tillegg være et verktøy som brukes i beredskapsplaner mht. skredfare.

| | | | | | |
|------|------------|---|-----------------------------------|---|---------------|
| | | | | | |
| 02 | 12.12.2016 | Skredfarekartlegging, mindre justeringer | Maria Hannus | Jan Otto Larsen | Torill Utheim |
| 01 | 25.11.2016 | Skredfarekartlegging Svalbard, med spesifisering sørpeskred | Maria Hannus | Jan Otto Larsen | Torill Utheim |
| 00 | 18.10.2016 | Skredfarekartlegging for NVE på Svalbard | Maria Hannus, Mariia Pihlainen | Peder Eide Helgason, Jan Otto Larsen | Torill Utheim |
| REV. | DATO | BESKRIVELSE | UTARBEIDET AV | KONTROLLERT AV | GODKJENT AV |

ABSTRACT

Multiconsult AS has performed a detailed hazard mapping of areas prone to slides and avalanches for the community Longyearbyen in Svalbard. The project is organized by Norwegian Water Research and Energy Directorate NVE, with the goal to make zoning plans for areas with settlements and industry facilities. Added the local city administration «Longyearbyen lokalstyre» and the mining company «Store Norske Spitsbergen Kullkompani» have asked for detailed mapping of areas where cabins are situated. Areas listed below have been mapped in relation to Norwegian Building Act § 25 and Norwegian technical guidelines described in «Teknisk forskrift» TEK 10. The work is also according to NVE's requirements for public consulting work. The zoning plans have specific borders for frequencies of natural hazards related to the requirements, where a yearly probability of 10^{-2} , 10^{-3} and $2 \cdot 10^{-4}$ are demanded. All types of natural hazards as avalanches, slush flows, rock slides, debris flows and slides in soils are included in the study.

Areas mapped for NVE:

- Vestpynten-Bykaia
- Longyearbyen
- 1 stk. delområde Todalen
- 3 stk. delområder Bolterdalen-Foxdalen

Areas mapped for «Longyearbyen lokalstyre» and «Store Norske Spitsbergen Kullkompani»

- Bjørndalen
- Reveneset-Hjorthamn
- Vindodden
- Todalen
- Bolterdalen-Foxdalen

Part of the settlement in Longyearbyen has been judged to be in the exposed area for avalanches or slides with a yearly probability of 10^{-2} and 10^{-3} . Parts of the cabin areas have been mapped to be exposed for slides or avalanches with a yearly probability of 10^{-2} . Only a minor areas in Longyearbyen satisfy the requirement of yearly probability of $2 \cdot 10^{-4}$.

The zoning maps can be used in future planning of settlements and in approval of «reguleringsplaner» and in decision of applications for new building projects. The maps can also be used in priority plans for mitigation measures and protection plans.

Added the zoning plans can be a tool a tool in plans for warning against natural hazards.

INNHOLDSFORTEGNELSE

| | | |
|----------|---|-----------|
| 1 | Innledning | 6 |
| 1.1 | Formål med kartleggingen, bruk av kartene og detaljnivå | 7 |
| 2 | Generell oversikt over kartleggingsområdene..... | 8 |
| 2.1 | Topografi..... | 8 |
| 2.2 | Geologiske forhold..... | 8 |
| 2.3 | Klima | 10 |
| 2.3.1 | Permafrost | 14 |
| 2.4 | Klimaendringer på Svalbard..... | 15 |
| 2.5 | Skredaktivitet..... | 15 |
| 3 | Skredtyper | 18 |
| 3.1 | Beskrivelse av skredtyper i bratt terren..... | 18 |
| 3.2 | Aktuelle skredtyper innenfor kartleggingsområdene | 19 |
| 4 | Tidligere vurderinger/kartlegginger som er benyttet i vurderingen..... | 22 |
| 5 | Metodikk for fastsettelse av faresoner | 23 |
| 5.1 | Terrenngmodell og kotegegrunnlag | 23 |
| 5.2 | Ortofoto, flybilder og fotografier | 24 |
| 5.3 | Topografi, geologi og terrenghistorikk | 24 |
| 5.4 | Klimaforhold | 24 |
| 5.5 | Skredhistorikk | 24 |
| 5.6 | Feltarbeid/registreringskart..... | 25 |
| 5.7 | Modeller for beregning av utløpslengder | 26 |
| 5.7.1 | RocFall 5.0..... | 26 |
| 5.7.2 | RAMMS | 26 |
| 5.7.3 | α / β - modellen | 28 |
| 5.8 | Fastsettelse av de ulike faresonene | 29 |
| 6 | Delområder | 31 |
| 6.1 | Vestpynten – Bykaia | 31 |
| 6.1.1 | Topografi og grunnforhold..... | 31 |
| 6.1.2 | Skredhendelser | 31 |
| 6.1.3 | Vurdering av skredfare..... | 32 |
| 6.1.4 | Modellering i RAMMS samt kommentarer angående faresoner | 32 |
| 6.2 | Longyearbyen | 34 |
| 6.2.1 | Topografi og grunnforhold..... | 34 |
| 6.2.2 | Skredhendelser | 35 |
| 6.2.3 | Vurdering av skredfare..... | 36 |
| 6.2.4 | Modellering i RAMMS samt kommentarer angående faresoner | 37 |
| 6.3 | Todalen | 39 |
| 6.3.1 | Topografi og grunnforhold..... | 39 |
| 6.3.2 | Skredhendelser | 39 |
| 6.3.3 | Vurdering av skredfare..... | 39 |
| 6.4 | Bolterdalen – Foxdalen (3 delområder) | 40 |
| 6.4.1 | Topografi og grunnforhold | 40 |
| 6.4.2 | Skredhendelser | 40 |
| 6.4.3 | Vurdering av skredfare..... | 40 |
| 6.4.4 | Modellering i RAMMS samt kommentarer angående faresoner | 41 |
| 7 | Referanser | 42 |

Vedlegg

| | |
|-----------|--|
| Vedlegg A | Faresonekart |
| Vedlegg B | Registreringskart |
| Vedlegg C | Helningskart og gps logg/reg pkt |
| Vedlegg D | Beskrivelse av registreringspunkt |
| Vedlegg E | Skredhendelseskart med tabell som beskriver hendelsene |
| Vedlegg F | Beregningmodeller og eksempler på RocFall og RAMMS data simuleringer |
| Vedlegg G | Foto vedlegg |

1 Innledning

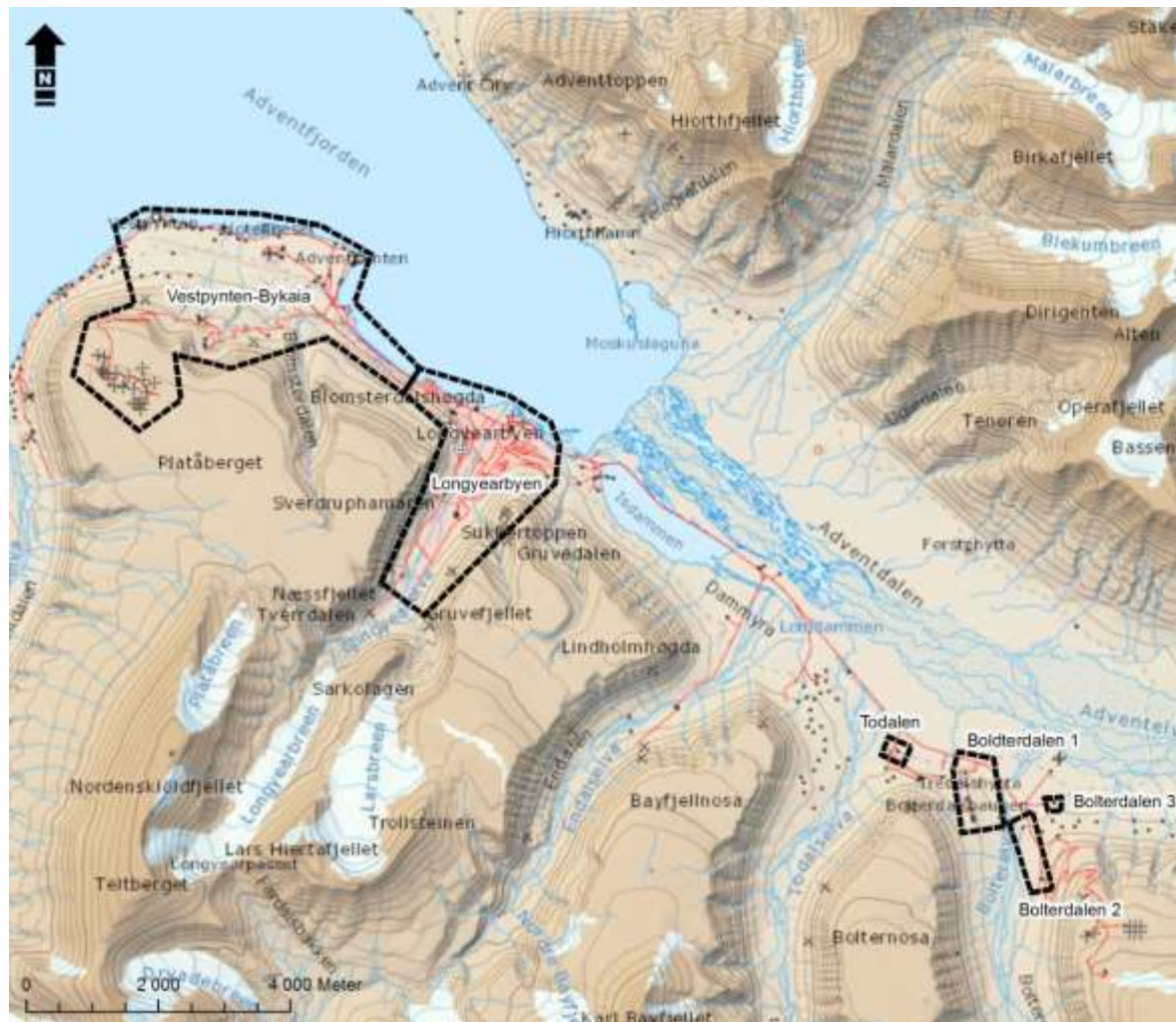
Multiconsult har gjennomført skredfarekartlegging av utvalgte områder på Svalbard for NVE, samt for Longyearbyen lokalstyre og Store Norske Spitsbergen Kullkompani AS (SNSK). Foreliggende rapport omhandler i hovedsak områdene for NVE. Områdene er kartlagt og vurdert i henhold til TEK10 og NVEs kravspesifikasjon for offentlige oppdrag. Det er utarbeidet faresonekart for skred i bratt terreng, med årlig nominell sannsynlighet 1/100, 1/1000 og 1/5000. Det er i tillegg utført vurdering av sørpeskred som egen skredtype.

Områdene kartlagt på oppdrag for NVE er Vestpynten-Bykaia, Longyearbyen, et mindre område ved inngangen til Todalen og tre mindre områder ved Bolterdalen-Foxdalen. Se figur 1.

Områdene kartlagt for Longyearbyen lokalstyre og SNSK er Bjørndalen, Reveneset-Hjorthamn, Vindoddalen, Todalen og Bolterdalen-Foxdalen. Se figur 2. Områdene som er kartlagt for Longyearbyen lokalstyre og Store Norske er planlagt fullstendig rapportert i en revisjon av foreliggende rapport.

Områdene har blitt befart i flere omganger i perioden juli-september 2016. Befaringer er utført til fots, med bil, fra båt og med helikopter. Det har ved alle befaringsene vært god sikt og klart vær.

Befaringene er utført av Maria Hannus og Mariia Pihlainen fra Multiconsult. På en av befaringsene deltok NVE representert ved Jaran Wasrud og Odd-Arne Mikkelsen.



Figur 1. Kartleggingsområder for NVE avmerket med svart.



Figur 2. Kartleggingsområder for Longyearbyen lokalstyre og SNSK avmerket med stiplet linje

1.1 Formål med kartleggingen, bruk av kartene og detaljnivå

I forbindelse med at NVE fra 2013 også har det overordnede skredansvaret for Svalbard, ble det etter desember 2015 prioritert å utføre skredfarekartlegging av områdene på Svalbard på lik linje med kommuner i fastlands Norge.

Faresonekartene kan brukes som grunnlag for utarbeidelse av arealplaner og ved godkjenning av reguleringsplaner og byggesøknader.

Kartene kan også fungere som et verktøy for å belyse områder som bør prioriteres med tanke på eventuelle forebyggende skredsikringstiltak og sikringstiltak der bebyggelse eller næringer er skredutsatt. Faregrensene kan også benyttes til risikoreduserende tiltak som evakuering ved varslet skredfare.

De digitale kartene og vurderingene er utført med en nøyaktighet ned til skala 1:5000 eller bedre. De utskriftsvennlige versjonene er visualisert i en større skala for å gjøre framstillingen mer leservennlig.

Som grunnlag for vurdering av skredfare og fastsettelse av faresonenene for alle typer skred i bratt terrenget er følgende benyttet:

- Geologiske forhold.
- Terregn- og klimaforhold.
- Norsk Polarinstittuts berggrunnskart og Geoscience Atlas of Svalbard.
- Kart over Bjørndalen-Vestpynten og georefererte bilder (geoTiff format) fra NGU vedrørende kartlegging av løsmasser/landskapsformer for Longyearbyen, Foxdalen og Vindodden.

- Terrengmodeller tilsendt fra NVE.
- Informasjon om tidligere skredhendelser, i hovedsak innhentet fra database Cryoslope, annen litteratur/rapporter og lokalbefolkning.
- Feltbefaring er utført i flere omganger både til fots, med båt, bil og helikopter.
- Registrerte observasjoner i felt samt informasjon vedrørende tidligere skredaktivitet, og flybildestudie er sammenstilt i registreringskart.
- Ortofoto og flybilder
- Fotografier er brukt for å vurdere årstidsvariasjoner. Historiske foto er også benyttet.
- Tidligere rapporter for områdene.
- Programvare for å beregne og simulere teoretisk utbredelse, strømning og rekkevidde av skred og steinsprang. Simuleringer har blitt kalibrert med godt dokumenterte kjente skredhendelser i området.

2 Generell oversikt over kartleggingsområdene

2.1 Topografi

Topografien i de aktuelle områdene består i hovedsak av et fjellplatålandskap med elvedeltaer og U-formede daler. Skråningene strekker seg fra havnivå opp til om lag 500 m.o.h. i de fleste områdene. De høyeste toppene i området når om lag 1000 m.o.h.

De vurderte skråningene er bratte ($\geq 35^\circ$) og middels bratte (10° - 35°), med avrundede eller flate toppplatåer.

2.2 Geologiske forhold

Siste istid sluttet for om lag 10 000 år siden på Svalbard. I perioden etterpå har området opplevd både varmere og kaldere perioder. Under den lille istiden omkring år 1850, rykket breene kraftig fram og det antas at de har hatt sin maksimale størrelse på Svalbard i denne tidsperioden (Ref. Piepjohn K., m.fl., 2012)

Skråningene og terrenget bærer tydelig preg av forvitningsprosesser. Om lag alle skråninger med helning under 35° i de aktuelle områdene er forvitningsurer (Ref. Dallman W.K. m.fl., 2015).

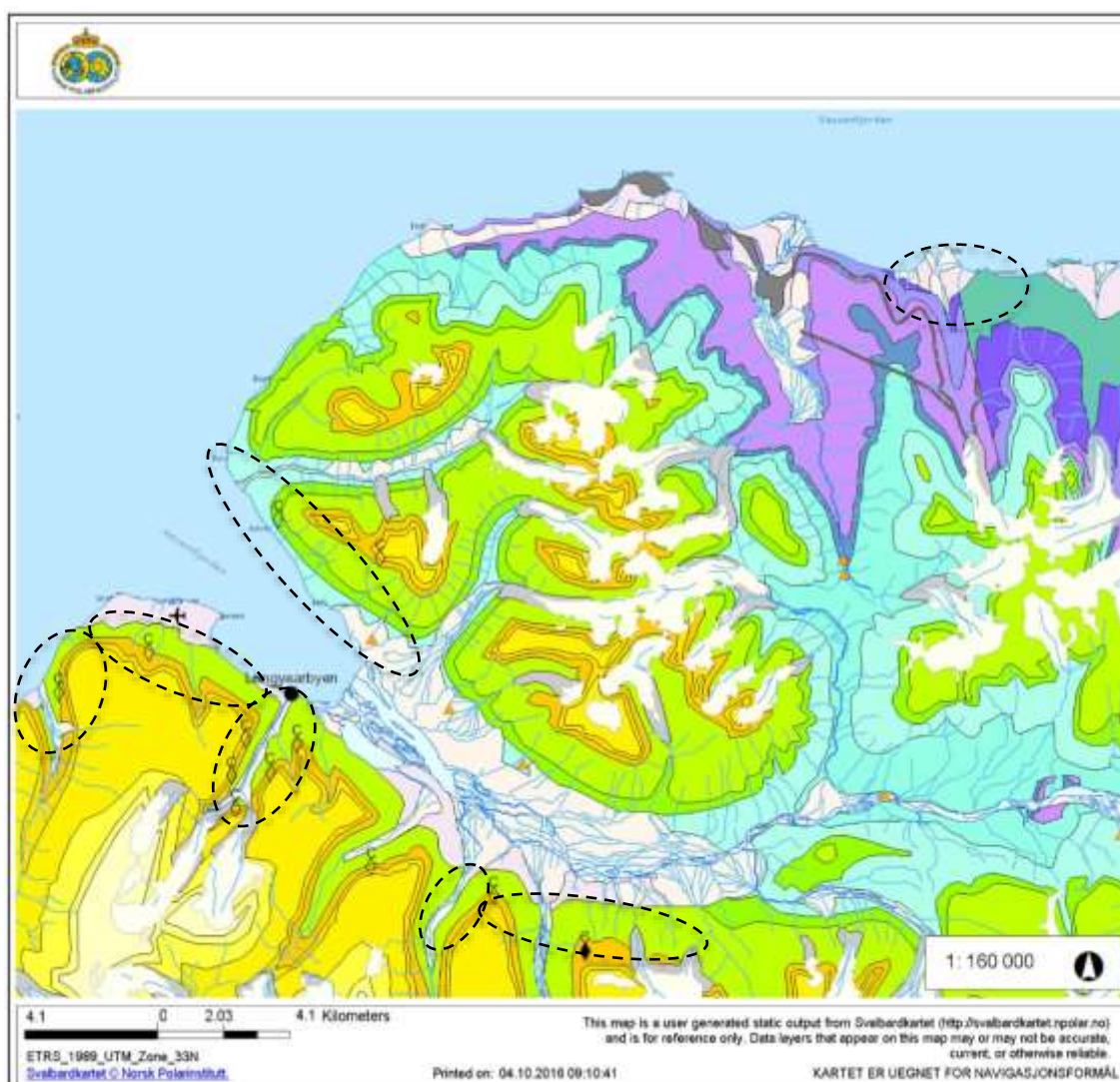
Landskapet på Svalbard er sterkt preget av nedbrytende erosjonsprosesser. I bergskråninger er det vanlig at erosjonsprosesser har dannet kløfter/raviner. I randsonen av platåene dannes bergpinakler og mellom disse forsenkninger. Forsenkningene fungerer som dreneringsveger og skredløp, som bidrar til å koncentrere erosjonsprosessene.

Terrenget bærer også preg av flere andre geomorfologiske prosesser, som gir landskapsformer som er typisk for periglasiale områder. Solifluksjonslober er et resultat av prosesser som pågår aktivt og det er ikke uvanlig å finne skredprosesser sekundert påvirket av disse.

Berggrunnen i de aktuelle områdene er svært lik. De sentrale områdene rundt Longyearbyen består av avsetningsbergarter/sandsteiner fra Jura/Kritt (210 mill. år) og fra Tertiær (65 mill. år). Området Vindodden består av eldre sandsteiner fra Perm (300 mill. år) og yngre. De sedimentære lagene er godt synlige og er flatliggende eller svakt hellende, se figur 3.

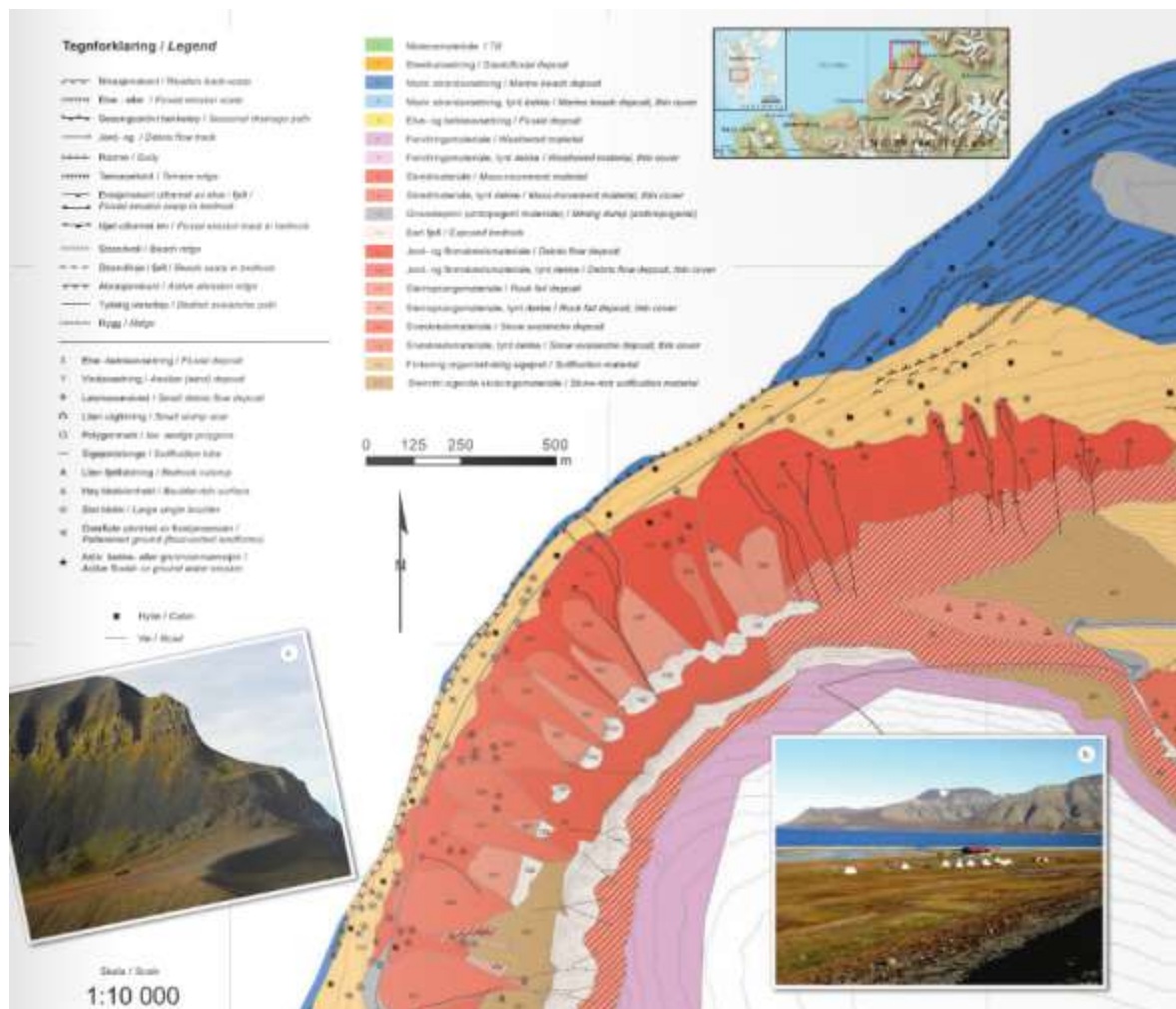
Marin grense på Svalbard varier noe fra øst mot vest. I området nær Longyearbyen er det marine avsetninger opp til om lag kote 60-70 (Ref. Rubensdotter, 2015).

Alle områder har permafrost.



Figur 3. Berggrunnskart. Kartet viser tilnærmet horisontal lagdeling med sedimentære avsetninger fra Juraoget Kritt som ligger under Tertiære lag. De aktuelle kartleggingsområdene er omrentlig avmerket. Modifisert fra <http://svalbardkartet.npolar.no> sep. 2016.

NGU har utarbeidet geologiske kart som viser landskapsformer og løsmasser i enkelte områder på Svalbard. Fram til nå er det produsert kart for Bjørndalen-Vestpynten i skala 1:10 000 og for Todalen og Øvre Gangdalen og Bødalen i skala 1:25 000. Foreløpig kart (GeoTiff format) over Longyearbyen, Foxdalen og Vindodden har også vært tilgjengelig. Kartene er detaljerte og viser bl.a. avsetningstyper og løsmasser, se figur 4.



Figur 4. Kartutsnitt fra geologisk kart over Bjørndalen-Vestpynten, (ref. Rubensdotter mfl., 2015)

Løsmassene i de fleste kartleggingsområdene er preget av stedlig forvitningsmateriale som er dannet ved fysisk/kjemisk nedbryting av berggrunnen. Det finnes også fluviale og glasifluviale avsetninger, samt morene. Disse er stort sett koncentrert i dalene. I all hovedsak er skråningene dekket av masser fra ulike skredprosesser.

2.3 Klima

For å beskrive områdets klimatiske trekk er det brukt meteorologiske data innsamlet fra 1912 og fram til i dag. Værstasjon ble opprettet i 1964 og ligger nå ved Longyearbyen flyplass (28 m.o.h.). I dag måles nedbør, temperatur, snø og vind ved stasjonen. Stasjonen er plassert på østsiden av flyplassen og ligger i et åpent område. Flyplassen er øst-vest vendt og området er sterkt påvirket av vind.

Universitetssenteret på Svalbard (UNIS) har værstasjon i Adventdalen. Der måles temperatur og vind. I 2001 etablerte UNIS også værstasjon på Gruvefjellet, som ligger rett ovenfor Skolen-Nybyen. Denne stasjonen ble benyttet i forskningsprosjekt «Cryoslope». Vinddata fra denne stasjonen er benyttet for å tolke de varierte vindforholdene i området, da den ikke er påvirket av topografi i større grad. Resultatene fra Cryoslope målingene fra Gruvefjellet viser at vinden som regel kommer fra sør, men med sterkest og lengst varig vind fra sørøst. Dette fører til at skavler bygges opp på de vestvendte fjelltoppene (Eckerstorfer m.fl., 2009).

Vær og vind på Spitsbergen påvirkes av atlanterhavstrømmen som går nordover langs vestkysten (Serreze m.fl., 2015). Klimaet kan klassifiseres som tundraklima der høyeste gjennomsnittstemperatur på sommeren er <6°C, se figur 5. Longyearbyen er generelt sterkt preget av vind fra sørøst, men det er variasjon i de ulike områdene på grunn av topografi, is og åpent hav, se fig. 7 (ref. eklima.no, 2016).

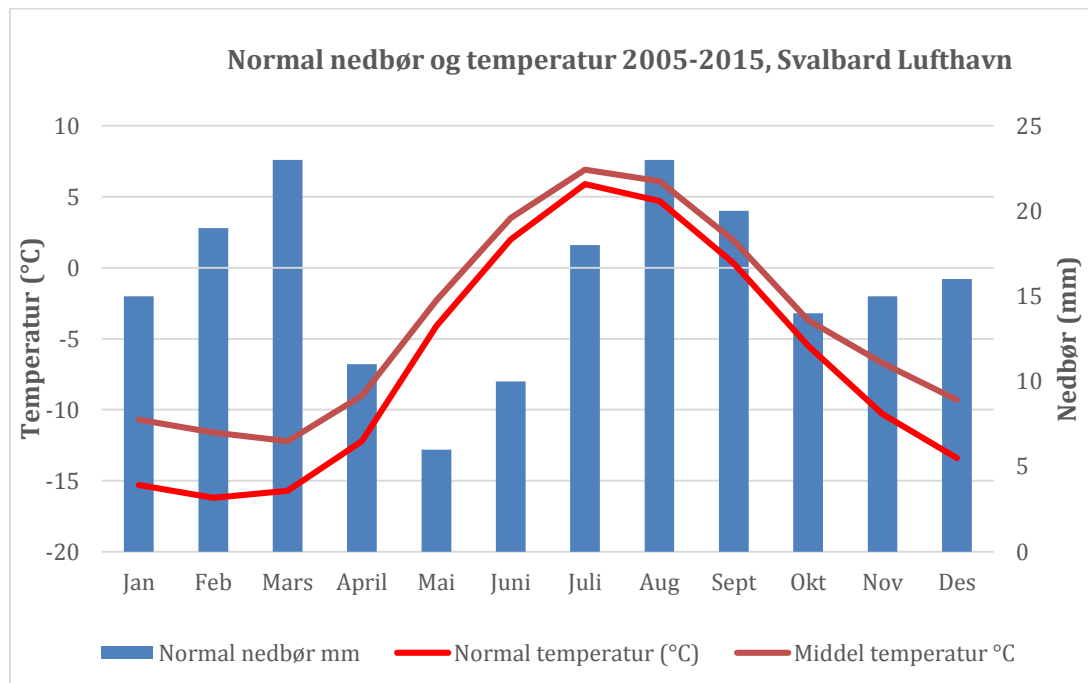
Områdets unike snøklima kan beskrives som «High Arctic maritime snow climate» basert på en kombinasjon av metrologiske forhold og stratigrafi av snølag (ref. Eckerstorfer & Christiansen, 2011).

Ved Longyearbyen flyplass måles det små mengder nedbør, om lag 200 mm/i vannekvivalent per år, noe som er 2-3 ganger mindre enn ved andre værstasjoner i Spitsbergen (ref. Førland m.fl., 2011). Dersom man ser mer spesifikt på enkelte år, for eksempel 2010-2015, er det store variasjoner på nedbør og temperaturer ved Longyearbyen. Det kan også komme mye nedbør på kort tid, f.eks. som snø i desember 2015 (47,7mm) og som regn 8. november 2016 (41,7 mm) (Ref. eklima.no, 2016 og yr.no 2016).

De beregnede ekstremverdiene for nedbør viser mengden nedbør som kan forventes med ulike gjentaksintervall, se figur 6. Målt mengde nedbør kan også være systematisk underestimert, da hovedmengden av nedbør kommer som snø under sterk vindpåvirkning. Dermed er reel snømengde vanskelig å få målt (ref. Eckerstorfer, m.fl., 2009). Dette gjelder også værstasjonen ved flyplassen, der det er stor under-catch på grunn av mye vind.

Dominerende vindretning på Svalbard er sør/sørøst. Også i vintermånedene er dominerende vindretning fra øst/sørøst, som dermed er den viktigste vindretningen for snøtransport, se figur 7-8 b. Det kan imidlertid ikke utelukkes at det kan komme store mengder nedbør som snø med andre vindretninger. Dette kan gi snøakkumulering lokalt i skråninger, som normalt ikke har stor akkumulering av snø, og dermed potensiell skredfare.

Vind fra vest kan også medføre betydelig nedbør. Det ser ut som vind fra SV –V er dominerende nedbørførende vindretning under nedbørsforhold med regn, som nå er blitt vanligere vinterstid.



Figur 5. Månedsnormaler for nedbør og temp. ved Svalbard Lufthavn (www.eklima.no, 2016)

| Returperiode | Sesong | Nedbørsperiode | | | |
|--------------|--------|----------------|------|--------|------|
| | | 1 døgn | | 3 døgn | |
| | | Gumbel | NERC | Gumbel | NERC |
| 100 år | År | 35 | 36 | 53 | 53 |
| | Vinter | 28 | 25 | 44 | 40 |
| | Vår | 21 | 19 | 32 | 29 |
| | Sommer | 30 | 27 | 41 | 38 |
| | Høst | 23 | 23 | 35 | 35 |
| 1000 år | År | 46 | 60 | 72 | 85 |
| | Vinter | 39 | 42 | 62 | 65 |
| | Vår | 29 | 32 | 44 | 49 |
| | Sommer | 42 | 45 | 57 | 62 |
| | Høst | 32 | 39 | 47 | 57 |

Figur 6. Ekstremnedbør for sesonger, verdier i mm– returperiode 1-døgns og 3-døgnsnedbør for Svalbard Lufthavn for hele stasjonens driftsperiode (1964-2015). Data er hentet fra www.eklima.no, 2016.

Vindrose, frekvensfordeling av vind

Vindretning deles i sektorer på 30°

Frekvensfordeling av vindhastighet i prosent %

99840 SVALBARD LUFTHAVN

Vindhastighet (m/s)

- >20.2
- 15.3-20.2
- 10.3-15.2
- 5.3-10.2
- 0.3-5.2

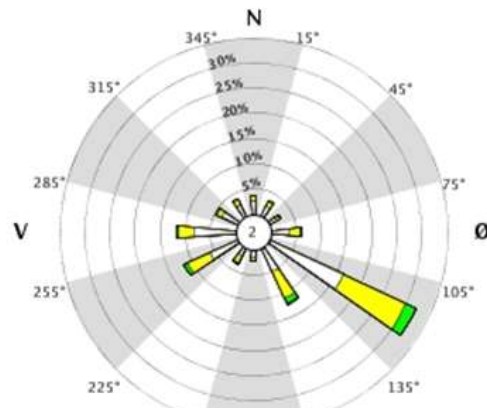
Stille (%)



År: 2006 - 2015

jan, feb, mar, apr, mai, jun, jul, aug, sep, ott, nov, des

Tidspunkt: 0, 1, 2, 3, 4, 5, 6, 7, 8, 9, 10, 11, 12, 13, 14, 15, 16, 17, 18, 19, 20, 21, 22, 23 (NMT)



Figur 7. Frekvensfordeling av vind gjennom hele året for de siste ti år (www.eklima.no, 2016)

Wind rose, frequency distribution of wind

Wind direction divided in sectors of 30°

Frequency distribution of wind speed in percent %

99840 SVALBARD LUFTHAVN

Wind speed (m/s)

- >20.2
- 15.3-20.2
- 10.3-15.2
- 5.3-10.2
- 0.3-5.2

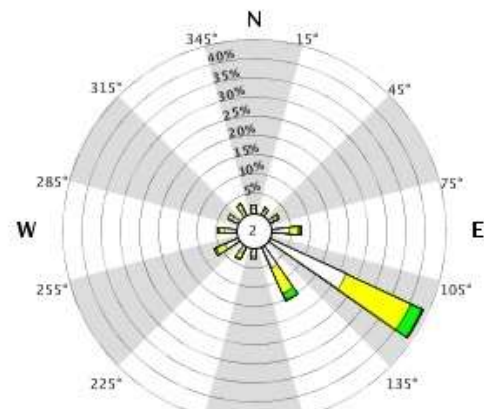
Calm (%)



Year: 2000 - 2016

Jan, Feb, Mar, Apr

Hour: 0, 1, 2, 3, 4, 5, 6, 7, 8, 9, 10, 11, 12, 13, 14, 15, 16, 17, 18, 19, 20, 21, 22, 23 (NMT)



Figur 8 a. Hovedvindretning i månedene januar-april, målt over en periode på 16 år (www.eklima.no, 2016).

Wind rose, frequency distribution of wind

Wind direction divided in sectors of 30°

Frequency distribution of wind speed in percent %

99840 SVALBARD LUFTHAVN

Wind speed (m/s)

- >20.2
- 15.3-20.2
- 10.3-15.2
- 5.3-10.2
- 0.3-5.2

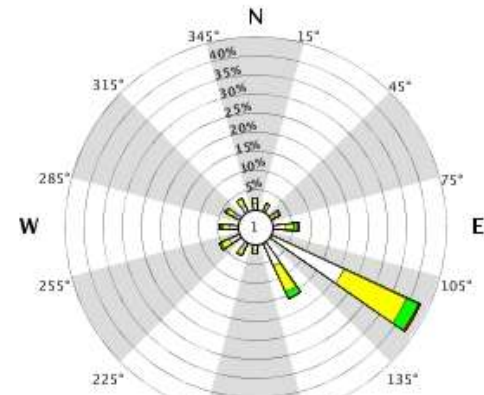
Calm (%)



Year: 2000 - 2016

Nov, Dec

Hour: 0, 1, 2, 3, 4, 5, 6, 7, 8, 9, 10, 11, 12, 13, 14, 15, 16, 17, 18, 19, 20, 21, 22, 23 (NMT)



Figur 8 b. Hovedvindretning i månedene november, desember, målt over en periode på 16 år (www.eklima.no, 2016).

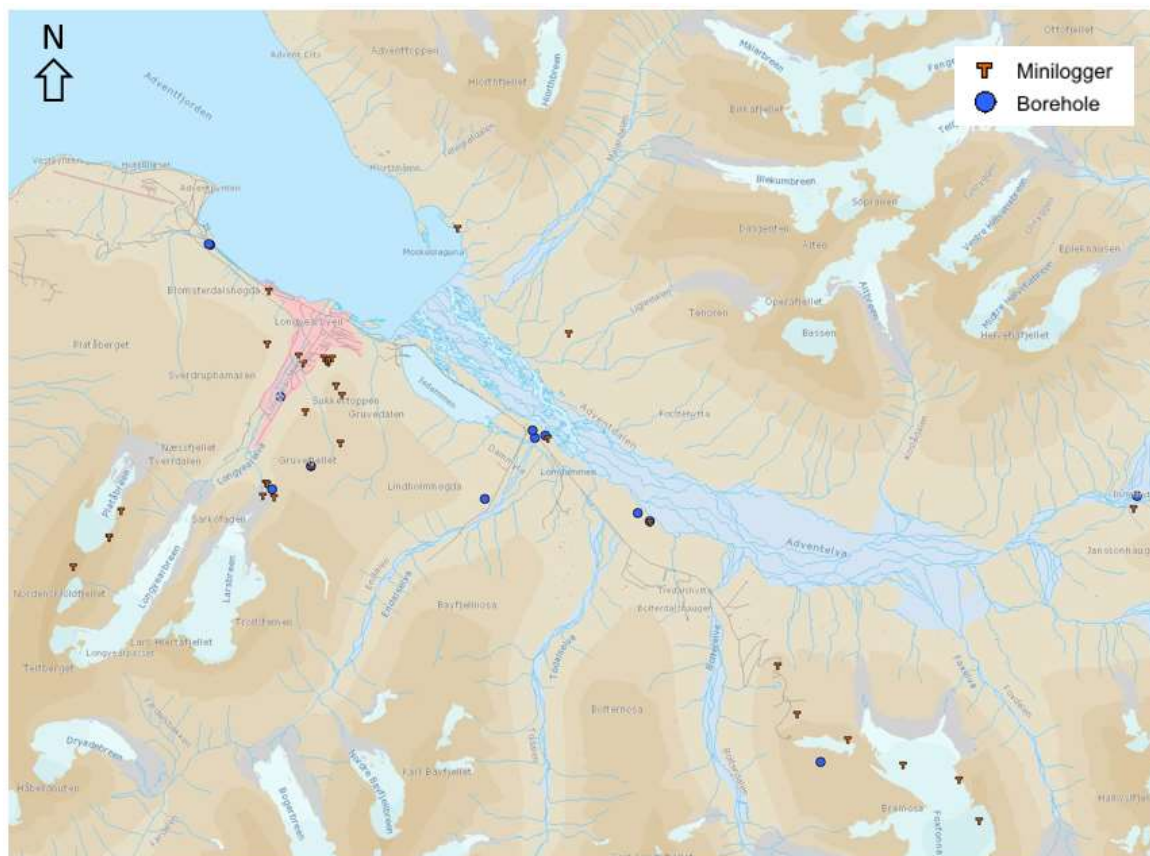
2.3.1 Permafrost

Det er permafrost i området, som betyr at bakken under det laget som tiner om sommeren, holder en temperatur på mindre enn null grader (0°C). Permafrost forekommer i fast berg og i løsmasser. Det laget som tiner om sommeren, omtales som det aktive laget. Tykkelsen på laget kan variere. På Svalbard regnes det aktive laget å være 0,5 - 3,0 m tykt. Laget er tynnest i ikke-konsoliderte sedimenter og tykkest i fast berg (ref. Dallman W.K., 2015). Multiconsults undersøkelser ved Frøhvelvet i 2016, indikerte også et aktivt lag på om lag 3,0 m mektighet.

Permafrostens temperatur måles i borehull i flere forskjellige landskapsformer i området rundt Longyearbyen. Data fra disse målingene er tilgjengelig i NORPERM, den norske permafrost database, http://geo.ngu.no/kart/permafrost_svalbard, som er plassert hos Norges Geologisk Undersøkelse NGU, se figur 9.

Permafrosten blir for tiden varmere på Svalbard, som respons på lufttemperaturøkningen. I målinger utført av UNIS over 15 år, blir det aktive laget gradvis mektigere. Det er imidlertid utført for lite målinger til å kunne si om det er en generell trend. Økning i temperatur og dybden i det aktive laget fører til økende temperatur i permafrosten (Isaksen K. 2016). Lokale forhold som løsmassetype, vanninnhold, vegetasjon og snøvarighet og -tykkelse, i tillegg til sesongvariasjoner, som bl.a. mengde snø akkumulert på bakken og når på året snøen legger seg, påvirker også permafrosten. Mindre kompakte løsmasser har også en tendens til å transportere varm luft ned dypere i terrenget.

Temperaturøkning vil gi et tykkere aktivt lag, som kan føre til mer erosjon og større transport av løsmasser.



Figur 9. Oversikt over punkter for måling av temperatur i bakken, utført i nærheten av kartleggingsområdene. På figuren ses Longyearbyen og Adventdalen. Modifisert ngu.no, 2016.

2.4 Klimaendringer på Svalbard

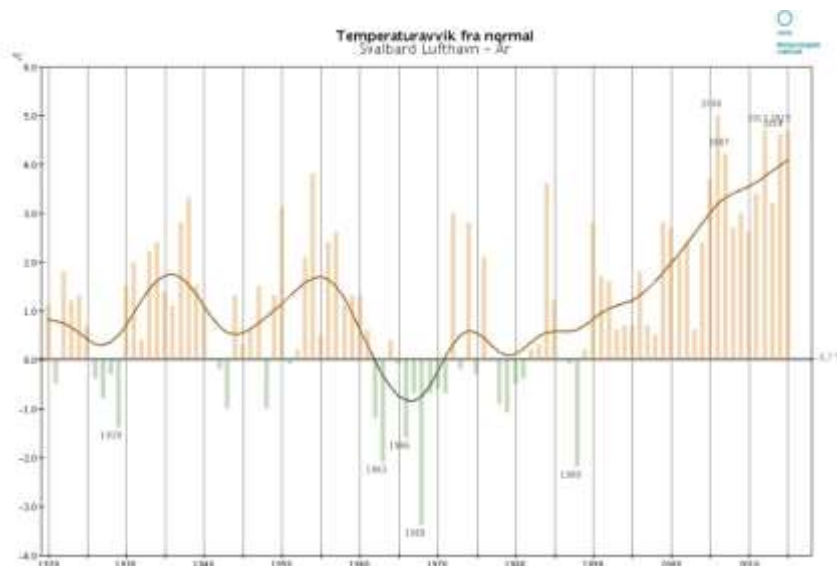
Forskning har vist at temperaturen på Svalbard har steget betydelig mer enn på fastlandet siden 1900-tallet. På Svalbard har gjennomsnittstemperaturen steget med 3° mot 1° på fastlandet. Temperaturen har steget mest om vinteren (ved Longyearbyen flyplass 3,5°). Sommertemperaturene har steget noe mindre. Dette er en trend som forventes å fortsette. (Ref. Førland m.fl. 2011 og Isaksen m.fl. 2016).

I samme tidsperiode har nedbørsmengden økt med ca. 20-30 % (Vikhamar-Schuler m.fl. 2016). Denne økningen forventes å fortsette. Det forventes at den økte nedbøren vil falle som regn, men det kan ikke utelukkes at den også kan komme som snø. Økt nedbør vil gi økt avrenning, det kan derfor forventes en dreining fra snøsmeltingsflommer til regnflommer. Bresmelting kan også øke flomføringen.

Det kan forventes mer ekstremvær bl.a. i form av kortvarige, intense hendelser med regn og mildvær om vinteren. De siste årene har det vært flere tilfeller med nedbørsintensitet på over 10 % av årsnedbør i løpet av 1-2 døgn. Faren for jordskred øker generelt med mengden vann i bakken. Mer enn 20 mm/døgn og 3 mm/time (ref. Larson 1982) medfører betydelig økt fare for jord- og flomskred. Regn på snø som gir isdannelse på bakken og skarelag på eksisterende snø, vil kunne gi et mer ustabilt snødekke, pga. snødekke med flere tette lag som kan være grunnlag for dannelse av begerkristaller. Det forventes også mindre sjøis (ref. Vikhamar-Schuler m.fl. 2016).

De årlige variasjonene på isforholdene rundt Svalbard påvirker både klimaet på øya og havtemperaturen.

Figur 10 viser temperaturvariasjoner på Svalbard fra 1920 fram til i dag. Variasjonene har tidligere gått i om lag 10-års sykluser. (Ref. met.no, 2016)



Figur 10. Graf som viser temperaturvariasjoner på Svalbard fra 1920 fram til i dag. Grafen viser at gjennomsnittstemperaturen på 2000-tallet er høyere enn tidligere. (ref. www.met.no, 2016).

2.5 Skredaktivitet

Svalbard er et av de beste og mest tilgjengelige områdene i verden å studere spor etter tidligere skredaktivitet og aktive skredprosesser når det gjelder skredtyper i bratt terreng (stein-, snø-, sørpe-, jord- og flomskred). Omtrent alle skråninger viser prosesser som styres av skredaktivitet.

Det er vanskelig å si med sikkerhet hva som er den mest dominerende og mest frekvente skredtypen på Svalbard. Sørpeskred er vanlig skredtype i Arktis, og også på Svalbard. Da disse skredene ofte eroderer ned i undergrunnen så frakter de ofte med seg løsmateriale som jord og stein. Dette fører til at disse skredene i utløpsområdet kan ha en avsetning som kan forveksles med flomskred. Det er ikke denne skredtypen, som fører til flest ulykker, men de kan ha omfattende skadeomfang der de treffer infrastruktur som bebyggelse på grunn av sin store densitet og lange utløp. Bilde 2 viser rester av en hytte tatt i sørpeskred i 2013.

Rene løsmasseskred/jordskred er også vanlige. Når skrånninger blir vannmettede kan det oppstå jordutglidninger og jordskred. Jord- og flomskred utløses som regel langs forsenkninger som leder vann. Se bilde 3.

Flakskred og skavlbrekke er de snøskredtypene som dominerer, se bilde 4.

Generelt er det potensiell steinsprangfare når berg er brattere enn 45° . Med de aktive frostforvitningsprosessene i området, kombinert med sterkt oppsprukket berg, øker steinsprangfarene.



Bilde 1. Til venstre i bildet restene av hytte som ble tatt av et sørpeskred i 2013. Sett mot sør.



Bilde 2. Restene av hytte som ble tatt av et sørpeskred i 2013, ref. bilde 1. Sett mot sør.



Bilde 3. Jord- flomskred sørvest for flyplassen, sommer 2016



Bilde 4. Snøskred fra Gruvefjellet på nordsiden av Gruve 2b. Sett mot sørøst. Foto Eckerstorfer M., 2012

3 Skredtyper

3.1 Beskrivelse av skredtyper i bratt terreng

Snøskred (tørre og våte snøskred) Flaskred utløses vanligvis i terrenget med mellom 30-50° helling. I områder der snøen blir sterkt påvirket av vind både ved og etter akkumulering kan det oppstå flaskred. Tørre løssnøskred utløses ofte i de brattere helningene og når snøen ikke er så påvirket av vind. Vanlige naturlige utløsningsmekanismer er store nedbørsmengder, sterkt vind eller plutselig temperaturvariasjoner. I områder der store snøskavler kan bygges opp, kan det også skje skavelbrekk som igjen utløser andre former av snøskred. Våte snøskred kan starte som tørre snøskred høyt opp i terrenget, og snøen blir fuktig på vei ned.

Det har også forekommet at tørre snøskred har utviklet seg til sørpeskred i nedre del av skredbanen ved gjennomvåt snø i denne delen av banen.

Tørre snøskred av typen Flaskred kan ha hastigheter opp mot 70 m/s og densitet på mellom 200 kg/m³ og 300 kg/m³. Skredene har utløpslenger som avhenger av skredvolumet og massenes fuktighetsforhold. Våte snøskred har oftest lavere hastighet, og utløpslengder som er kortere. Densiteten i de våte skredene er imidlertid noe høyere på grunn av fuktigheten, og kan ofte ligge mellom 300 kg/m³ og 400 kg/m³.

På Svalbard kan snødekket generelt beskrives som kaldt og tynt, men det oppstår store variasjoner i snødybde avhengig av lokasjon (ref. Eckerstorfer, 2012). Eckerstorfer & Christiansen (2011) beskriver at snødekket i Longyearbyen ofte har flere svake lag: Vedvarende svak bunn med begerkrystaller (depth hoar), dekket av vindpåvirket snø og islag, hvor dannelsen er svært påvirket av arktisk kystklima.

Sørpeskred er vannmettet snø som utløses naturlig ved at poretykket i snømassene reduserer stabiliteten og forårsaker brudd. Skredet løsner ofte i avrenningsområder som bekkedaler og forsenkninger der vann samles. Skredene kan starte i områder med helling mellom 5° og 25°. Ved liten hellig kan hastigheten nærmest kalles kryp, men ved større helling, eller tiltagende helling nedover i terrenget, kan hastigheten øke betydelig, men ikke sammenliknes med tørre snøskred. Denne skredtypen forekommer også ved snødemte sjøer, ved skreddemte elver eller som følge av skredgenererte bølger (kan initieres av snøskred ned i et magasin) som fører store vannmengder mot et utløp som er helt eller delvis blokkert av fokksnø. Skredene kan også utløses i myrområder med vannmettet snø. Da er initialskredet gjerne et bekkeløp som fører et mindre skred ut i myrområdet og påfører den vannmettede snøen på myra en ekstra belastning som gjør snødekket ustabilt. Skredet beveger seg om en flyende masse av gjennomvåt snø (sørpe) som har vesentlig større densitet enn tørre snøskred. Sørpeskred følger oftest naturlige vannveger som bekkedaler, men kan bre seg ut over store områder nedstrøms utenfor utløpet av dalene som en viskøs masse. Skredhastigheten er oftest langt lavere enn ved tørre snøskred, men massene kan bevege seg mer tilfeldig i utløpsområdet, også perpendikulært på den naturlige bevegelsesretning i terrenget.

Skredtrykket fra sørpeskred kan bli relativt betydelig som følge av at skredene ofte fører jord og stein som eroderes i skredbanen, og gir en samlet densitet på godt over 1000 kg/m³. Selve snømassene har en densitet på mellom 700 kg/m³ og 800 kg/m³ avhengig av vanninnholdet.

Sørpeskred skjer oftest i perioder med kraftig regn og/eller intens snøsmelting ved brå temperaturøkninger. Rekkevidde av slike skred kan være stor også i relativt flatt terrenget. På Svalbard er det sannsynlig at skred som starter som sørpeskred blir lik flomskred på grunn av massene som eroderes med i skredet.

Jordskred kan løsne i skråninger med løsmasser og helling større enn 25-30°, mens løsmasseskred med stort finstoffinnhold kan bli utløst i enda slakere terrenget. Jordskred forekommer i bratte

skråninger, utenfor definerte vannveier og oftest etter perioder med stor nedbør. Poretrykket når et kritisk nivå med hensyn til skråningens stabilitet. Dette kan også skje ved hurtig snøsmelting eller når den øverste delen av jordlaget på annen måte blir vannmettet. I områder hvor det er permafrost vil permafosten vanligvis fungere som en glideflate for jordlaget.

Flomskred er hurtige, flomlignende skred som opptrer langs bratte (25-45°) elve- og bekkeløp, også der det vanligvis ikke er permanent vannføring. Flomskred starter vanligvis som jordskred i en skråning der poreovertrykk fører til ustabilitet, ofte etter langvarig regn eller intens snøsmelting i kombinasjon med nedbør i form av regn.

Massene som blir transportert kan komme fra erosjon av løsmasser langs og i elveløpet. Når skredet beveger seg nedover kan mer vann og sedimenter opptas og skredvolumet økes betraktelig. Massene avsettes i foten av skråningen som en vifte, men også som langsgående rygger / leveer på sidene av skredløpet. Dersom skredmassene har høyt vanninnhold og får påfyll av vannmettede løsmasser langs skredløpet, kan flomskred ha stor rekkevidde.

Flomskred kan også forekomme som følge av dambrudd i morene eller som følge av flomvassføring etter brudd i en breisdam (jfr. Simadalen etc.) Dette er et vanlig problem i høyfjellene som eksempelvis i Alpene, Kaukasus og Himalaya.

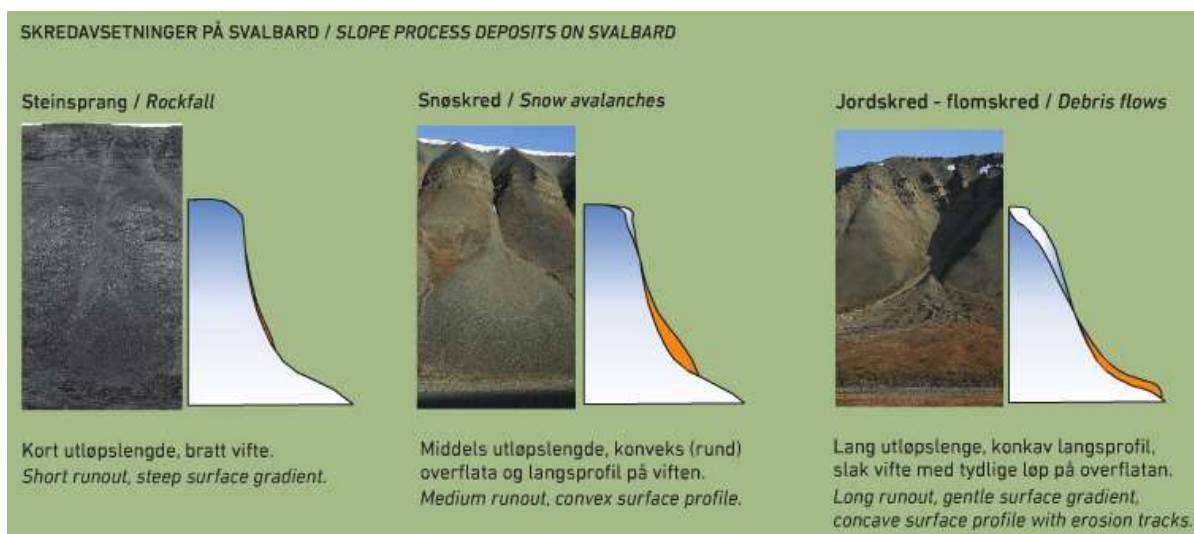
Steinsprang og **steinskred** brukes ofte om hverandre. Per definisjon består steinsprang av enkelte blokker av mindre volum (<100 m³). Steinskred består av større bergmasser (ca. 100-10 000 m³), der blokkene splittes nedover skråningen. Begge skredtypene forekommer i bratte oppsprukne fjellpartier der terrenghelling er større enn 40-45°. Vanlige utløsningsmekanismer er fryse-tineprosesser eller høyt vanntrykk i sprekkene og erosjon av svakere bergarter i en struktur der det er veksling mellom harde og svake lag.

Store **fjellskred** med steinmasser >10 000 m³ er ikke vurdert separat i dette arbeidet. Eventuelle partier av berg i denne størrelse, som kan være i bevegelse, blir omtalt under vurdering av steinskred og steinsprang.

3.2 Aktuelle skredtyper innenfor kartleggingsområdene

Kartleggingsområdene skiller seg fra hverandre ved ulik topografi, helning, orientering på skråningene og vindforhold. Det kan også lokalt i samme område være store variasjoner. Dimensjonerende skredtype kan derfor variere mellom de ulike områdene og også internt i enkeltområdene.

I de aktuelle kartleggingsområdene er det i all hovedsak fire typer skredavsetninger som er tydelige, dette er steinsprang, snøskred og jordskred/flomskred og sørpeskred. Se figur 11.



Figur 11. Skredavsetninger på Svalbard. Ref. Landskapsformer og Løsmasser, Rubensdotter m.fl., 2015.

Det er registrert flere hendelser av snø-, sørpe- jord- og flomskred som har ført til skader på bolighus og infrastruktur og tap av menneskeliv i kartleggingsområdene, f.eks. sørpeskredet på Haugen i 1989, bilde 5 og skredet i 1953 i samme område.



Bilde 5. Sørpeskred på Haugen 1989. Fra SNSK arkiv.

Aktuelle skredtyper i de vurderte områdene er:

Steinsprang/steinskred

Berggrunnen i kartleggingsområdene på Svalbard består i all hovedsak av sterkt forvitret sandstein. Berget er generelt sterkt oppsprukket og forvitret. Dersom berget har brattere helning enn om lag 45°, er det potensielt løsneområde for steinsprang. Skråninger i nedre del av fjellsiden (under 40°) består ofte av stedegne forvitringsblokker/ur. På grunn av at berget er tett oppsprukket, forventes steinsprang i all hovedsak å bestå av mindre blokker (< 1 m³).



Bilde 6. Potensielt løsneområde for steinskred i Platåfjellet over vejen mellom kirken og huset. Foto Jan Otto Larsen.

Snøskred

Nedfall av skavler forekommer ofte der skavler dannes i randsonen av platåer over bratte fjellsider som ligger i le for fremherskende vindretning. Skavlnedfall kan løse ut flakskred i den bratte fjellsiden under.

Snødekket på Svalbard består ofte av lag avsatt under ulike vindforhold. På grunn av nedbørsforhold og klima er begerkrystaller utbredt i snødekket, oftest forekommende ned mot bakken, men kan også forekomme under islag og skarelag (Ref. Eckerstorfer M., 2013). Denne typen snødekke er gunstig for dannelse av flakskred, som er en av de vanligste snøskredtypene på Svalbard.

Større løssnøskred er ikke et kjent fenomen på Svalbard og er derfor ikke vurdert nærmere.

Store snøskred med betydelig volum vil kunne utvikle et skredvindtrykk som går mye lengre enn avleiringsområdet for skredets faste masser. Dette skredvindtrykket forkommer først og fremst der skredene går ut for stup som medfører av hastigheten øker ut over det som forekommer i terrenget som har et jevnt fall. Skredbanene i Longyearbyen har ikke et profil som fører til at skredvindkraftene blir store, og infrastruktur forventes derfor ikke å ta skade ut over avleiringsområdet for skredets faste masser.

Jord- og flomskred

I enkelte av de aktuelle områdene er det større bekkedaler/raviner som drenerer store mengder vann, mens andre områder eller deler av skråningene ikke har definerte vannveier. I sistnevnte tilfeller er det mer utfordrende å definere fareområder for jord- og flomskred, da det ikke er noen faste

vannveier. Økt vannmengde i terrenget øker generelt faren for vannmetting i det aktive laget, som følge av at grunnen under er frosset og ikke vil absorbere vann. Dette kan resultere i detachment-skred. Denne problemstillingen gjelder for hele Svalbard, der hele det undersøkte området har permafrost.

Sørpeskred

Sørpeskred er en egen skredtype. Utløsningsmekanismer for sørpeskred generelt er nærmere beskrevet i kap. 3.1.

Sørpeskred har ført til de største materielle skader på Svalbard. Det er først og fremst skredet i Vannledningsdalen som har ført til skade, som følge av at bebyggelsen på Haugen er lokalisert på en skredvifte formet gjennom århunder med flom, sørpe- og flomskred.

Lavtrykkssystemer med nedbør i form av regn, og store variasjoner i lufttemperatur på Svalbard, kan også utløse sørpeskred om vinteren eller på våren. (ref. Eckerstorfer M., 2013).

Tidligere gikk sørpeskredene i snøsmeltingen på våren. Med klimaendringer og et varmere klima i Arktis har vi fått innbrudd av varmluft periodevis også gjennom vinteren. Dette fører til sørpeskredaktivitet også i vinterhalvåret ved intens nedbør i form av regn og snøsmelting som i januar 2012.

Med et varmere klima antas de vannrelaterte skredtypene som sørpe-, jord- og flomskred å få høyere frekvens.

4 Tidligere vurderinger/kartlegginger som er benyttet i vurderingen.

Den foreliggende rapporten er i all hovedsak resultat av en uavhengig kartlegging og vurdering. Det er likevel nedlagt et betydelig arbeid for å få innblikk i arbeider som er utført tidligere. Multiconsult har hatt tilgang på mange dokumenter tilsendt av NVE og Lokalstyret, men vi har også funnet en stor mengde med andre dokumenterte skredfarekartlegginger for de aktuelle områdene. I hovedsak gjelder dette kartlegging og vurderinger som er utført i områdene Longyearbyen og Vestpynten-Bykaia.

Det er siden 2006 utført en stor mengde kartlegginger i forbindelser med kurs som arrangeres på UNIS. Det er gjennomført flere Masteroppgaver innenfor temaet skredfare i Longyearbyen. Det er i tillegg utført flere doktorgrader på Svalbard, bl.a. i 2013 vedrørende snøskred på sentrale Svalbard. I 2001 ble det utført arbeid vedrørende snødrift og snøakkumulering i kompliest Arktisk terregn. NGI utarbeidet over 60 rapporter som omhandler snø og skred på Svalbard.

Det er få plasser i verden som har så mye dokumentert vedrørende snøskredfare som områdene på Svalbard.

Tidligere rapporter som er gjennomgått/ benyttet er:

- Lackinger Bernhard og Mook Reinhard, 2013; Skredfaglig ekspertuttalelse, selskapslokale på Sverdrupbyen Spitsbergen.
- Norges Geotekniske Institutt(NGI), 2015; 20120650-01-R, Vannledningsdalen, Longyearbyen
- Rambøll, 2015; G-rap-001, Skredvurdering Longyearbyen havn del II.
- NGI, 2015; 0150715-01-TN, Tidligere skredvurderinger og skredgrenser ved NGI
- NGI, 2012; 20120153-00-2-R, Vannledningsdalen – Et sammendrag av tidligere vurderinger av sikkerhet og tiltak.
- NGI, 2012; 20120323-00-1-R, Vannledningsdalen, Longyearbyen. Sikring av bebyggelse og infrastruktur mot sørpeskred. Oppsummering etter møter og befaring 18.20.04.2012.

- NGI, 2008; 20081311-1, Burmavegen Vurdering av skredfare
- Barlindhaug consult og NGI, 2007; Potensiale for utbygging i området Vannledningsdalen-Gruvedalen, Longyearbyen.
- NGI, 2003; 20031134-1, Nybyen, Longyearbyen Skredfarevurdering.
- NGI, 2001; 20011167-1, Vannledningsdalen-Gruvedalen, Longyearbyen.
- NGI, 2000; 20001324 TN, 2000.12.21 Skredfaren ved aktuelle fortettingstomter i Lia.
- NGI, 2000; 20001324 TN, 2000.12.22 Skredfaregrense Lia-Gruvedalen ovafor Veg 230.
- NGI, 1996; 954103-1, Barnehage, Longyearbyen. Vurdering av skredfaren mot aktuelle tomter for ny barnehage ved kirka.
- NGI, 1992; 914030-1, Vedlegg 4. Vedr. Skredfarevurdering av planområdet. Brev datert 28 juni 1991 og 24 april 1992.
- NGI, 1994; Vei 217-221, Longyearbyen. Skredfarevurdering av planlagt utbyggingsområde.
- NGI, 1993; 914030-2, Vedlegg 3. Påregnelige maksimale nedbørsmengder i Longyearbyen og på Svalbard Lufthavn.
- NGI, 1993; 934063-1, Haugen-Nybyen, Longyearbyen Skredfarevurdering av mulig byggeområde
- NGI, 1992; 924004-1, Longyearbyen – Gruvedalen. Skredfarevurdering av planlagt utbyggingsområde.

I forbindelse med et forskningsprosjekt holder Norges geologiske undersøkelser (NGU) på å kartlegge landskapsformer og løsmasser i flere av de aktuelle områdene. To av områdene er publisert i papirformat som kartblad i skala 1:10 000, Bjørndalen-Vestpynten og skala 1:25 000 Todalen, øvre Gangdalen og Bødalen. Øvrige områder som Longyearbyen, Foxdalen og Vindodden er under produksjon. Multiconsult har hatt tilgang til å studere den utførte kartlegging gjennom GEO-refererte tiff-filer, som er rene bildefiler.

5 Metodikk for fastsettelse av faresoner

Arbeidet med fastsetting av faresonegrenser er en kompleks og samlet prosess. Arbeidet er utført gjennom flere steg. Viktige momenter, som er tatt med i vurderingen, er historiske hendelser, feltregistreringer/observasjoner-registreringskart utarbeidet for de ulike områdene, kart og foto analyser, klimaanalyser med innspill på lokale variasjoner og ikke minst erfaring og skjønn ut fra utførte feltregistreringer. Grunnlag er også listet i kap. 1.

For vurdering av skredfare, utbredelse av skred og ulike returperioder er det benyttet følgende grunnlagsmateriale og metoder:

- Terrengmodeller
- Ortofoto, flybilder og fotografier
- Geologiske forhold (berggrunn, løsmasser og geomorfologi)
- Terreng- og klimaforhold
- Informasjon om tidligere skredhendelser og tidligere utarbeidete skredvurderingsrapporter fra de aktuelle områdene.
- Feltbefaring i terrenget til fots, bil, båt og helikopter
- Registrerte observasjoner i felt, registreringskart og informasjon fra lokalbefolkning angående tidligere skredaktivitet.
- Programvare for å beregne strømnings- og utbredelse/rekkevidde av skred/steinsprang.

5.1 Terrengmodell og kotegrundslag

Det er benyttet digitale terrengmodeller (DTM) med ulik oppløsning. Oppløsning som er brukt er 1,0 x 1,0 m, 2,5 x 2,5 m, 5,0 x 5,0 m og 10 x 10 m. Terrengmodellen brukes som grunnlag for å lage hælingskart, hillshade/skyggebilder samt som grunnlag for modellering med programvare RAMMS og RocFall.

Helningskart hjelper å identifisere potensielle kildeområder for ulike skredtyper. Sannsynlighet for at snøskred løsner øker i terrengheling mellom 30-50°, steinsprang der helningen er brattere enn ca. 45°, og jord- og flomskred i terrenghelninger mellom 25-45°, men skred av alle ovennevnte typer kan opptre ved lavere helning også.

5.2 Ortofoto, flybilder og fotografier

I forbindelse med forarbeider og under og etter befaringer er flybilder/ortofoto nøyne studert. Tidligere avsetninger som er synlige på bilder, er avmerket på kart, potensielle løsneområder for de ulike skredtypene er også studert. Bilder som er tatt på ulike tidspunkter av året og historiske bilder er studert i detalj for å vurdere akkumuleringsområder, overflatedrenering, skredavsetninger m.m. Det eksisterer svært store mengder med historiske bilder fra det aktuelle området. Naturen rundt Svalbard og Longyearbyen er ofte avbildet i ulike sammenhenger. Ved å sammenligne bilder er det tydelig at snømengder i området har variert opp gjennom årene.

5.3 Topografi, geologi og terregnforhold

Topografi, lokal geologi, terregn- og grunnforhold har stor betydning for hvor skred kan oppstå, hvilken retning evt. skred beveger seg og hvor lang utløpsdistansen blir. Terrengheling, type og forvitningsgrad av løsmasser og berg, terregnformer som forsenkninger eller terrasse- og ryggformasjoner kan påvirke både sannsynlighet, bevegelsesmønstre og rekkevidde for skred.

Flybilder, terregnmodeller, kartdata og observasjoner ved feltarbeid gir mye informasjon om tidligere skredaktivitet. Endringer i terrenget kan også tyde på skredfare. Skredbaner, raviner, urer og vifter er eksempler på endringer i terrenget etter skred. Det er viktig å bestemme hvilken epoke disse er dannet, mtp. om de også representerer fare under dagens klima og erosjonsforhold. Menneskelig inngrep kan også ha stor innvirkning på skredfaren.

5.4 Klimaforhold

Klimaforhold vil i stor grad påvirke alle typer skred. F.eks. dominerende vindforhold og nedbørsmengder har betydning for akkumulasjon av snø samt utløsning av snøskred/sørpeskred. Særlig ekstremnedbør kan direkte påvirke utløsning av alle typer skred. Eksisterende data fra værstasjoner i området gir informasjon om temperatur og nedbør (gjennomsnitt/måneds- og døgnnedbør), samt vindretning. Lokale klimaforhold og forventede returperioder av ekstremvær, har også stor betydning for utløsning av skred. Se kap. 2.

5.5 Skredhistorikk

For fastlands Norge er tidligere skredhendelser (snø-, stein-, jord- og flomskred) registrert i den nasjonale skreddatabasen til NVE (www.skrednett.no). For Svalbard finnes det pr. i dag etter vår kjennskap ikke en samlet oversikt på tidligere skredhendelser som strekker seg over en lengre periode.

Det er i denne rapporten gjort et innledende arbeid for å oppsummere dokumenterte nyere og eldre skredhendelser. Opplysningene er innsamlet ved å ha oppsøkt miljøer og personer som innehar informasjon. Det er også ved gjennomgang av tidligere arbeider og annen litteratur fanget opp tidspunkter og informasjon om skredhendelser. Se tabell og vedlegg E, for videre informasjon.

I forbindelse med prosjektet «The CRYOSLOPE Svalbard Project» for Norklima ble det opprettet en database. Forskningsprosjektet pågikk i perioden 2007-2009, og startet bl.a. en systematisering av i hovedsak snøskredhendelser innenfor et område rundt Longyearbyen og Todalen. Det er registrert 577 snøskred av ulik størrelse i den aktuelle perioden. Data er tilgjengelig på nettsiden <http://www.skred-svalbard.no>, der snøskredhendelser i perioden 2002-2010 er lagret. I den utarbeidede oversikten over dokumenterte skredhendelser i de aktuelle områdene, er mange av snøskredhendelsene er hentet fra

Cryoslopes database. Andre hendelser er hentet fra litteratur. Det finnes også mange hendelser som er kjent men ikke dokumentert. Det gjøres oppmerksom på at den geografiske stedfestning/plassering til skredhendelsene ikke er eksakt. Hendelsene som er registrert i foreliggende rapports kartleggingsområder er tatt med i vedlegg E.

Så lenge det har vært menneskelig aktivitet på Svalbard, har det vært kjennskap til skred i ulike former. I forbindelse med gruvedrift i b.la. Gruve 2b var det vanlig at snøskavler langs gruvefjellet ovenfor gruveinngangen og taubanen ble sprengt ned. Den gamle dynamittbua kan fortsatt sees oppe på Gruvefjellet. Det ble også etablert enkle støttemurer som beskyttelse mot mindre skred og steinsprang.

Informasjon om tidligere skredhendelser er viktig i arbeidet med skredfarevurderinger, da naturlig utløste skred ofte gjentar seg på steder der det har gått skred tidligere.

På fastlandet er det ofte vanskeligere å finne synlige spor i terrenget etter tidligere skredhendelser. Terrenget kan også ha blitt endret av menneskelig inngrep, slik at tidligere tydelige skredavsetninger har blitt fjernet. Tidligere skredhendelser på Svalbard er derimot betydelig enklere å se spor etter, da området ikke har vegetasjon. Menneskelige inngrep har også bare blitt utført i begrenset skala.

5.6 Feltarbeid/registreringskart

En av de viktigste oppgavene i arbeidet med skredfarevurderinger er å kartlegge de faktiske forholdene i et område. Dette er i hovedsak et arbeid som må gjøres på stedet, men data og informasjon er også innhentet via kart og flyfoto. Lang lokal erfaring fra de aktuelle stedene, i dette tilfellet både av utførende og kontrollerende i oppdraget, er også viktig for ikke å generalisere områdene men belyse de store stedvise og årlege variasjonene i områdene. Lokalkunnskap er også brukt når det gjelder forhold som menneskelig virksomhet/inngrep, nedbørsmønster, vindretninger, landskapsformer m.m.

I forkant av befaringen ble helnings- og hillshadekart, flyfoto og tidligere kjente skred studert sammen med tilgjengelige kart og geoTiff filer fra NGU, som viser landskapsformer og løsmasser.

Observasjon/registeringspunkter er loggført med hjelp av håndholdt GPS-Garmin 62s og feltdagbok for notat. Det ble tatt mange bilder og områdene ble også studert med kikkert.

Skredavsetninger, skredløp, potensielle løsneområder, erosjon, berg og løsmasseforhold har blitt studert og vurdert samt registrert og fotografert.

Det er utarbeidet registreringskart der innsamlet felldata er avmerket. Registreringene er vedlagt i egne tabeller, se vedlegg B og D. Registrerte avsetninger fra jord-, flom- og sørpeskred er avmerket samlet under ett, da disse ofte er vanskelige å skille.

På registreringskartene er potensielle løsneområder for de ulike skredtypene avmerket, størrelsen på løsneområdene er estimert i felt med justeringer ifølge helningskart, bildestudier og lokalkunnskap. Den skredtypen som viser dominerende avsetning er avmerket, da det i flere av avsetningene er spor av flere skredprosesser og generasjoner. Se vedlegg B.

Feltkartleggingen har også omfattet intervju og befaring sammen med lokalbefolkning som har lang fartstid på Svalbard (>40 år). Lokalbefolkningen har bidratt til å beskrive hendelser og verifisere potensielle skredområder.

For å vurdere materialets erosjonsømfintlighet ved vannmetting, ble det tatt prøve av løsmassene i skråningen ved flyplassen. Prøven er rutineundersøkt på Multiconsults laboratorium i Tromsø og ble klassifisert som sandig grus.

5.7 Modeller for beregning av utløpslengder

Modellering og simuleringsverktøy er benyttet som supplerende hjelpemiddel ved vurdering av utløpslengder og for å vurdere strømningsmønster. Det er benyttet flere ulike parametere for å få mest mulig realistiske modelleringer. Der det har vært dokumenterte skredhendelser har simuleringer blitt kalibrert mot disse for å få mest mulig realistiske parameter. Parametere som er brukt for simuleringer i kartvedlegg E, er vist nedenfor.

5.7.1 RocFall 5.0

Programmet RocFall 5.0, utviklet av Rocscience Inc., er et statistisk analyseringsprogram der blant annet energi, hastighet og distribusjon av fallende stein blir kalkulert langs manuelt utvalgte profiler. Sammen med digitale høydedata (1 m - 2,5 m koter) er det utarbeidet detaljerte skråningsprofiler. Parametersettet brukt i modellering av steinsprang er kalibrert til faktiske kjente hendelser i området. For utvalgte modelleringsresultater, se vedlegg F.

Tabell 1 viser parametere benyttet i modelleringen av steinsprang. Det ble brukt «rigid body» metoden og modellert 500 og 1000 tilfeller per utløst blokk. Størrelse og form på blokkene ble kalibrert mot feltobservasjonene av steinsprang i ulike lokaliteter (fra 0,5 m³ til ca. 1 m³). Blokkenes densitet er satt til 2323 kg/m³ (sandstein).

Tabell 1. Inputparametere for ulike underlag/terrengtyper benyttet i steinsprangsmodelleringer på Svalbard

| Underlag | Normal restitusjonskoeffisient (Rn) | Tangential restitusjonskoeffisient (Rt) | Dynamisk friksjon | Rullemotstand |
|-------------|-------------------------------------|---|-------------------|---------------|
| Bergpartier | 0.35 | 0.85 | 0.5 | 0.15 |
| Talus | 0.32 | 0.82 | 0.5 | 0.3 |
| Asfalt | 0.4 | 0.9 | 0.5 | 0.1 |
| Grusveg | 0.35 | 0.85 | 0.5 | 0.45 |

5.7.2 RAMMS

Det er utført simuleringer av snøskred og flomskred/sørpeskred med programvaren RAMMS utviklet av SLF i Sveits. RAMMS er et dynamisk 2D/3D-modelleringsprogram der resultatene kan visualiseres i 3D. Modelleringen inkluderer sannsynlige strømningsveier og utløp, skredets hastighet, høyde og trykk. Høyde- og friksjonsparameterne er tilpasset forholdene, og fysiske egenskaper for skred på Svalbard. Programmet er tilpasset til sveitsiske snøforhold men det er gjort tilpasninger og kalibreringer opp mot faktiske hendelser på Svalbard.

For utvalgte modelleringsresultater, se vedlegg F.

Modellering av snøskred - RAMMS Avalanche

Ved modellering av snøskred er default-verdiene for friksjonsparameterne μ og ξ benyttet, og automatisk justert etter høydegrenser. Høydegrensene som er benyttet i RAMMS er satt til 0 m for nedre høydegrense og 200 m for øvre høydegrense. Med dette menes at snøen vil ha ulike egenskaper over og under disse høydegrensene. I alle lokasjonene ble det modellert snøskred med returperioder for 10 år og 300 år. Størrelsesparameterne for skredet blir definert automatisk («tiny», «small», «medium» eller «large»), avhengig av hvor stort løsneområdet er. 300 kg/m³ er benyttet som densitet på snø.

Løsneområdene er valgt på bakgrunn av tidligere hendelser i tillegg til områder med over 30° helning i det samme området. Det antas dermed at områdene som er definert, utgjør de største mulige løsneområdene. Det er sjeldent at hele løsneområdet løsner under en reell hendelse. Størrelsen på løsneområdet i m³, vil derfor være noe større enn det som reelt løsner. Sett i lys av skredbanen som generelt er 200-400 m lang, antas en hvis medrivingseffekt. Denne medrivingseffekten er ikke tallfestet, men siden løsneområdene generelt sett er noe større enn det som er reelt, vurderes det til at medrivingseffekten blir kompensert for ved simuleringene.

Akkumulering av snø på Svalbard kan variere mye, avhengig av eksponering i forhold til dominerende vindretning. På grunn av vindtransport er det vanskelig å estimere reelle snømengder i de ulike skråningene basert kun på nedbørstatistikk. Svalbard er svært utsatt for vind, og snøen som faller blir erodert vekk i vindutsatte områder som platåer og fjellpartier på lo side eller parallelt fremherskende vindretning (se kapittel 2.3). Hvor mye snø som blir liggende i de enkelte skråninger er avhengig av terrengformen. De områdene som først og fremst samler snø er renner/søkk og leheng under platåer. I dette prosjektet er ulike verdier for bruddkanthøyde benyttet (0.3 m, 0.5 m, 0.7 m, 1.0 m og 1.5 m), avhengig av hvordan vinden er antatt/registrert å påvirke snøakkumulering i de ulike terrengformene. Bruddkanthøydene representerer ulike gjentaksintervaller.

Tabell 2. Viser parameterne benyttet i simuleringene av snøskred vist i vedlegg F. Areal på løsneområdene på kartet er gitt i rekkefølge fra vest til øst/sør til nord.

| Lokasjon | Bruddkanthøyde (m) ved utløsningsområdet | Areal løsneområder (m ²) |
|------------------------------------|--|---|
| Gryteformasjon vest for skytebanen | 0.5 | 35072 |
| Skytebanen | 0.5 | 67630 |
| Vest for frølageret | 0.5 | 3347 + 3567 + 10375 |
| Platåfjellet, ovenfor Burmaveien | 0.5 | 15855 |
| Kirken/barnehagen | 0.5 | 16687 + 9290 |
| Huset | 0.7 | 6727 + 7305 + 1720 + 1887 |
| Sverdrupbyen | 0.7 | 3267 + 2630 + 2062 + 4165 |
| Nybyen | 1 | 3925 + 3942 + 4447 + 4110 + 3530 + 2972 + 4192 + 2645 |
| Gruve 2 | 1 | 5012 + 6780 + 4330 |
| Funken/skolen | 0.5 | 4500 + 5042 + 1915 + 2555 |
| Sukkertoppen | 0.5 | 32292 |
| Spisshusene | 1.5 | 6607 |
| Nord for Sukkertoppen | 0.5 | 19770 |

Modellering av jord- og flomskred, samt sørpeskred - RAMMS Debris flow

Ved modellering av flomskred på Svalbard ble friksjonskoeffisientene justert for å tilsvare lokale forhold best mulig i de ulike lokasjonene. Kalibreringer er gjort iht. kjente/observerte hendelser.

Mange av skredene som starter som sørpeskred drar med seg jordmasser og blir til et blandingskred, som ligner mer på et flomskred. Dette er også grunnen til at sørpeskred er best simulert ved å bruke RAMMS debris flow (og ikke RAMMS avalanche).

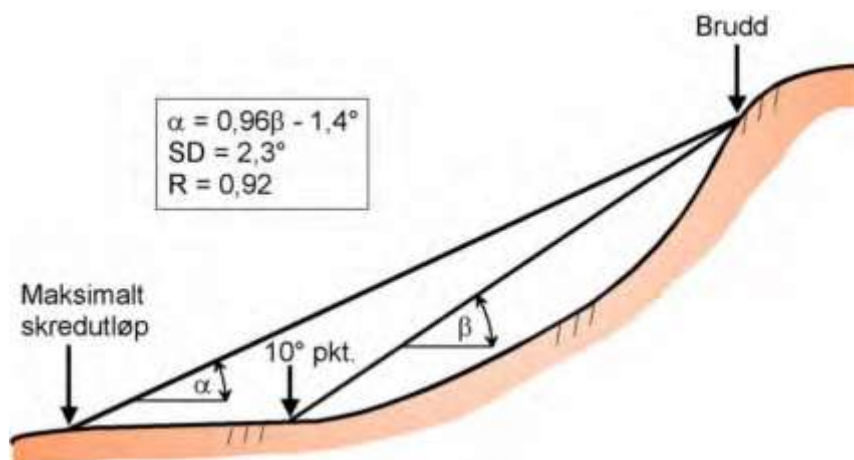
Massene som kommer i bevegelse er ofte veldig grove på grunn av den dominerende bergarten sandstein som har høy friksjon. Med store mengder vann, blir friksjonen lavere. Densiteten til massene ble satt til 1000-2000 kg/m³ avhengig av lokaliteten og type skred. For øvrige parametere, se Tabell 3.

Tabell 3. Informasjon om løsneområder og friksjonsparametere benyttet i modellering av flom-/sørpeskred, se vedlegg F. Tallene for areal i løsneområdene på kartet er gitt i rekkefølge fra vest til øst.

| Lokasjon | Bruddkanthøyde (m) ved utløsningsområdet | Dry-Coulomb type friction μ () | Viscous-turbulent friction ξ (m/s^2) | Areal løsneområder (m^2) |
|--------------------------|--|------------------------------------|--|-------------------------------------|
| Vannledningsdalen | 1 | 0.08 | 600 | 29897 |
| Hyttefelt ved flyplassen | 0.5 | 0.05 | 200 | 2422 + 1422 |
| Burmaveien, nedre deler | 0.8 | 0.05 | 200 | 690 + 430 + 380 + 827 + 1300 + 1900 |
| Burmaveien, øvre deler | 0.8 | 0.1 | 200 | 4692 + 2127 + 4310 |
| Blomsterdalen | 1 | 0.05 | 600 | 49102 |
| Bolterdalen vest | 1 | 0.08 | 200 | 2860 + 1292 |
| Bolterdalen øst, lille | 0.5 | 0.1 | 200 | 3242 |
| Bolterdalen øst, store | 0.5 | 0.09 | 200 | 10320 |

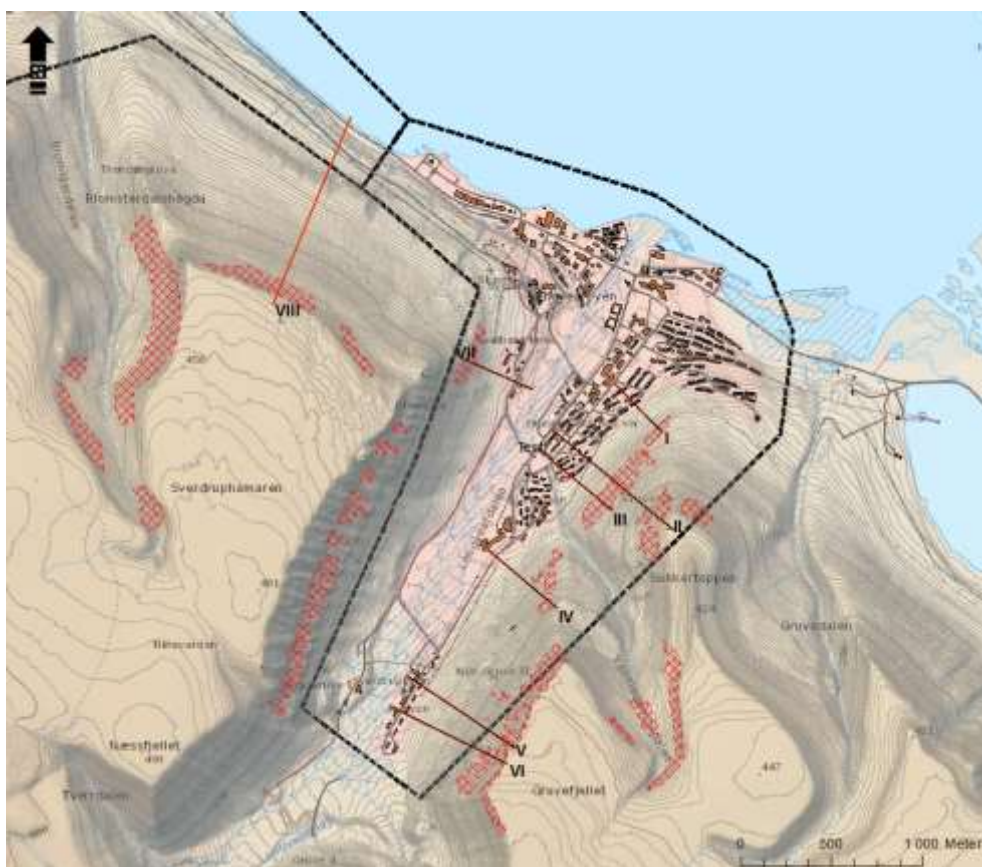
5.7.3 α / β -modellen

På enkelte av skråningene der det er utført simuleringer av snøskred, er det i tillegg utført beregninger i henhold til α/β -modellen, som er en statistisk/topografisk modell som tar utgangspunkt i fjellskråningens lengdeprofil. Ref. Lied og Bakkehøi, 1980. Se figur 12.



Figur 12. Viser parametere i α/β -modellen (SD-standardavvik, R-korrelasjonskoeffisient). Ref. NVEs Kartlegging og vurdering av skredfare i arealplaner, 2011 og Lied og Bakkehøi, 1980.

Det er utført beregninger etter α/β -modellen på 7 profiler i Longyearbyområdet. Profilene ble valgt ut fra faktiske hendelser og for å gi et kompletterende grunnlag for vurderingsarbeidet i de områdene der eventuelle skred antas å få størst konsekvens. Profilenes plassering er vist i figur 13.



Figur 13. Oversiktskart over skråningsprofiler der det er utført α/β -beregninger.

Det har i flere tilfeller vist seg at α/β -modellen, med ett standardavvik, stemmer godt med faktiske skredhendelser på Svalbard (ref. Larsen, 2016). Se vedlegg F.

Alfa/beta modellen tar ikke hensyn til snødybde eller snøens lagdeling/oppbygging, faktorer som har stor betydning for utløpslengde for snøskred.

5.8 Fastsettelse av de ulike faresonene

I henhold til dagens Byggteknisk forskrift, TEK 10, er det formulert 3 sikkerhetsklasser (S1-1/100, S2-1/1000 og S3-1/5000) der skredsannsynlighet skal tallfestes med beregnet/antatt største nominelle sannsynlighet for skred. Alle de aktuelle skredtypene (stein-, snø-, sørpe-, jord- og flomskred) skal inngå. Sannsynlighetsgrensene som benyttes ved skred fra bratt terreng er betydelig mer konervative enn de som benyttes for naturfaretyper som flom og stormflo. Ved vurdering av disse faretypene benyttes nominell årlig sannsynlighet på 1/20, 1/200 og 1/1000. (Ref. TEK 10, 2016).

En nominell årlig sannsynlighet på 1/100 hhv. 1/1000 omtales ofte som 100-års skred hhv. 1000-års skred. Ett tusenårsskred utelukker ikke at det kan komme nytt skred med samme returnperiode året etter. (ref. TEK 10, 2016).

På faresonekartene er den samlede skredfarene avmerket for de ulike intervallene. Dimensjonerende skredtype for området er vist. Se vedlegg A.

Vurderingen av hvor sannsynlighetsgrensene går, er et krevende arbeid der mange momenter inngår. Den endelige vurderingen baserer seg bl.a. på skjønn og erfaring, med støtte av simuleringer. Der det

er synlige spor etter tidligere skredhendelser blir kalibreringen av simuleringene mer eksakt, og det er bedre grunnlag for å vurdere utløp ved simuleringer. Dagens dataverktøy gir ikke eksakte svar på naturlige fenomener. Vektlegging av simuleringer og innsamlet materiell er tilpasset faktiske registeringer og forhold på stedet. Dataverktøyet kan gi svært konservative resultater. Modellering er derfor i hovedsak benyttet for å vurdere strømningsmønstre og hvordan terrenget vil kunne lede eventuelle skred.

Vi har her å gjøre med områder som har kort historisk informasjon om skred. Vurdering av skredutløp i forhold til 1000-års skred og 5000-års skred vil derfor være basert på modell-beregning, erfaring med skredutbredelse, klimaanalyser samt registrerte forhold på stedet, og dermed ikke eksakte. For 100-årsskredene vil nøyaktigheten være større, da det her finnes mer detaljert informasjon bl.a. om faktiske skredhendelser. Kartene vil være et godt grunnlag for skredfarevurdering i potensielle utbyggingssaker, selv med den beskrevne usikkerheten.

6 Delområder

6.1 Vestpynten – Bykaia

Vestpynten-Bykaia er et viktig område for både næringsliv, forskning og adkomst til Svalbard. Her ligger flyplassen, KSATs satellittstasjon, Svalbard Globale Frøhvelv samt kaiområdet for cruisebåter og fraktskip.

6.1.1 Topografi og grunnforhold

Området fra Vestpynten til Bykaia er karakterisert av terrassert landskap fra strandflaten opp til Platåfjellet. Skråningene er i hovedsak nordvendte. Ved Skytebanen er det to større gryteformasjoner i skråningen. Løsmassene består hovedsakelig av forvitningsmateriale. Finere løsmasser som sand og grus er registrert i skråningene over Burmaveien.

En større N-S-vendt dal, Blomsterdalen, ligger mellom Vestpynten og Bykaia. Elven fra Blomsterdalen renner inn i kartleggingsområdet.

Ved Burmaveien (Bykaia) er det flere mindre og mellomstore aktive raviner som skjærer inn i terrassene. Høyreliggende skråninger har jevn og forholdsvis slak overflate sammenlignet med dalene ved de andre kartleggingsområdene. Lenger nede langs veien til flyplassen, er det en 10-15 m høy bergskjæring, som også er delt opp av raviner. Noen av disse ravinene har fast vannføring.

Området ved Vestpynten er mer åpent, og størstedelen av området har lang avstand til brattere høye skråninger. Dette området har avsetninger og vannveier som krysser over de flatere partiene. Dette er særlig fremtredende ved flyplassen, der bekker renner gjennom større raviner. Både de bratte skråningene og de lavere skråningene ved mindre terrasser er preget av aktive skråningsprosesser.



Bilde 7. A. Landskapet ved Vestpynten. Bildet er tatt ovenfor flyplassen mot sør. Gryteformasjonene i øvre deler av bildet med snø, og bekkeravinene midt på bildet. B. Terrassert ravinelandskap ved Bykaia.

6.1.2 Skredhendelser

Det er registrert flere skredhendelser i området Vestpynten-Bykaia. Se vedlegg E for kart og tabell over skredhendelser. Det er rapportert om mindre materielle skader i de fleste tilfellene.

En kort oppsummering med registrert skredaktivitet i Vestpynten-Bykaia:

Det har gått sørpeskred fra området Burmaveien ned mot hovedveien. Enkelte av skredene har gått over veien og stoppet bl.a. mot stålkontainere som stod oppstilt i området. Ref. skredhendelse 5/6-2013 og 30/1-2012.

I området ved skytebanen er det registrert flere snøskredhendelser. Gryteformasjonen vest for skytebanen har like skråningsforhold, og det har antakelig gått flere skred her uten at de er registrert. Sørpeskred ødela og flyttet en hytte på sørvestsiden av flyplassen i juni 2013, se Bilde 2 i kap. 2.5. Det har gått flere mindre jord-/flomskred i samme skråning.

Helt siden etablering av veien opp til KSATs satellittstasjon på slutten av 1900-tallet har det vært utfordringer med snøskred langs veien. Bl.a. ble en hjullaster tatt av snøskred og skjøvet av veien.

6.1.3 Vurdering av skredfare

Skredfare ved Vestpynten-Bykaia er stort sett knyttet til vanndrenering. Områdene ovenfor de mindre og mellomstore ravinene er flatere og samler vann, slik at massene (både løsmassene og snømassene) kan bli vannmettet, noe som igjen kan føre til flomskred og sørpeskred med lange utløp. Slike skredhendelser er observert både langs Burmaveien/Flyplassveien og på sørvestsiden av flyplassen. Særlig i området langs Burmaveien vurderes løsmassene å være mer finkornete enn i de fleste skrånningene ellers, noe som gjør at disse massene lettere kan bli vannmettet.

Snøskred er aktuelt i høyreliggende skråninger ved Platåfjellet, stort sett langs hele kartleggingsområdet (ovenfor Burmaveien, Skytebanen og Svalsatveien). Det er sannsynlig at mindre steinsprang kan løsne i skjæringen langs Flyplassveien samt fra østlige deler av høyeste skråning ved Svalsatveien. Løsneområdene som er simulert er basert på tidligere skredhendelser.

I tillegg transporteres flom- og sørpeskredmateriale med alle større bekkar (fra raviner ved flyplassen) og elven fra Blomsterdalen.

6.1.4 Modellering i RAMMS samt kommentarer angående faresoner

For parametere benyttet i simuleringene i RAMMS og RocFall henvises til kapittel 5.7.2. Ved gryteformasjonene ved skytebanen og vest for skytebanen mot Svalsatveien dannes det skavler ved vind fra sør/sørvest. Skavlbrekks og utløsning av flakskred fra øvre deler av disse gryteformasjonene er et årlig fenomen, og de tydeligste snøskredutsatte områdene innenfor denne delen av kartleggingsområdet. Det ble modellert med 0.5 m og 1.0 m bruddkanthøyde, som er benyttet for å tilsvare årlig nominell sannsynlighet på hhv. 1/100 og 1/1000. Simuleringene viser utløpslengder fra den vestligste gryten ned mot Svalsatveien, og videre mot ravinen vest for gruve 6. Ved skytebanen er øvelsesbrakken potensielt utsatt ved evt. større skred. Simuleringene vist i vedlegg F er fra modellering med 0.5 m bruddkant.

Svalsatveien er kjent for snøskredproblematikk. Området er ikke tatt med i simuleringene pga. kjent skredproblematikk og bratt terreng hvor det er uaktuelt å etablere ny infrastruktur som bygninger etc.

Det har vært nylige sørpe- og jord-/flomskredhendelser fra mindre raviner ved hytteområdet sør for flyplassen. To kjente hendelser er simulert. Faste masser i de reelle hendelsene har stoppet tidligere enn lengste utløp ved simuleringene, mens vanndrenering og mindre mengder (uskadelig) finstoff er observert med ca. samme utløpslengder som simuleringene. Det vurderes at simuleringens resultater her ved maks flytehøyde 0.5 m vil gi et utløp tilsvarende en årlig nominell sannsynlighet på 1/100. Skrånningene mellom de simulerte skredbanene er også skredutsatte, og hendelsene/simuleringene er brukt, sammen med feltobservasjonene, som referanse for potensielle skredutløp i disse områdene.

Det er observert større raviner med sesongaktive bekkeløp sør for flyplassen. Ved varmere klima kan erosjonsprosesser i disse ravinene bli mer aktive. Det er også registrert at enkelte av skrånningene består av materiale som kan opptre ustabilt dersom det blir vannmettet. Dermed kan de forventede klimaendringene med økt nedbør gjøre at det initieres flere mindre jord- og flomskred også i skrånningene som har en helning på < 27°. Det trenger derfor ikke være spor etter tidligere erosjon/skred i slike

skråninger for at de kan anses som potensielt skredutsatte områder. Ved vannmetting av løsmasser i skråninger slakere enn 27°, kan det aktive laget bli ustabilt. Derfor er slike områder avmerket som potensielle fareområder.

Vest for Frølageret er det observert et par mindre, aktive snøskredbaner. Disse er tatt med i simuleringene av snøskred. Vedlegg F viser simuleringen med bruddkant på 0.5 m. Felt-observasjonene viser skredutløp nesten ned til veien, noe som tyder på at det her kan ha gått sørpeskred. Terrenget lenger vest for disse mindre skredbanene, kan potensielt være utsatt for snøskred. Ovenfor Frølageret er terrenget slakere, og evt. skred er vurdert å følge observerte skredbaner.

I Blomsterdalen er det kjent at det kan gå snøskred ned mot dalbunnen relativt ofte. Snøen som samles i Blomsterdalselva kan bli vannmettet, og transportert videre utover mot kartleggingsområdet som sørpeskred. Løsneområde for potensielle sørpeskred er i teorien hele elvedalbunnen, hvis man tar med medrivingseffekt. Her kan også løsmasser bli revet med av disse skredene. Blomsterdalen er en lang dal og helningen på dalbunnen er lavere enn i Vannledningsdalen, noe som gjør at skred ikke får like stor fart og eroderingskraft. Mesteparten av skredet vil med stor sannsynlighet følge elveløpet, men veien og deler av industriområdet vurderes å være potensielt utsatt med årlig nominell sannsynlighet på 1/1000 og 1/5000.

Langs Burmaveien er det både små og store aktive raviner. Massene i ravinene ovenfor Burmaveien er stort sett finere løsmasser sammenlignet med andre skråninger. Både jord- og flomskredaktivitet er observert i de fleste ravinene, og flere sørpeskredhendelser fra de større ravinene er registrert i senere tid. De fleste ravinene er i hovedsak sesongaktive med kun periodisk vannføring ved nedbør og snøsmelting.

Simuleringene for sørpeskred/flomskred er utført i større ravinene som potensielt kan ha lengre utløp. Steinsprangfare er aktuell langs hele Flypassveien, men pga. steil skjæring og vegens plassering med bred grøft når ikke skredene vegen og kaianleggene utenfor. Flomskred og sørpeskred har blitt observert og kan gå over Flypassveien.

Den høyeliggende skråningen ovenfor Burmaveien er utsatt for snøskred. Spesielt kan vind fra sør avsette mye snø på den nordvendte lesiden av skråningen. Her er det registrert skredavsetninger og skredhendelser av både flakskred og sørpeskred. Simulering av snøskred ble utført fra området der topografiene er mest aktuelt for akkumulering av snø ved vindtransport fra sør. Kjente hendelser og erfaringer fra lokalbefolkning og simuleringene viser at flakskred med stor sannsynlighet vil stoppe ved det slakere partiet før ravinene og før de når ut på Burmaveien. Imidlertid vurderes det at sørpeskred kan initieres fra slakere terreng og ovenfor ravinene. Ved fastsettelse av faresoner er det tatt hensyn til både snøskred fra høyeliggende terreng samt flom-jord- og sørpeskred som vil kunne opptre i skråningen og følge ravinene.

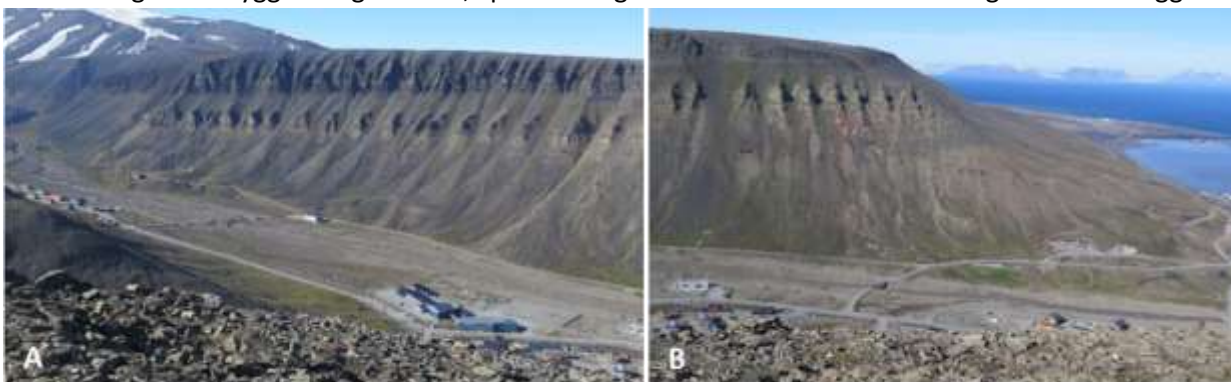
6.2 Longyearbyen

Longyearbyen er sentrumsområdet som inkluderer en vesentlig del av boligbebyggelsen på Svalbard, i tillegg til barnehager, skole, universitet og mesteparten av reiselivsvirksomheten inkl. butikker, restauranter og overnattingsteder m.m.

6.2.1 Topografi og grunnforhold

Longyearbyen ligger ca. 10-30 m.o.h., ved munningen på Longyeardalen. Longyeardalen er en tilnærmet NØ-SV-orientert U-dal med en bred og aktiv elveslette. De tilstøtende skråningene, mot Platåfjellet i vest og Gruvefjellet i øst, har en gjennomsnittshelling på 45°. Bergpartiene øverst er bratte (55-80°). Fjellplatåene ligger om lag på 500 m.o.h.

Både de nordvestvendte og sørøstvendte skråningene av Longyeardalen viser spor etter aktive skredprosesser. Flere av avsetningene (snø-, stein-, jord- og flomskred) overlapper og ligger tett ved hverandre (Bilde 8). Den nordvestvendte siden vurderes noe mer aktiv enn den sørøstvendte grunnet den dominerende vindretningen i området fra sør-sørøst. Flere av skredavsetningene når helt ned både til dagens bebyggelse og til veier, spesielt lengre inn i dalen der det blir trangere. Se vedlegg B.



Bilde 8. Bilde A og B viser den sørøstvendte siden av Longyeardalen. Se skole og barnehage på bildet for lokalisering. Bilde tatt om lag mot vest.



Bilde 9. Den nordvestvendte skråningen over Nybyen, med brakkebebyggelsen som benyttes som hotell, samt overnattingsted for studentene ved UNIS. Aktive skredvifter ligger bak husene. Bilde tatt mot sørøst.

6.2.2 Skredhendelser

Det vises til vedlegg E (kart E3 og E4 og tabell), som gir en oversikt over skredhendelser registrert i Longyearbyen. Kartene viser særlig områdene med hyppig skredaktivitet. De fleste hendelsene har ikke ført til store skader, men enkelte har vært svært ødeleggende.

Skredhendelser som har ført til materielle skader og/eller tap av menneskeliv:

- Sørpeskred fra Vannledningsdalen (10/6 1953) som ødela flere hus og tre mennesker omkom. I tillegg ble 30 mennesker skadet. Det er bygget en ledevoll på sørsiden av dalmunningen etter denne hendelsen. Lignende skred har gått også i senere tid, med utløp over hovedveien. Se Bilde 11.
- Snøskred ved Spisshusene fra lia under Sukkertoppen i (19/12 2015). De to øverste husrekkeene, til sammen 11 hus, ble totalskadet av skredet og to mennesker omkom.
- Snøskred fra Gruvefjellet (mai 2012), ødela verneverdig taubanebokk og hadde utløp over veien som går mellom Nybyen og sentrum. Se Bilde 10.



Bilde 10. Snøskred nord for Gruve 2b i mai 2012. Foto av Markus Eckerstorfer.



Bilde 11. A). Vannledningsdalen, merk det store hvite huset. B). Skredet gjorde stor skade, juni 1953. Modifisert fra SNSKs fotoarkiv.

6.2.3 Vurdering av skredfare

Infrastruktur og menneskelig inngrep i terrenget gjør at det er vanskelig å finne ut hvor langt visse skred kan nå. Bebyggelse og veier står tett inn på gamle skredvifter, og noen skredavsetninger kan være ødelagt ved etablering av veier og hus. Steinsprangblokker kan også ha blitt flyttet på. I slike områder er vurderingen stort sett avhengig av dokumenterte skredhendelser og resultater fra modelleringsarbeider.

Snøskred er den skredtypen som har størst potensiale for ødeleggelsjer i Longyearbyen. Spesielt er den vestvendte skråningen (Sukkertoppen/Gruvefjellets side) utsatt, da de fleste snøskred løsner i vindtransporter snø som legger seg i lesider for fremherskende vindretning fra sør-sørøst. Vestavær er mer sjeldent, men kan ikke utelukkes. Derfor er de østvendte skråningene også utsatt for snøskred, men sannsynligheten for større snøskred her er mindre.

Ved snøskredproblematikk spiller geomorfologi i skråningene i Longyearbyen en viktig rolle både ved forplantning av bruddkanter og utløsning av skavler. Svake lag som begerkristaller dannes som følge av store temperaturgradienter i snødekket, der det typisk kan være lange kuldeperioder og liten snødybde. Disse lagene kan dannes både nær bakken, og under skare- og islag i snødekket. Særlig i akkumuleringsområder med sammenhengende skråninger (dvs. uten større variasjon i terrenget), kan vedvarende svake lag føre til at bruddkanten forplanter seg til store skred. Hvor store snømengder som kan løsne i slike hendelser, er avhengig av de ulike skråningene og akkumuleringsforhold, og er vanskelig å beregne eksakt. For vurdering av sannsynlighet for snøskredhendelser med ulike gjentaksintervaller, er det tatt hensyn til at det kan forekomme større skred med hyppigere intervall i områder som har jevnere sammenhengende skråningstopografi.

Ved Gruvefjellet over Nybyen og Gruve 2b dannes det skavler, som er den vanligste årsaken til at skavler løsner og snøskred utløses i dette området. Formen på de øverste delene i denne skråningen varierer fra mer sammenhengende og rett profil nord for Gruve 2b til mer undulerende og gryteformete profil ovenfor Nybyen. Disse variasjonene påvirker omfanget av skredmasser som kan løsne ved et potensiell skavlnedfall (se bilder i Vedlegg G). Nord for Gruve 2b utløser skavlnedfall større flakskred, mens ovenfor Nybyen er større flakskred sjeldnere på grunn av avgrensende gryteformede partier ovenfor bergnabber som dominerer den øverste delen av skråningen.

Ovenfor skolen og det gamle sykehuset blir skråningen lavere. Her er det registrert gjentatte, men mindre flakskred.

Skråningen ovenfor Spisshusene er kjent for å være akkumuleringsområde for store mengder vindtransportert snø. Her går det ofte mindre flakskred, men de fleste har stoppet i skråningen ovenfor bebyggelsen. Imidlertid viser skredet i 2015 hvor langt utløp skred i dette området potensielt kan ha ved spesielle forhold. Se videre diskusjon i neste kapittel.

Topp-partiet av fjellet Sukkertoppen er rundere og mer vindekspontert, og det er mindre aktuelt med skavldannelse og akkumulering av store mengder snø. Imidlertid er skråningshelningen bratt nok til at snøskred kan løsne. Hvis vær og vindforholdene er optimale for akkumulasjon i skråningen, kan det gå snøskred også i dette området. Særlig den midtre-delen av skråningen under Sukkertoppen vurderes som potensielt akkumulerings- og utløsningsområde for snøskred. Se resultatene av modellering i Vedlegg F. Jord- og flomskred vurderes imidlertid som mer frekvente skredprosesser i denne delen av skråningen.

Sørpeskred er et kjent problem fra Vannledningsdalen. Det er gjort tiltak på den sørlige siden av dalmunningen, men det er potensiale for at sørpeskred kan flytte over veg 222 og mot bebyggelsen, ned over Hilmar Rekstens vei og videre mot begynnelsen av vei 219 ned mot hovedveien.

Jord- og flomskred er observert i nesten alle skråninger i kartleggingsområdet ved Longyearbyen. Løsmassene i skråningene består av grovere, nedbrutte steinmasser som stedvis er blandet med finere masser. Observeerde jord- og flomskred i Longyeardalen har gjerne smale tungeformasjoner, som strekker seg lenger ut enn hoveddelen av skredmassene. Aktuelle områder der jord- og flomskred kan nå ned til eksisterende bebyggelse er nedenfor Sukkertoppen, Nybyen, og området rundt Longyearbyen barnehage.

Steinsprang er en aktuell skredprosess særlig i den østvendte skråningen (fra Longyearbyen barnehage til Huset, samt Sverdrupbyen) og skråningen ved Nybyen. Ovenfor Nybyen er det flere markante pinakler med sterkt oppsprukket berg. I disse og andre områder vil det gå steinsprang relativt ofte. Steiner som løsner vurderes å knuses til mindre steiner på vei ned skråningen. Det er tidligere gjort undersøkelser vedrørende pinaklene i Nybyen og i skråningen ovenfor Gruve 2b. I forbindelse med at det ble oppdaget en sprekk i skråningen, ble det målt bevegelse (ref. Rubensdotter & Hermanns, 2011). Området er ikke nærmere undersøkt i foreliggende vurdering. Oppsprekkingen i skråningen har sannsynligvis sammenheng med at åpningen inn til Gruve 2b ligger rett nedenfor. Bevegelser og oppsprekking har sammenheng med tining og frysing av det aktive laget. Det anbefales å følge med på utviklingen av sprekkene, på lik linje med alle andre deformasjoner som oppdages i nær forbindelse med bebyggelse og infrastruktur. Daganlegget i Gruve 2b er sikret med en betongmur mot steinsprang.

6.2.4 Modellering i RAMMS samt kommentarer angående faresoner

Modellering av snøskred ble utført hovedsakelig i områder der skredfare mot eksisterende infrastruktur er størst. Henviser til kapittel 5.7.2 for parametere benyttet i RAMMS og Rocfall.

Skråningen på nordvestsiden av Longyeardalen er karakterisert av jevn og bratt ($70\text{--}80^\circ$) bergskråning øverst, samt gryteformasjoner mellom bergpinakler ved løsneområdene i øvre deler av skråningen. Dominerende vindretninger fra sør og sørøst gjør at denne østvendte skråningen i Longyeardalen ikke er like utsatt for akkumulering av store mengder snø eller skavldannelse som den vestvendte skråningen på andre siden av dalen, men det kan ikke utelukkes at større snøskred også kan løsne i dette området ved perioder med vind i sektoren sørvest til nordvest. Vinden fra sør og nord bidrar til evt. akkumulering av snø i søkkene i lesiden av bergpinaklene i øvre deler av skråningen. De utstikkende bergpinaklene deler løsneområdene opp i mindre skålformede partier, slik at det er mindre sannsynlig at det utløses flaksred med stor bredde. Simuleringer av snøskred ved Huset og Sverdrupbyen med 0.7 m bruddkant er vurdert å tilsvare årlig nominell sannsynlighet på 1/1000.

Deler av skråningen ovenfor Longyearbyen barnehage/kirke har en helning på $30\text{--}40^\circ$. Den hyppigste skredtypen her er jord- og flomskred. Det er også registrert mindre flaksred som startet ca. i høyde med taubanen, og stoppet ovenfor barnehagen der helningen blir slakere. Rett ovenfor barnehagen er skråningshøyden lavere enn videre sør. Det vurderes mindre sannsynlig at evt. snøskred får stort volum og langt utløp i dette området. Utløpet vist i utført modellering av snøskred fra et bredere utløsningsområde med 0.5 m bruddhøyde vurderes å tilsvare sjeldne forhold (1/1000).

Den øverste bergskråningen over Nybyen ligger innunder platået i Gruvefjellet med en helning på $70\text{--}80^\circ$ ned mot en noe slakere fjellside med helning på $30\text{--}40^\circ$. Videre nedover er fjellsiden oppstykket med pinakler som deler denne delen av fjellsiden i skålformede forsenkninger. Hele fjellsidens høyde er ca. 460 m, og største delen av skråningsprofilen har gjennomsnittlig helning på 35° . Formen på skredbanene er konkave. Det dannes vanligvis store skavler langs kanten av fjellplatået over den øvre delen av fjellsiden. Det kan akkumuleres store mengder snø i fjellsiden under pga. dominerende vindretning fra sør/sørøst. Det har forekommet nedfall av skavler fra toppen av skråningen, som har truffet husveggen ved øverste husrekke. Skavelnedfall kan også utløse flaksred i fjellsiden og de skålformede partiene. Sannsynligheten for store flaksred er mindre over Nybyen enn lengre nord på

grunn av skålformene, som vanligvis avgrenser løsneområdene i mindre enheter. I ekstreme tilfeller antas det at den øvre delen av fjellsiden kan bli et sammenhengende løsneområde for skred. Simulering av snøskred i vedlegg F viser bruddkant på 1.0 m, noe som vurderes å tilsvare sannsynlighet på 1/100.

Lenge nord i samme skråning er det registrert snøskred over veien både i området ved de små hyttene, og i området mellom Gruve 2b og skolen. Nord for Gruve 2b er geomorfologien i øvre deler av skråningen ved løsneområdet mer sammenhengende enn ovenfor Nybyen, uten gryteformasjoner som deler opp løsneområdet. Ved det gamle sykehuset er skåningshøyden lavere, men fjellsiden er fortsatt så bratt at snøskred kan løsne. Skred mellom Gruve 2b og Haugen har potensiale til å forplante seg til større flaskred som når lenger ut også ved mindre bruddhøyder fra de høyereliggende løsneområdene (se simuleringen i Vedlegg F med 0.5 m).

Det er simulert sørpeskred fra Vannledningsdalen, som viser tilsvarende utbredelse som tidligere skred (1989 og 2012). Initieringsområde til sørpeskred ligger øverst i dalen i et område der helningen går fra nesten horisontal våtmark til ca. 20°. I tillegg blir snø- og jordmasser dratt med fra skredbanen i dalbunnen. Transport av jordmasser er hensyntatt i simuleringene ved høyere densitet enn i et rent sørpeskred, samt at friksjonsparameterne er justert litt ned i forhold til rent sørpeskred. Etter at skredvollen ble etablert ved Haugen, er erfaringen at sørpeskred ledes av vollen og truer bebyggelsen på motsatt side, noe som simuleringen også antyder.

Sukkertoppen er karakterisert av en stor, avrundet, åpen fjellside med en jevn bratt helning på 35°. Snø akkumuleres her ved østavind, og særlig i midtre/nedre deler av skråningen kan snøen bli liggende. Snøen fra høyereliggende deler av Sukkertoppen blir ofte blåst vekk på grunn av avrundet terrengform, og det vurderes mindre sannsynlig at større skred løsner i topp-partiet av fjellet. Skråningen ovenfor Spisshusene samler ofte mye vindtransportert snø, og her er det registrert hyppige skred med kortere utløp. Ved løsneområdet som er ca. 200 m bredt og relativt lavt, er det registrert bruddkanter som var 0.5-1.5 m høy (ref. Eckerstorfer, 2013). Til tross for relativt lav skåningshøyde, kan skred nå langt dersom det har blitt avsatt store mengder snø på relativt kort tid ved sterk østavind. Simuleringen ved Spisshusene med 1.5 m høy bruddkant har tilsvarende utbredelse som skredet i desember 2015, og er vurdert å tilsvare årlig nominell sannsynlighet på 1/100.

For området videre sørvestover i Lia byggefelt, kan det ved sterk vind og mye snø, dvs. ekstreme værforhold, akkumuleres tilstrekkelig snø i skråningen til at det potensielt blir skredfare.

6.3 Todalen

I området ved Todalen ligger det en hundegård samt den nedlagte Gruve 6. På den andre siden av dalen ligger det hytter.



Bilde 12. Viser skrånningen ved NVEs kartleggingsområde i Todalen ved hundegården nedenfor Gruve 6. Sett mot sørvest.

6.3.1 Topografi og grunnforhold

Todalen er en N-S orientert U-dal med en bred elveslette. Begge sidene av Todalen viser spor etter aktive skredprosesser. Flere av avsetningene (snø-, stein-, jord- og flomskred) overlapper eller ligger tett ved hverandre. Den vestvendte siden vurderes som noe mer aktiv enn den østvendte. Skredutløpet når ofte helt ned til elven, spesielt mot sør der dalen blir trangere.

6.3.2 Skredhendelser

Området ved hundegården ved Gruve 6: Det er ingen registrerte ferske skredhendelser mot det aktuelle kartleggingsområdet, som dekker et lite område rundt hundegården. Ved en av befaringene var det stor vannføring i elven som renner ut Todalen. Vannet oversvømte store deler av de flatliggende områdene på nordsiden av veien til Gruve 6.

6.3.3 Vurdering av skredfare

Området ved hundegården i Todalen er nær horisontalt og ligger i dalåpningen mellom Todalen og Adventdalen. Det er ca. 200 m fra kartleggingsområdet til foten av skrånningen, der helningen er større enn 10°. Det er ingen tegn på skredaktivitet, som har nådd ut på det nær horisontale området. På grunn av at terrenget er nesten flatt, lang avstand til skrånningen samt mangl på potensielle løsneområder som vender mot denne delen av dalen, vurderes det ikke sannsynlig at skred vil nå det aktuelle området.

Dersom det er ønskelig å utnytte området i større grad, må det tas hensyn til flomvassføring i Todalselva og dimensjoneres for dette. Erosjonssikring kan eventuelt være aktuelt.

6.4 Bolterdalen – Foxdalen (3 delområder)

Delområdene ved Bolterdalen-Foxdalen er i hovedsak hytteområder, men næringsliv knyttet til hundegårder. Kartleggingsområdene er begrenset til munningen av de to dalene, og inkluderer området mellom disse to dalene i den Ø-V orienterte Adventdalen. I denne rapporten vurderes skredfaren kun for tre mindre områder ved Bolterdalen.

6.4.1 Topografi og grunnforhold

Bolterdalen og Foxdalen er, i likhet med flere av de andre dalene, N-S orienterte U-daler med brede elvesletter. Landskapet er dominert av forvitringsmateriale med dype raviner, og flere aktive skredvifter. Fluviale erosjonsprosesser er dominerende både i de større ravinene og langs dalbunnene.

6.4.2 Skredhendelser

Veien mot Gruve 7 er lagt om etter gjentatte skredhendelser, som kuttet veien og adkomst opp til gruve 7. I desember 2005 forsvant om lag 200 m av vegrekverket i et større snøskred.



Figur 13. Dreneringsspor og mindre flomskred og utglidninger ved veien mot Gruve 7. Sett mot sørøst.

6.4.3 Vurdering av skredfare

Jord- og flomskred er den største skredproblematikken både i *Bolterdalen 1* og *2*. Det minste området, *Bolterdalen 3*, vurderes å ligge i sikker avstand fra brattere skråninger, slik at det ikke er vurdert skredfare mot dette området. Se vedlegg A.

Endret drenering i skråningen ved veien mot Gruve 7 kan delvis påvirke hundegården (Basecamp/Spitsbergen travel) som ligger ved foten på Gruve 7 fjellet/*Bolterdalen 2*. Flomproblematikk langs Bolterdalselva kan påvirke hyttene som står innenfor kartleggingsområdet *Bolterdalen 2*, men dette er ikke vurdert nærmere i denne rapporten.

Bolterdalen 1, (*Buzzas*) har høyere og brattere skråningsprofil enn de to andre kartleggingsdelområdene. Det er observert aktive jord- og flomskred i denne skråningen. Hyttene og hundegården ved *Bolterdalen 1* ligger imidlertid på en liten rygg/høyde i terrenget. Ryggen styrer skredmasser forbi hytten og ut i lavereliggende raviner. Ingen av de eksisterende hyttene vurderes å ligge innenfor årlig nominell sannsynlighet for skred på 1/100. Enkelte bygg befinner seg innenfor 1/1000. Se vedlegg A for faresoner.

6.4.4 Modellering i RAMMS samt kommentarer angående faresoner

Det ble modellert flomskred i RAMMS fra to aktive skredbaner der skred kan nå kartleggingsområdet fra skråningen sørvest for *Bolterdalen 1* (1.0 m løsnetykkelse). Resultatene viser at skred vil følge fordypningen i terrenget, og det er lite sannsynlig at skred vil gå oppover ryggen der bebyggelsen står. Flomskred er vurdert å være dimensjonerende skred her. Flomskred kan i enkelte tilfeller bli blandet med snømasser (ved snøsmelting eller regn). Det kan også initieres snøskred, dersom vind fra sør har avsatt snø i de øverste bratte (35-45°) delene av den nordvendte skråningen, som har nokså konkav profil helt fra toppen og ned (uten brattere bergparti på den høyeste delen slik det er i Longyearbyen). Vinden som blåser langs Adventdalen eroderer ofte skråningene som er nordvendt. De registrerte snøskredavsetningene stopper høyere opp enn jord- og flomskredavsetningene i denne delen av skråningen.

Ved *Bolterdalen 2* ble det simulert flomskred fra potensielle løsneområder med finkornete bløte masser nedenfor den gamle veien til Gruve 7, som ligger ovenfor hundegården (Basecamp). Simuleringene med 0.5 m løsnedybde viser at skred kan gå over nedre deler av veien og treffe hundegården, men skred vil miste en del god del av energien allerede når det treffer veien. Eventuelle større utløsningsvolumer kan ha større energi. Det er observert mye erosjon og problemer med vannføring i denne delen av skråningen.



Figur 14. Ferske spor av vannerosjon ved hundegården ved «Bolterdalen 2». Sett mot vest.

7 Referanser

Et utvalg av personer og lokalbefolkning som har bidratt med nyttig informasjon til rapporten:

Antonsen Gunnhild; På Svalbard siden 1987, hytte på Vindodden.

Brekken Atle; På Svalbard siden 1975, bor og har hytte i Bjørndalen. Arbeidet for SSD, Teknisk avd.

Christiansen Hanne; Avdelingsleder for Geologiavdelingen på UNIS, Spesialkompetanse på Permafrost. Bor på Svalbard siden 2002.

Eckerstorfer Markus; Forsker på Norut, har doktorgrad fra Svalbard om snøskred, 2013. Bodd og arbeidet 5 år på Svalbard. Bidratt også muntlig med faglige diskusjoner og egne erfaringer, sep. 2016.

Hekne Geir; Bor på Svalbard siden 1971, lang erfaring fra redningsarbeid på Svalbard, hytte på Reveneset.

Hågenslie Jørgen; Bor på Svalbard siden 1999. Har i lengre perioder ledet Røde Kors hjelpekorps på Svalbard og hatt ansvar for beredskap på områder som skred. Har også jobbet for UNIS i en periode.

Jusnes Karin; Bodde på Svalbard og i Spisshusene ca. 1982-2009

Onarheim Stig; Født 1968, oppvokst på Svalbard, har hytte på Vindodden, i dag helikopterpilot på Svalbard.

Kristoffersen Arne; Bor på Svalbard siden 1980, lang felt erfaring, hatt hytte både på Hjorthamn og Vindodden.

Larsen Jan-Otto; Tidligere avdelingsleder for Teknologiavdelingen på UNIS. Har undervist der fra 2005 til 2016 og bodd fast på Svalbard i 8 år. Har hatt forskjellige oppgaver på Svalbard siden 1966 for Norsk Polarinstitutt, Svalbard Samfunnsdrift og Lokalstyret, Norsk Hydro og Spitsbergen Kullkompani AS i tillegg til UNIS. Sakkyndig på området Skred og Skredsikring.

Nettsider:

| | |
|---|--|
| http://www.skred-svalbard.no/avl_list.php | Cryoslope Svalbard, den 20.09.2016 |
| http://svalbardkartet.npolar.no | Berggrunnskart over Svalbard, sept. 2016 |
| http://www.npolar.no/no/arktis/svalbard/ | sept. 2016 |
| http://www.varsom.no/ | sept. 2016 |
| http://www.yr.no/stad/Noreg/Svalbard/Svalbard_lufthavn/statistikk.html | sept. 2016 |
| http://publikasjoner.nve.no/veileder/2014/veileder2014_08.pdf | sept. 2016 |
| https://www.dibk.no/no/byggeregler/tek/2/7/7-3/ | sept. 2016 |
| http://www.eposters.net/pdfs/the-glacial-history-of-the-svalbard-archipelago-from-late-vistulian-to-the-present-time-in-late.pdf | |
| http://www.tspnorway.com/ | sept. 2016 |
| http://geo.ngu.no/kart/permafrost_svalbard/ | okt. 2016 |
| https://www.rocscience.com/help/rocfall/webhelp/RocFall.htm | okt. 2016 |

Litteratur:

ACIA, 2005; "Arctic Climate Impact Assessment." Cambridge University Press (<http://www.apmap.no/acia/>)

Dallman Winfried K. m.fl. 2015; Geoscience Atlas of Svalbard

Christiansen H. m.fl., Report on the 14-15 October 2016 mass movement event in the Longyearbyen area, UNIS Oct. 2016.

Eckerstorfer, M. 2013; Snow avalanches in central Svalbard: A field study of meteorological and topographical triggering factors and geomorphological significance. Ph.D. thesis, UNIS/Oslo universitet.

Eckerstorfer, M. and Christiansen, H. H., 2011; The “high Arctic maritime snow climate” in central Svalbard. *Arctic, Antarctic, and Alpine Research* 43:1: 11-21.

Eckerstorfer. M., m.fl. 2013; The geomorphological effect of cornice fall avalanches in the Longyeardalen valley, Svalbard.

Eckerstorfer Markus m.fl. 2009; Avalanches and snow mobile traffic around Longyearbyen, Svalbard.

Førland, E. J., Benestad, R., Hanssen-Bauer, I., Haugen, J. E. & Skaugen, T. E., 2011; Temperature and precipitation development at Svalbard 1900–2100. *Advances in Meteorology* 2011 (2012).

Hansen-Bauer, I., Kristensen Solås, M., & Steffensen, E.L., 1990; The climate of Spitsbergen. *Det norske meteorologiske institutt, rapport nr. 39/90*.

Isaksen, K., Nordli, Ø., Førland, E. J., Lupikasza, E., Eastwood, S. & Niedzwiedz, T., 2016; “Recent warming on Spitsbergen – Influence of atmospheric circulation and sea ice cover.” *Journal of Geophysical Research: Atmospheres*.

Larsson, S. (1982). Geomorphological effects on the slopes of Longyear valley, Spitsbergen, after a heavy rainstorm in July 1972. *Geogr. Ann.* 64 A: 105-125

Lied og Bakkehøi, 1980; Empirical calculations of snow avalanche runout distance based on topographical parameters. *Journal of Glaciology, Vol 26 (94)*

Piepjohn Karsten m.fl. 2012; Longyearbyens geologi

Vikhamar-Schuler, Eirik J. Førland og Hege Hisda, 2016; Kort oversikt over klimaendringer og konsekvenser på Svalbard NCCS report no. 2/2016

Rubensdotter Lena m.fl. 2015; Landskapsformer og løsmasser Bjørndalen-Vestpynten, Svalbard

Rubensdotter L. & Hermanns R., 2011; NGU, notat, Bekymringsmelding om to potensielt ustabile fjellparti i Longyeardalen oppdaget ved kvartærgeologisk kartlegging.

Cryoslope project 2007-2009, kart produsert i forbindelse med prosjektet. Landforms and sediments in Todalen and upper Gangdalen and Bødalen.

Serreze, M. C., Crawford, A. D. & Barrett, A. P., 2015; Extreme daily precipitation events at Spitsbergen, an Arctic Island. *International Journal of Climatology*, 35: 4574–4588

Direktoratet for samfunnssikkerhet og beredskap (DSB) 2016, Skredulykken i Longyearbyen 19. desember 2015.

NVEs veileder 8-2014: Sikkerhet mot skred i bratt terrenget. Kartlegging av skredfare i arealplanlegging og byggesak.

NVEs veileder: Kartlegging og vurdering av skredfare i Arealplaner, Vedlegg 2 til NVEs retningslinjer: Flom- og skredfare i arealplaner, 2011.

NVEs retningslinjer 2.2011: Flom- og skredfare i arealplanar

TEK 10, Teknisk forskrift, Veileddning om tekniske krav til byggverk, kap.7 Sikkerhet mot naturpåkjenninger, september 2016.

Statens vegvesen, Håndbok V139 2014, Flom- og sørpeskred.

RAMMS – A numerical model for snow avalanches in research and practice, User Manual v1.5 Avalanche, WSL Institute for Snow and Avalanche Research SLF (2013)

RAMMS – Avalanche 1.4, Friction Parameters, SLF (2011)

RocFall version 5.0-fra Rocscience. <https://www.rocscience.com>, 2016

Tidligere rapporter:

Lackinger Bernhard og Mook Reinhard, 2013; Skredfaglig ekspertuttalelse, selskapslokale på Sverdrupbyen Spitsbergen.

Norges Geotekniske Institutt(NGI), 2015; 20120650-01-R, Vannledningsdalen, Longyearbyen

Rambøll, 2015; G-rap-001, Skredvurdering Longyearbyen havn del II.

NGI, 2015; 0150715-01-TN, Tidligere skredvurderinger og skredgrenser ved NGI

NGI, 2012; 20120153-00-2-R, Vannledningsdalen – Et sammendrag av tidligere vurderinger av sikkerhet og tiltak.

NGI,2012; 20120323-00-1-R, Vannledningsdalen, Longyearbyen. Sikring av bebyggelse og infrastruktur mot sørpeskred. Oppsummering etter møter og befaring 18.20.04.2012.

NGI,2008; 20081311-1, Burmavegen Vurdering av skredfare

Barlindhaug Consult og NGI, 2007; Potensiale for utbygging i området Vannledningsdalen-Gruvedalen, Longyearbyen.

NGI, 2003; 20031134-1, Nybyen, Longyearbyen Skredfarevurdering.

NGI, 2001; 20011167-1, Vannledningsdalen-Gruvedalen, Longyearbyen.

NGI, 2000; 20001324 TN, 2000.12.21 Skredfaren ved aktuelle fortettingstomter i Lia.

NGI, 2000; 20001324 TN, 2000.12.22 Skredfargrense Lia-Gruvedalen ovafor Veg 230.

NGI, 1996; 954103-1, Barnehage, Longyearbyen. Vurdering av skredfaren mot aktuelle tomter for ny barnehage ved kirka.

NGI, 1992; 914030-1, Vedlegg 4. Vedr. Skredfarevurdering av planområdet. Brev datert 28 juni 1991 og 24 april 1992.

NGI, 1994; Vei 217-221, Longyearbyen. Skredfarevurdering av planlagt utbyggingsområde.

NGI, 1993; 914030-2, Vedlegg 3. Påregnelige maksimale nedbørmengder i Longyearbyen og på Svalbard Lufthavn.

NGI, 1993; 934063-1, Haugen-Nybyen, Longyearbyen Skredfarevurdering av mulig byggeområde

NGI, 1992; 924004-1, Longyearbyen – Gruvedalen. Skredfarevurdering av planlagt utbyggingsområde.

Vedlegg A

Faresonekart

Tre faresoner er tegnet inn:

- Skredutbredelse med årlig nominell sannsynlighet 1/100
- Skredutbredelse med årlig nominell sannsynlighet 1/1000
- Skredutbredelse med årlig nominell sannsynlighet 1/5000

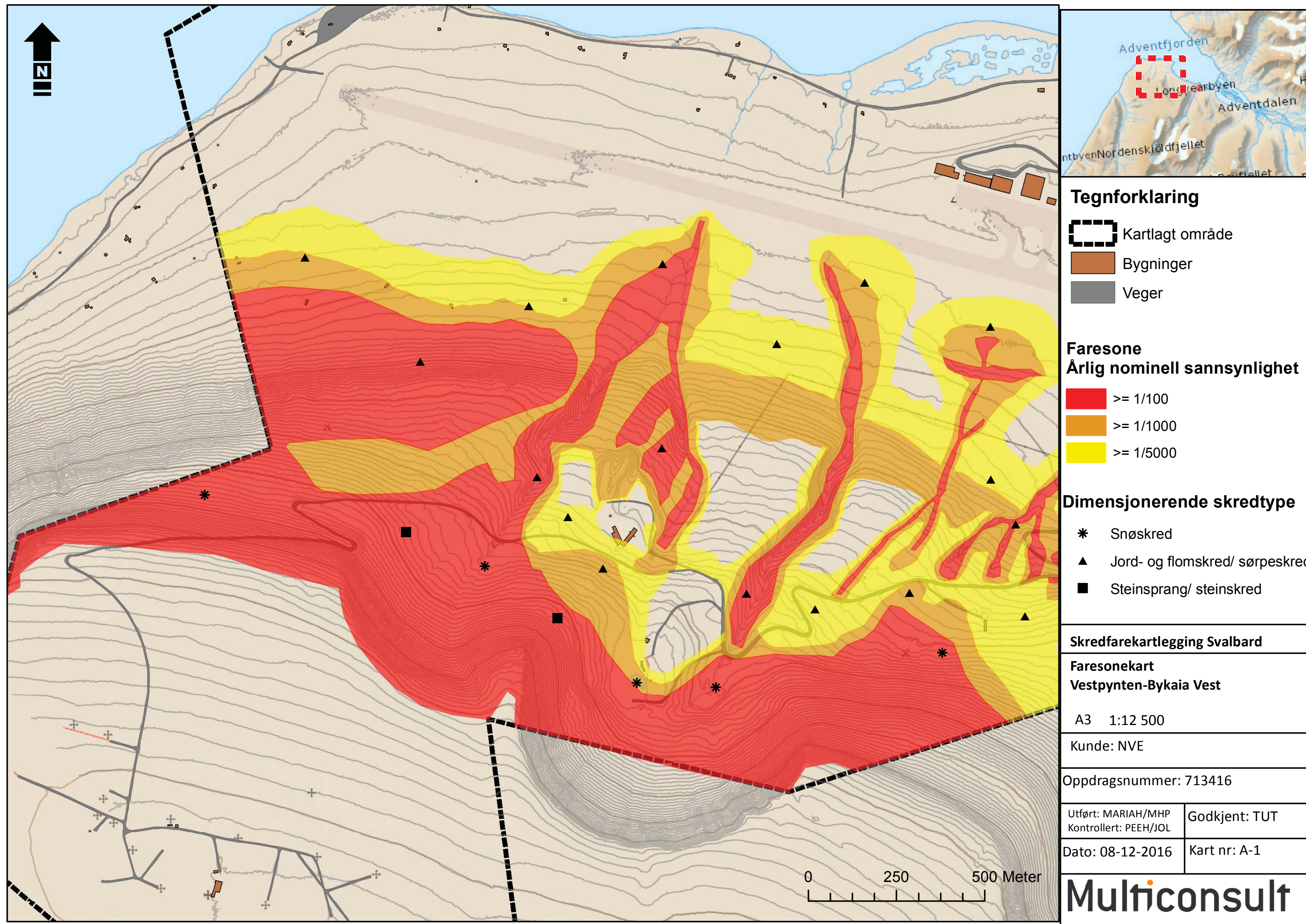
Dimensjonerende skredtype er avmerket. Skredtypene stein-, snø-, sørpe-, jord- og flomskred (fra bratt terreng) er vurdert.

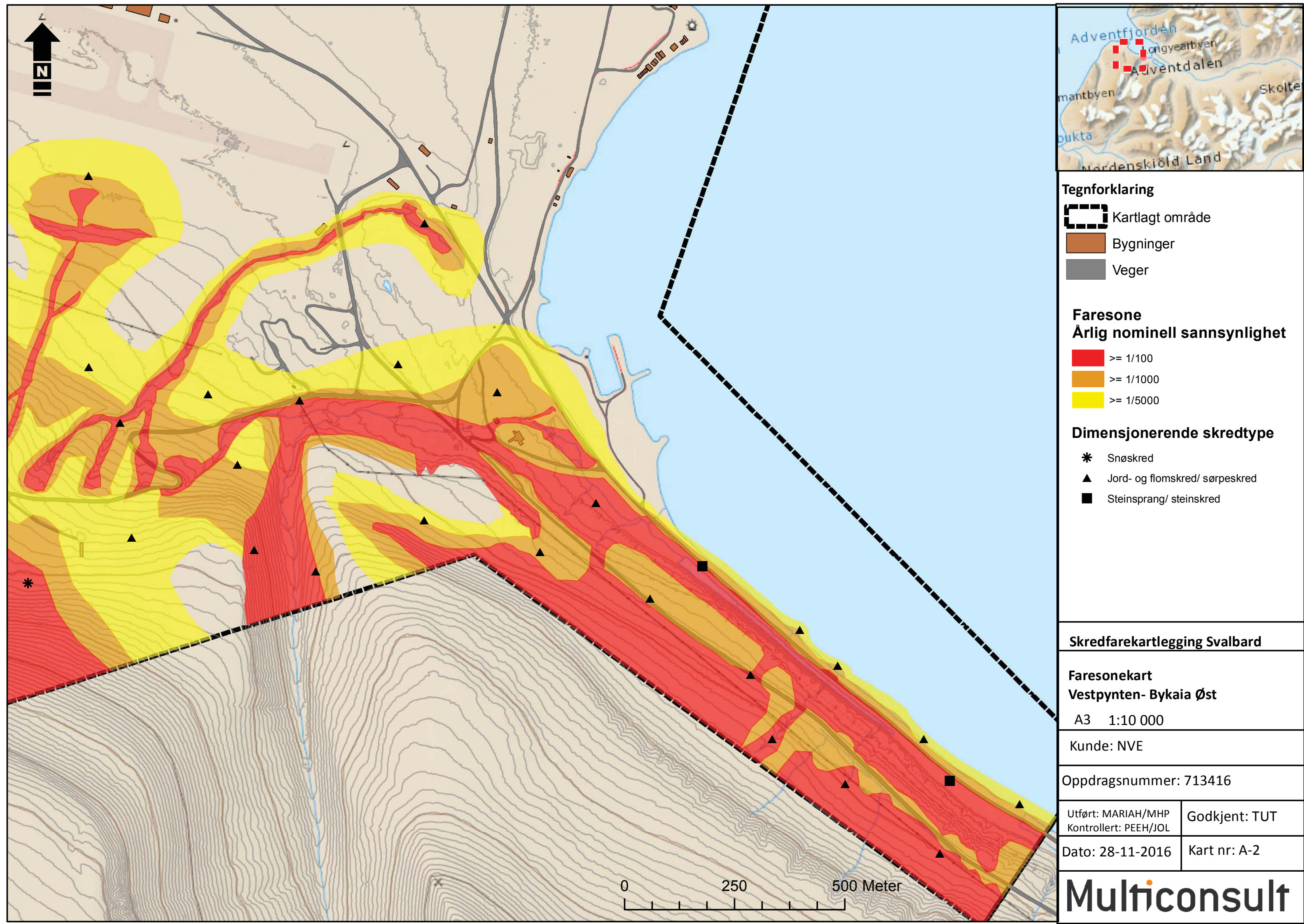
Faresonekart

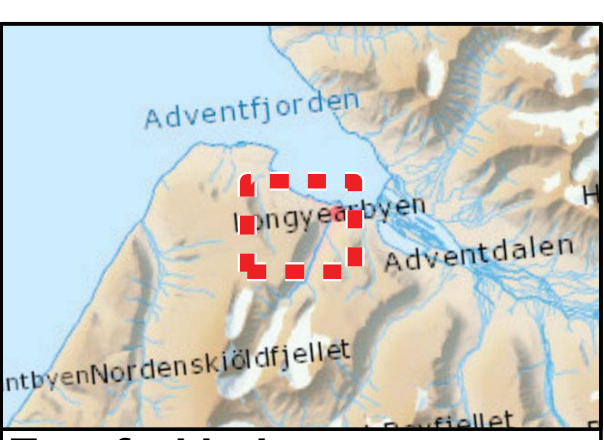
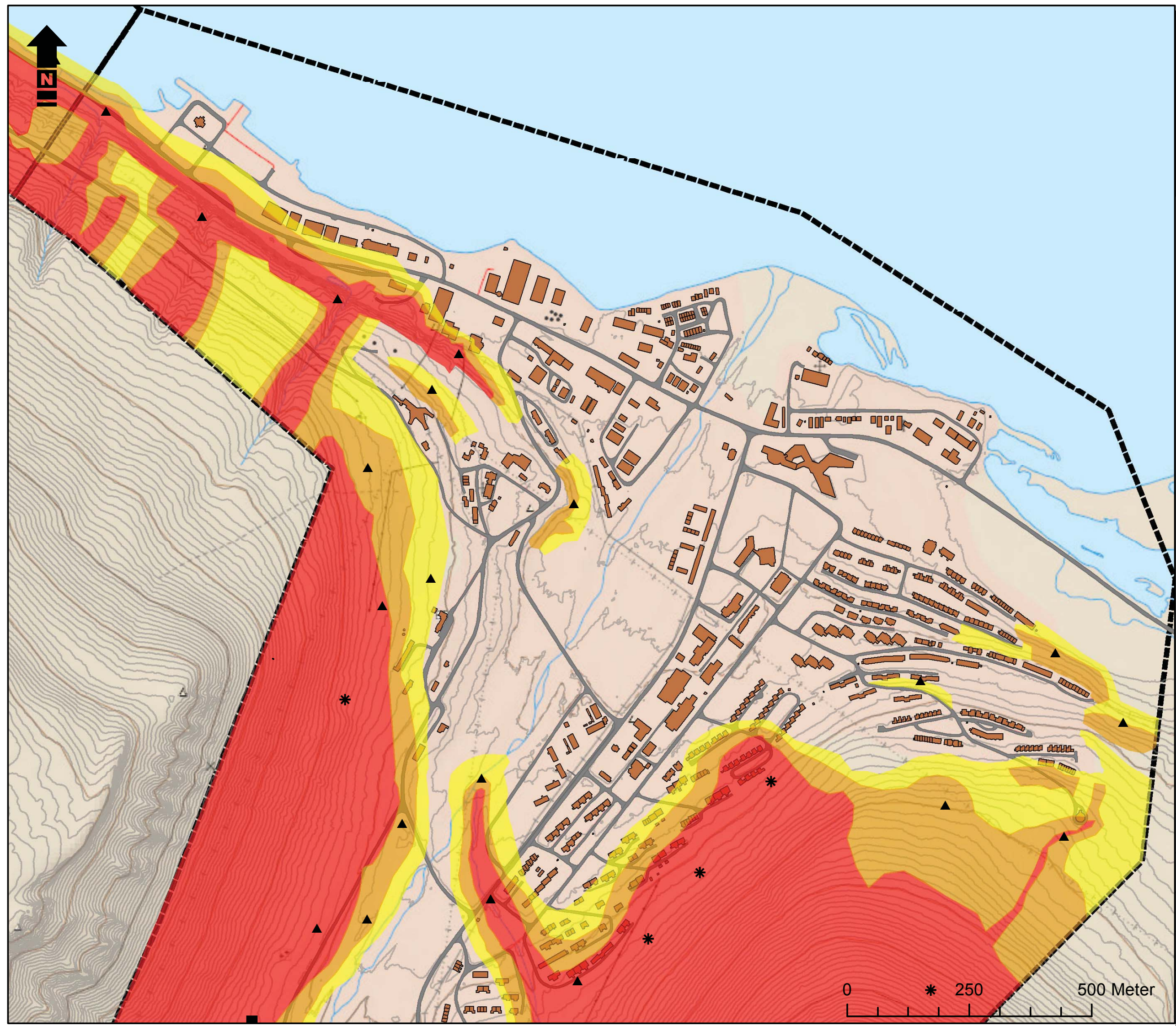
Områdene er delt opp i flere kart for å mest mulig oversiktlig vise de aktuelle faresonene for områdene. Kartene er utarbeidet med detaljeringsgrad 1:5000 eller bedre, men her i skala 1:12 500 og 1:10 000.

Faresonekarten leveres også digitalt i shape/sosi-format til NVE.

- A-1 Vestpynten- Bykaia Vest
- A-2 Vestpynten- Bykaia Øst
- A-3 Longyearbyen Nord
- A-4 Longyearbyen Sør
- A-5 Delområder Todalen, Bolterdalen 1, 2 og 3







Tegnforklaring

- Kartlagte områder (Dashed black line)
- Bygninger (Brown)
- Veger (Grey)

Faresone

Årlig nominell sannsynlighet

- $\geq 1/100$
- $\geq 1/1000$
- $\geq 1/5000$

Dimensjonerende skredtype

- * Snøskred
- ▲ Jord- og flomskred/ sørpeskred
- Steinsprang/ steinskred

Skredfarekartlegging Svalbard

Faresonekart Longyearbyen Nord

A3 1:10 000

Kunde: NVE

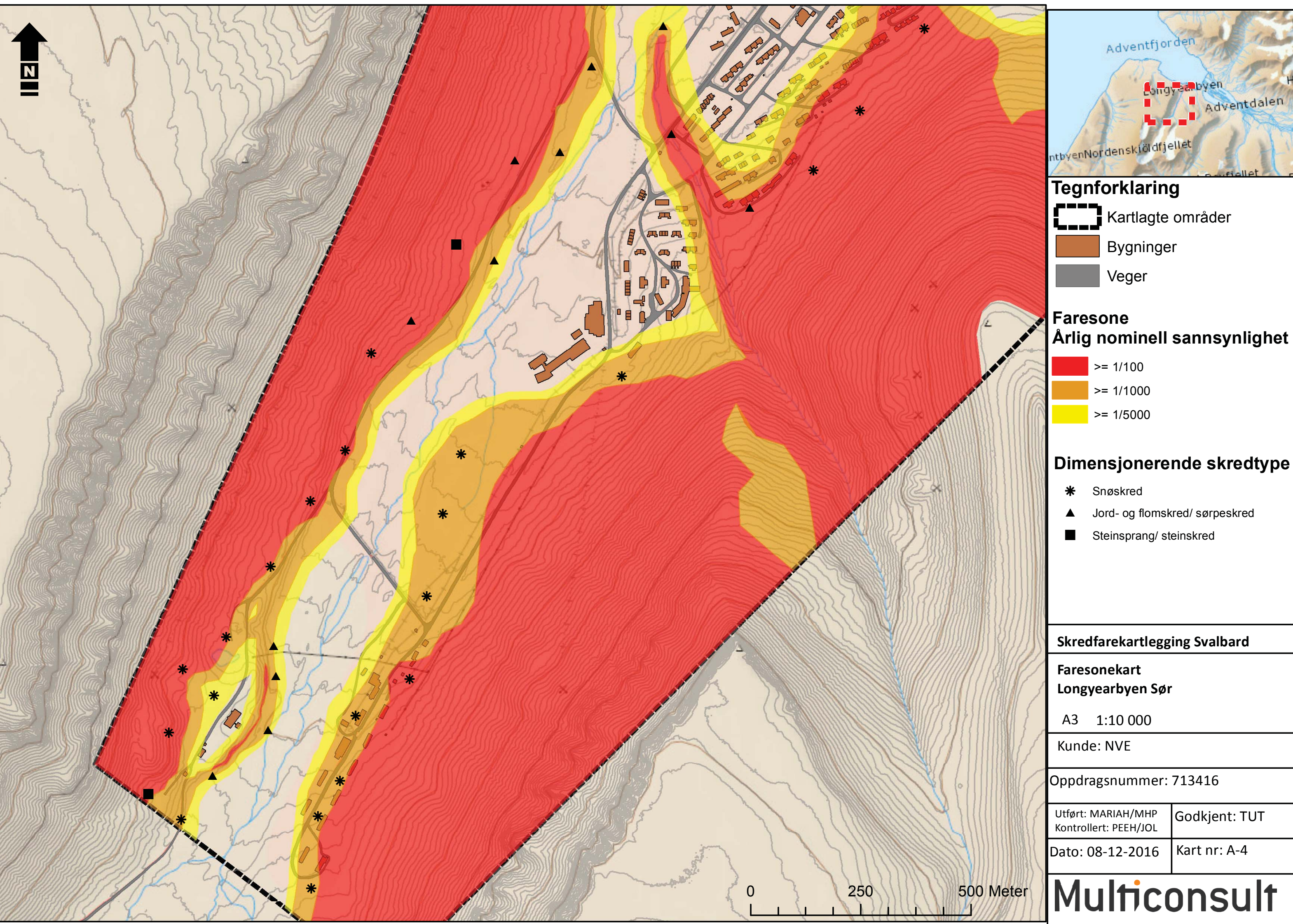
Oppdragsnummer: 713416

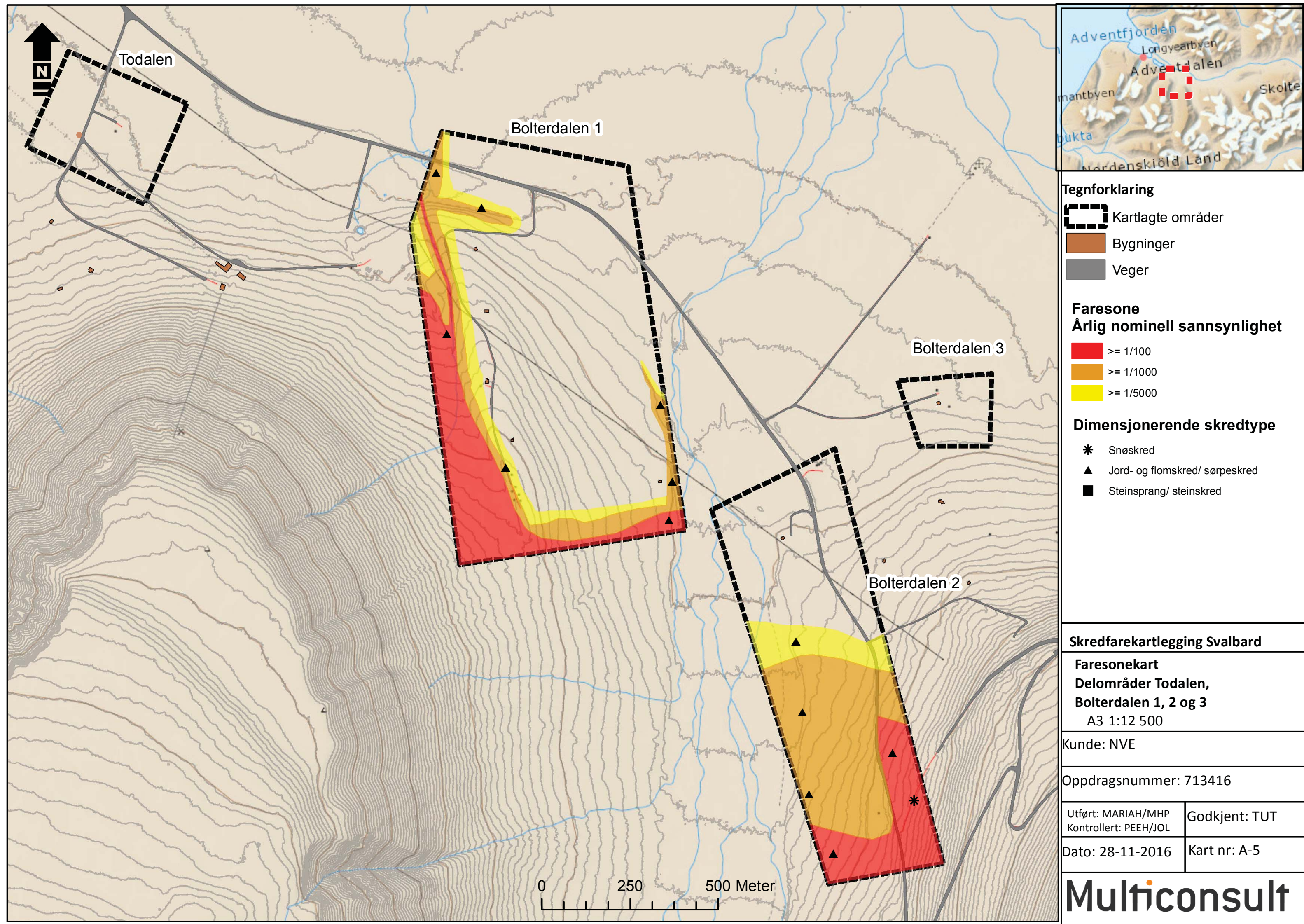
Utført: MARIAH/MHP
Kontrollert: PEEH/JOL

Godkjent: TUT

Dato: 08-12-2016 Kart nr: A-3

Multiconsult





Vedlegg B

Registreringskart

Registreringskartene viser bl.a. landformer og avsetninger som har betydning for vurdering av skredfarene.

Kartene er bl.a. laget på følgende grunnlag:

- Observasjoner/registreringer gjort under befaringer
- Flyfoto- og bildestudier
- Kart fra NGUs pågående og tidligere kartlegging på Svalbard, GEO refererte tiff.filer
- Terrengmodeller

Kartene viser:

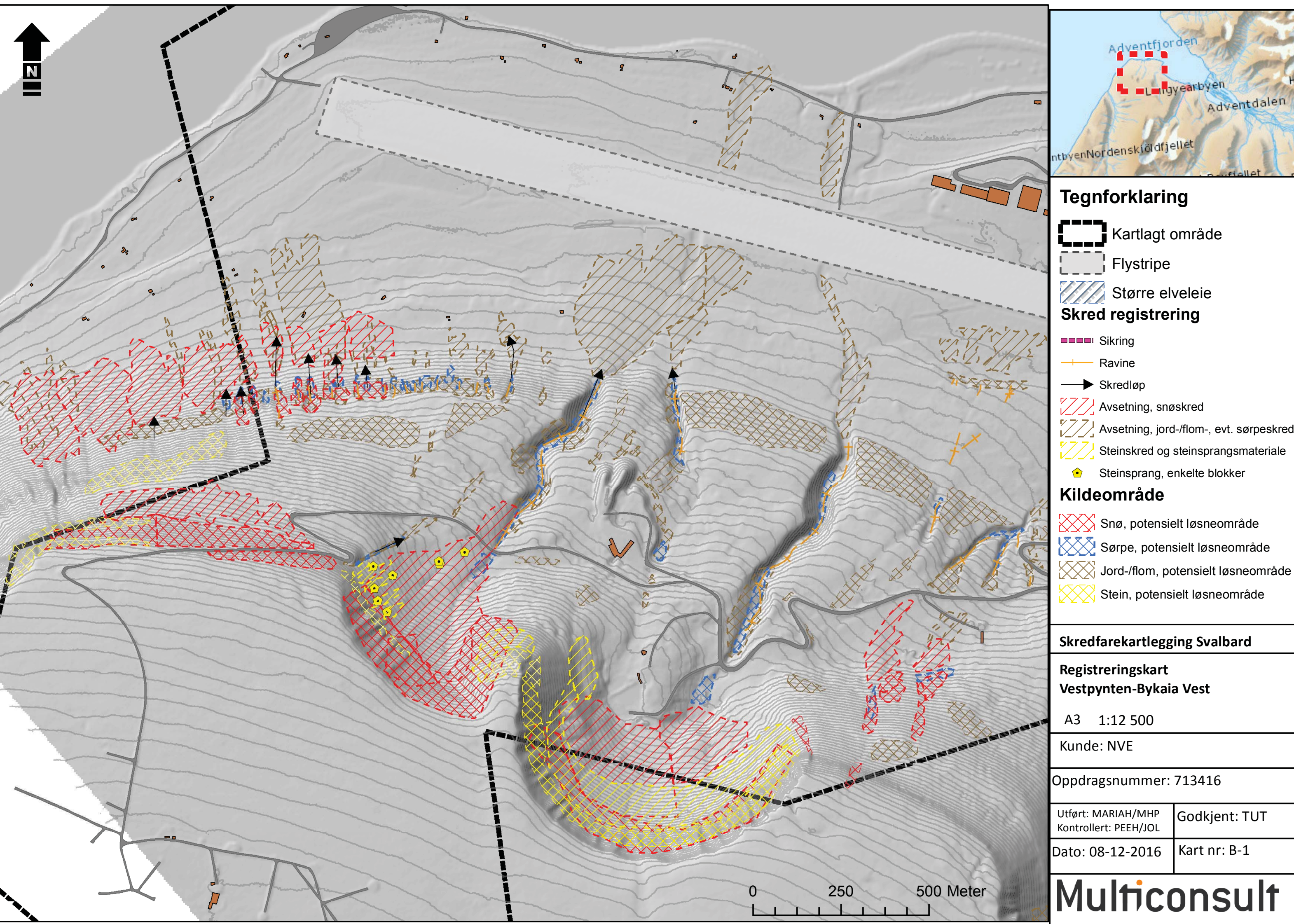
Skredregistrering- Observasjoner av betydning som kan knyttes til skred og skredprosesser.

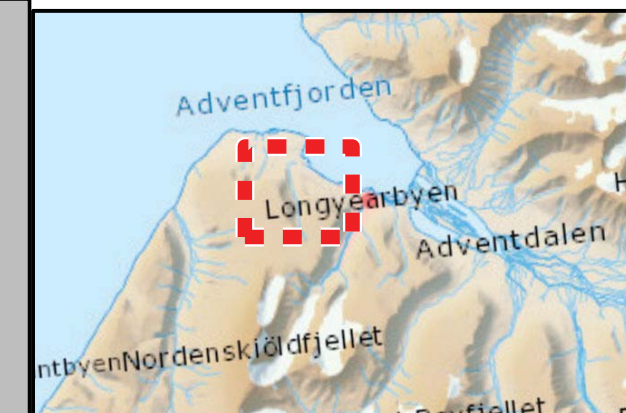
Kildeområde- Hovedkildeområder/ potensielle løsneområder for skred.

Registreringskart

De ulike områdene er delt opp i flere kart å viser hovedtrekkene på elementer som kan ha betydning for vurderinger av skredfarene best mulig. Kartene er detaljerte registreringskart dvs. laget med 1:5000 nøyaktighet el. bedre, men framvises her i en skala 1:12 500, 1:15 000 og 1:10 000.

- B-1 Vestpynten- Bykaia Vest
- B-2 Vestpynten- Bykaia Øst
- B-3 Vestpynten- Bykaia Sør (Blomsterdalen)
- B-4 Longyearbyen Nord
- B-5 Longyearbyen Sør
- B-6 Delområder Todalen, Bolterdalen 1, 2 og 3





Tegnforklaring

Kartlagt område

Flystripe

Større elveleie

Skred registrering

Sikring

Ravine

Skredløp

Avsetning, snøskred

Avsetning, jord-/flom-, evt. sørpeskred

Steinskred og steinsprangsmateriale

Steinsprang, enkelte blokker

Kildeområde

Snø, potensielt løsneområde

Sørpe, potensielt løsneområde

Jord-/flom, potensielt løsneområde

Stein, potensielt løsneområde

Skredfarekartlegging Svalbard

Registreringskart
Vestpynten-Bykaia Øst

A3 1:12 500

Kunde: NVE

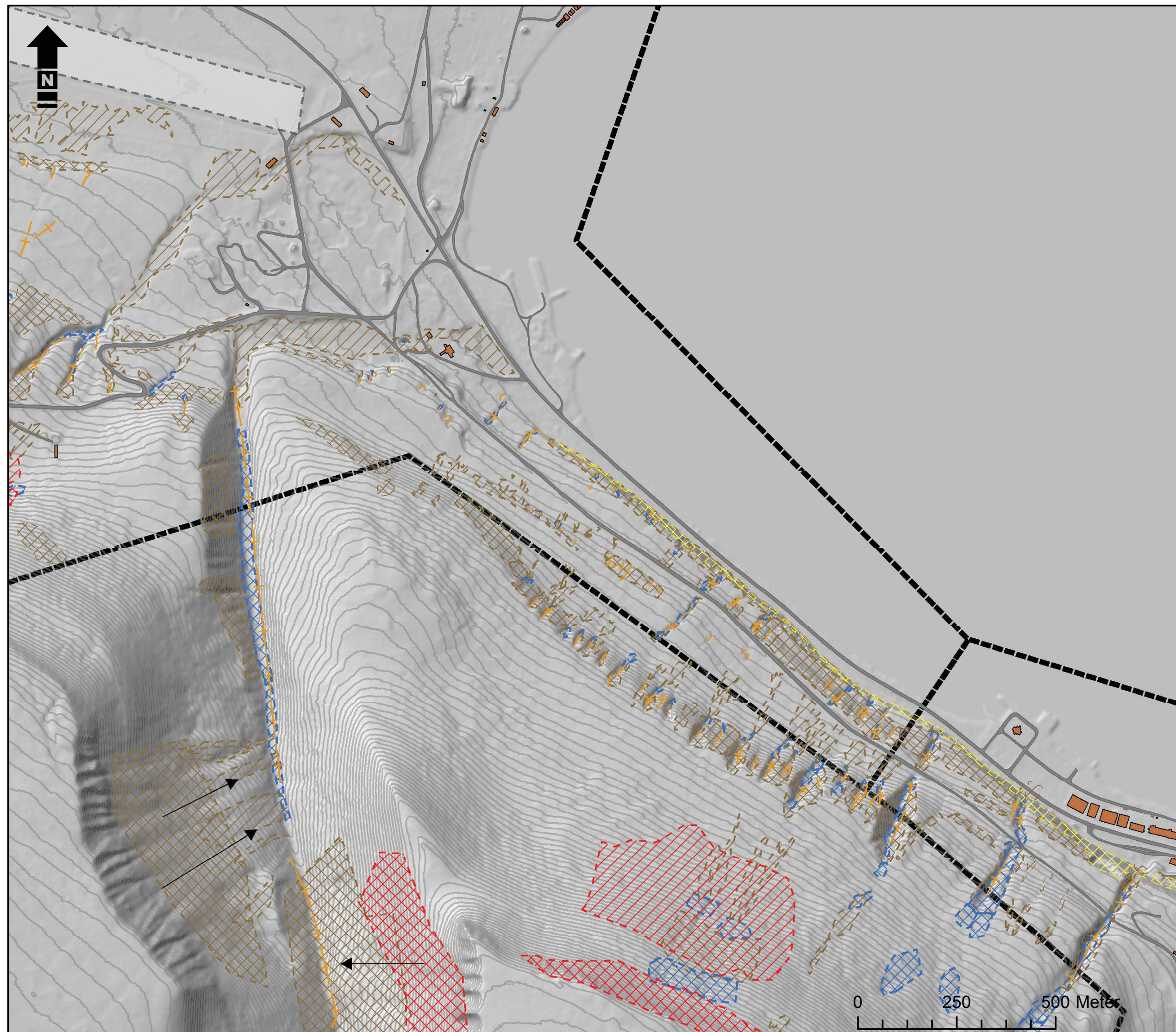
Oppdragsnummer: 713416

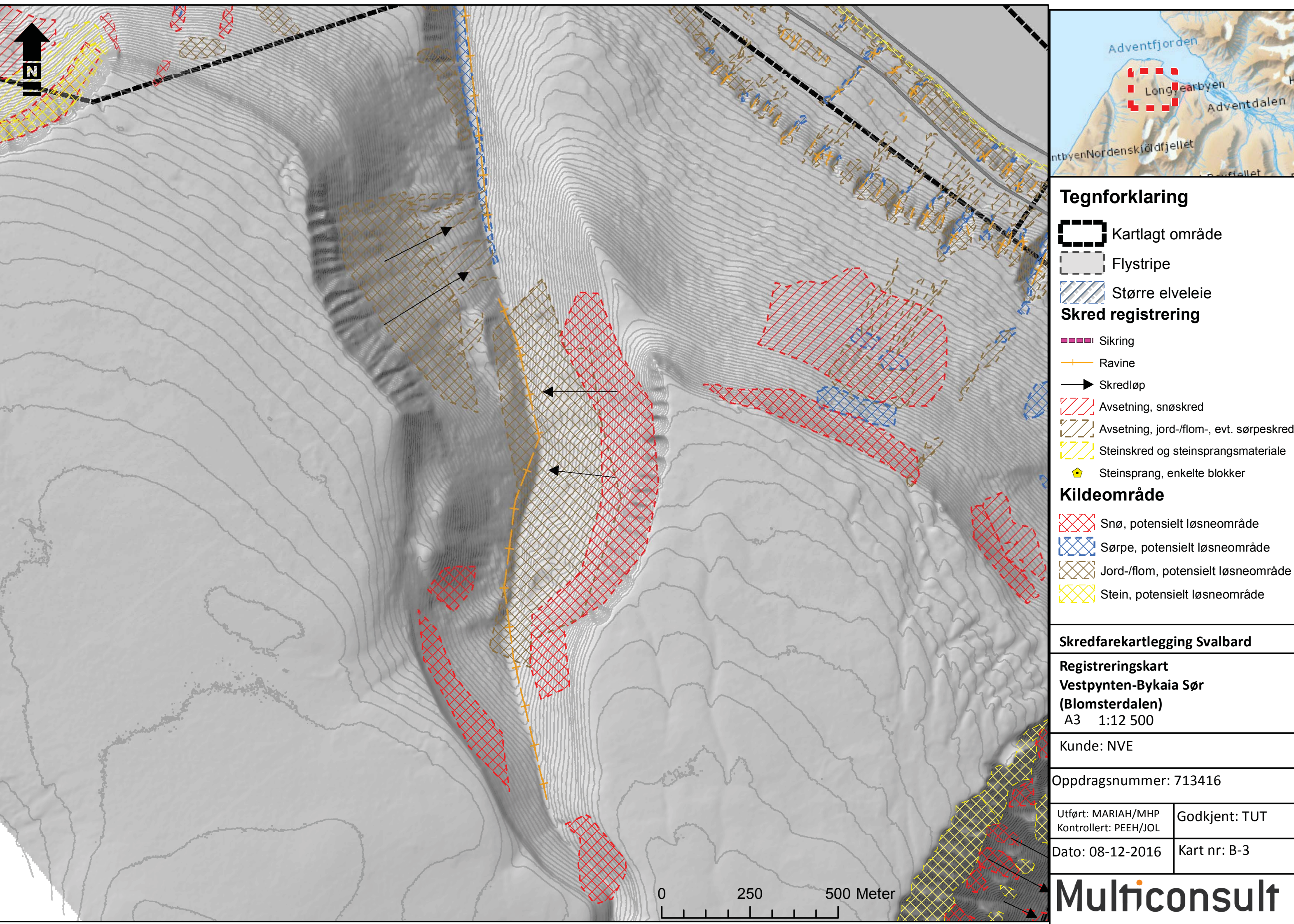
Utført: MARIAH/MHP
Kontrollert: PEEH/JOL

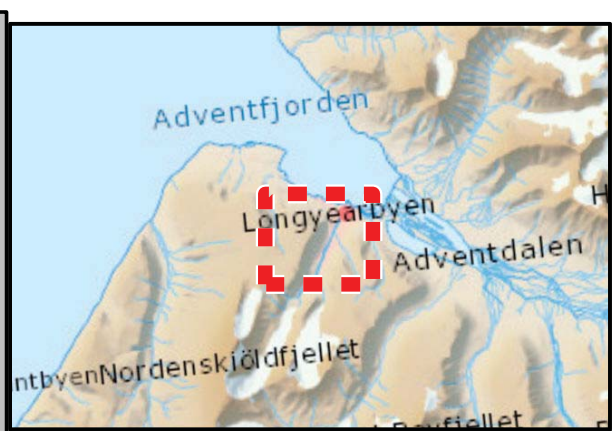
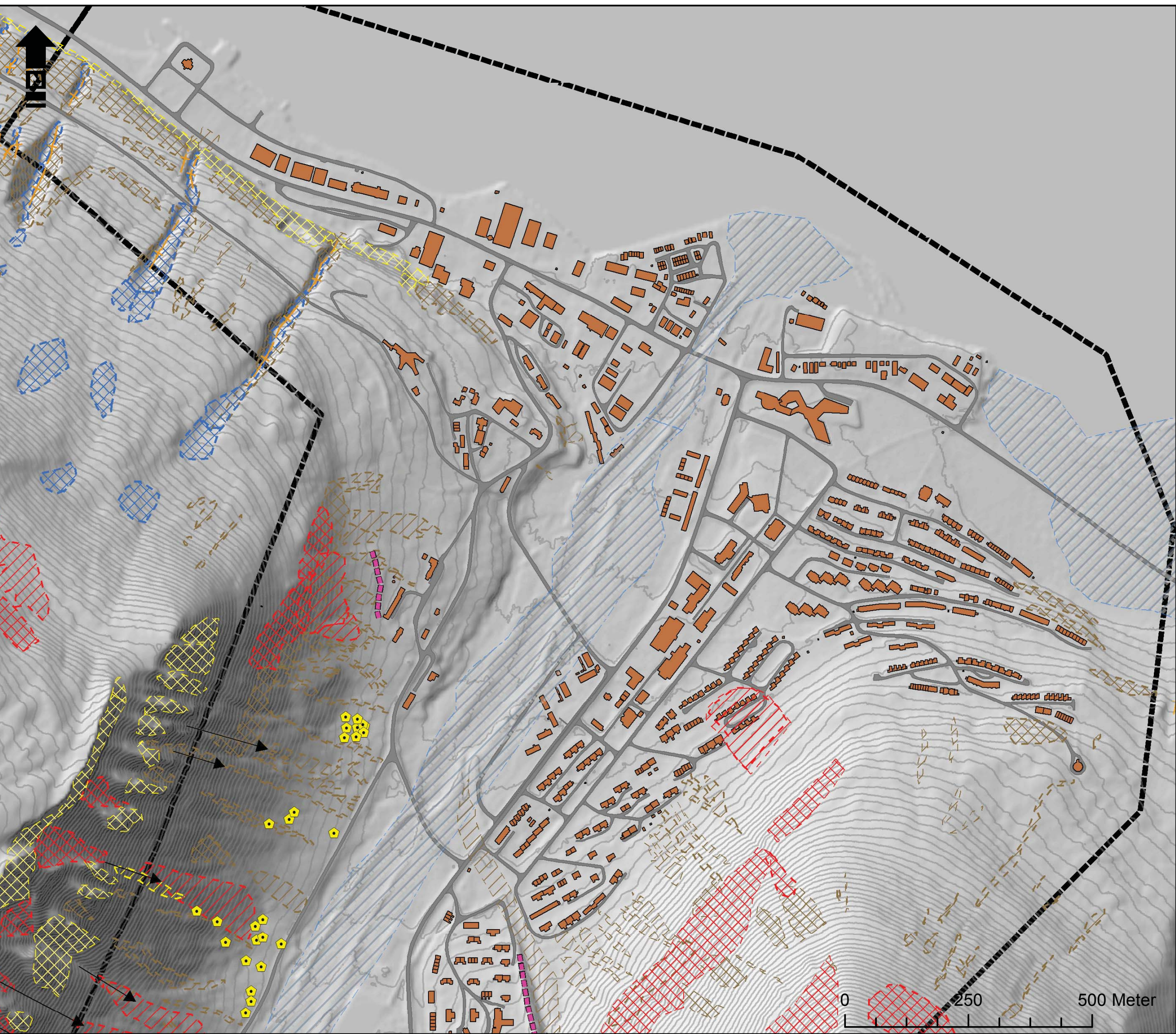
Godkjent: TUT

Dato: 08-12-2016 Kart nr: B-2

Multiconsult







Tegnforklaring

Kartlagt område

Større elveleie

Skred registrering

Sikring

Ravine

Skredløp

Avsetning, snøskred

Avsetning, jord-/flom-, evt. sørpeskred

Steinskred og steinsprangsmateriale

Steinsprang, enkelte blokker

Kildeområde

Snø, potensielt løsneområde

Sørpe, potensielt løsneområde

Jord-/flom, potensielt løsneområde

Stein, potensielt løsneområde

Skredfarekartlegging Svalbard

Registreringskart
Longyearbyen Nord

A3 1:10 000

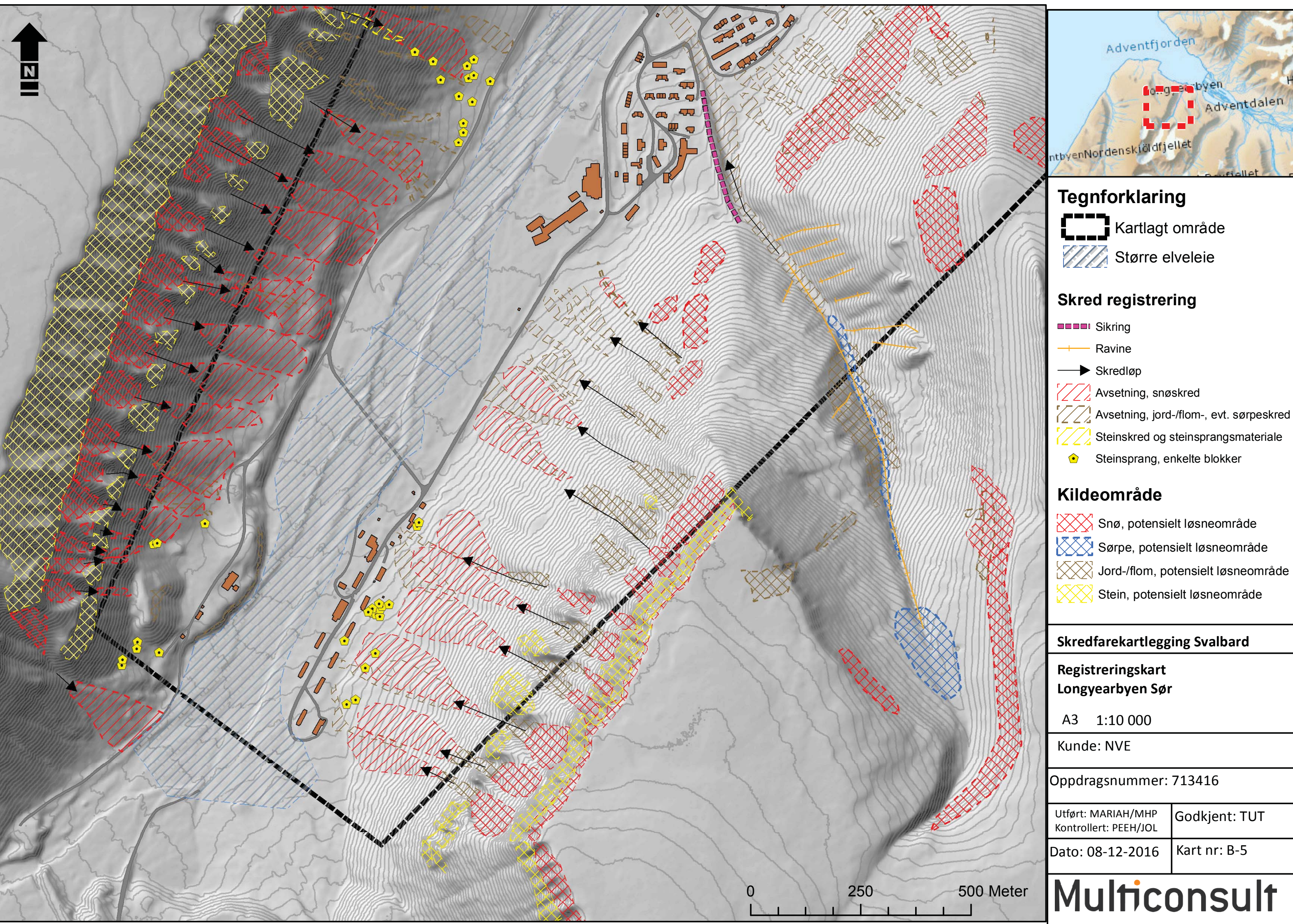
Kunde: NVE

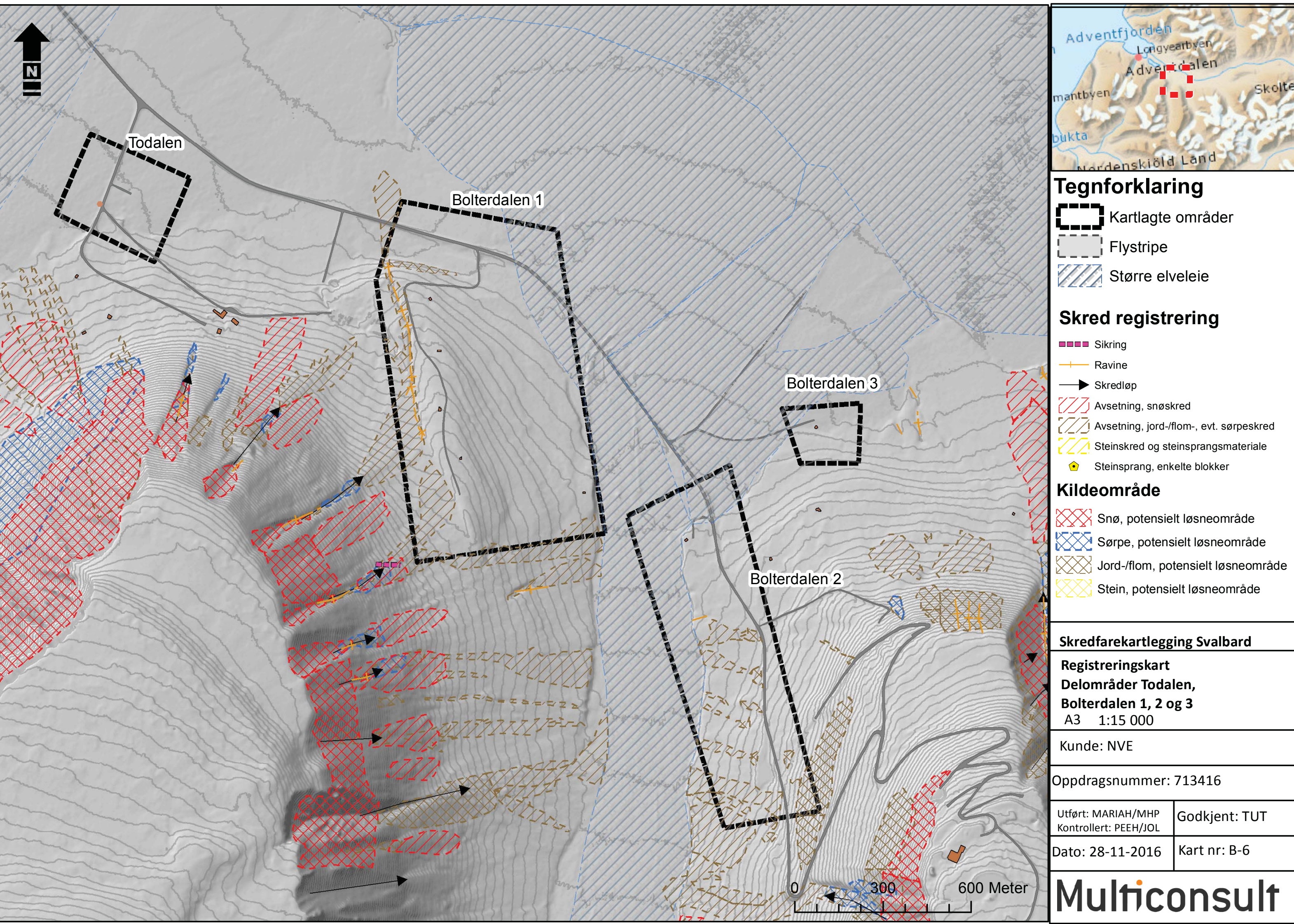
Oppdragsnummer: 713416

Utført: MARIAH/MHP
Kontrollert: PEEH/JOL

Dato: 08-12-2016 Kart nr: B-4

Multiconsult





Vedlegg C

Helningskart, gps logg- befaringsruter og registreringspunkter ved befaring

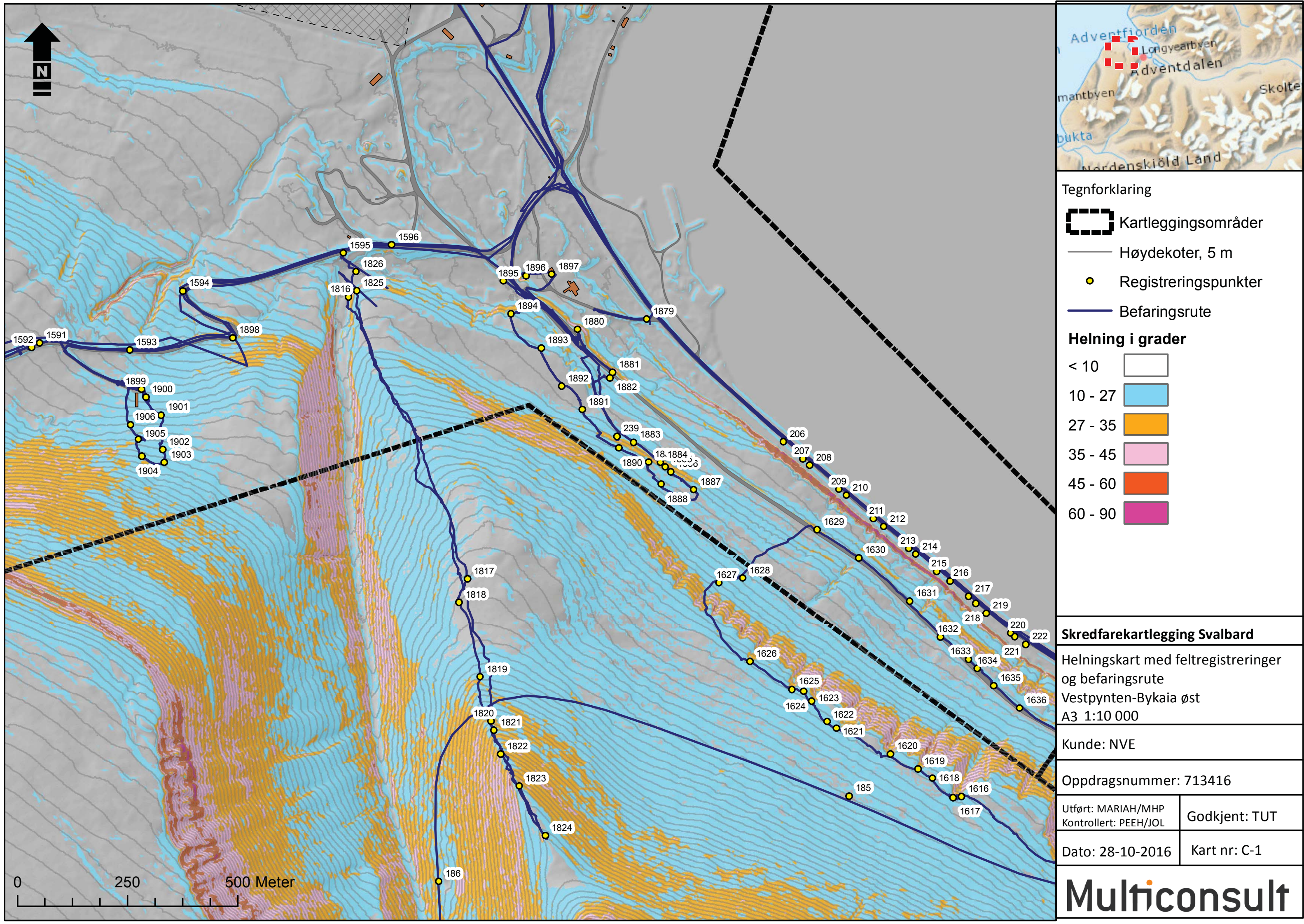
Helningskart viser helning i grader. Karten er laget fra digitale terrengmodeller.

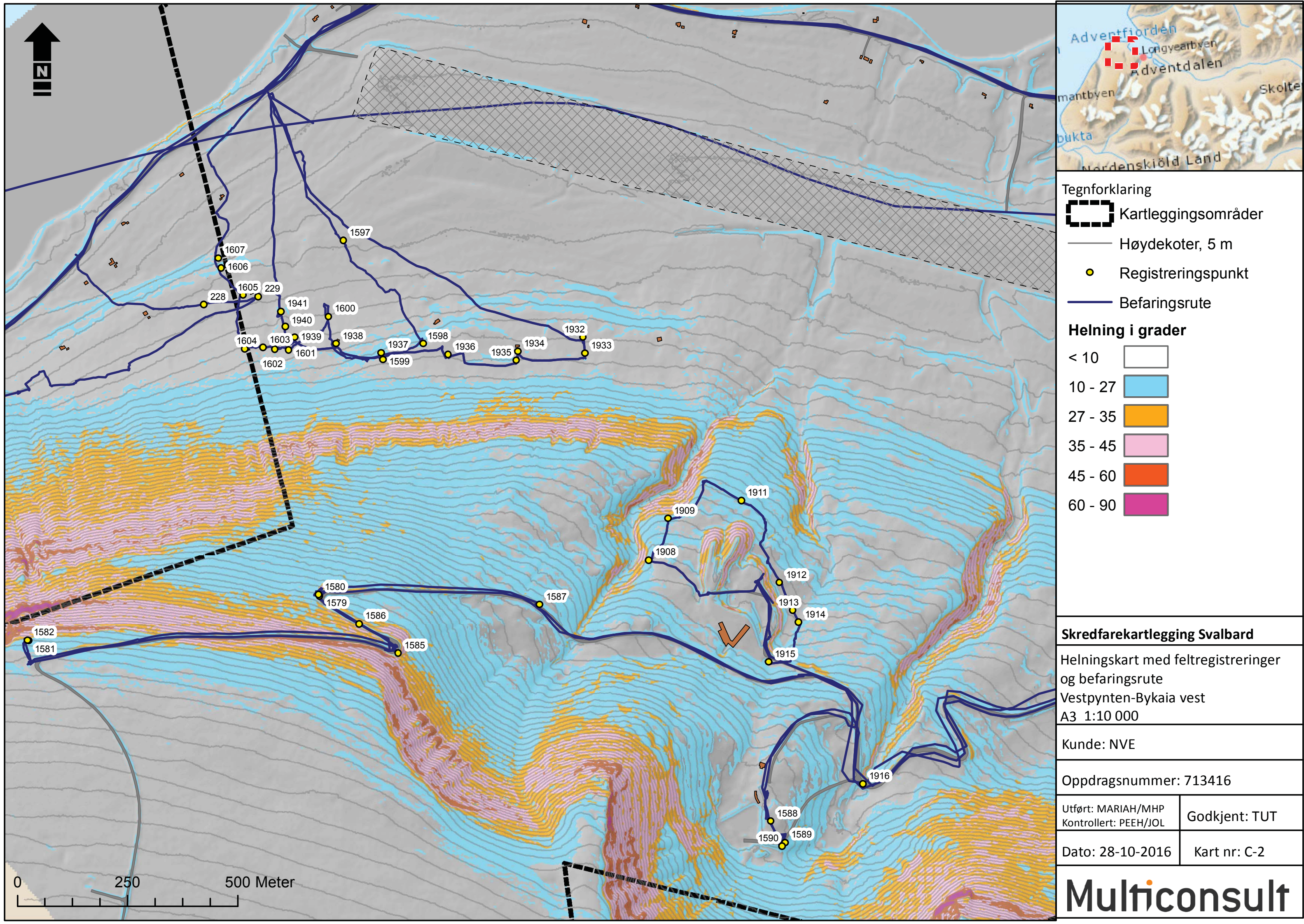
Karten er et viktig hjelpemiddel i vurdering av kildeområder for ulike skredtyper.

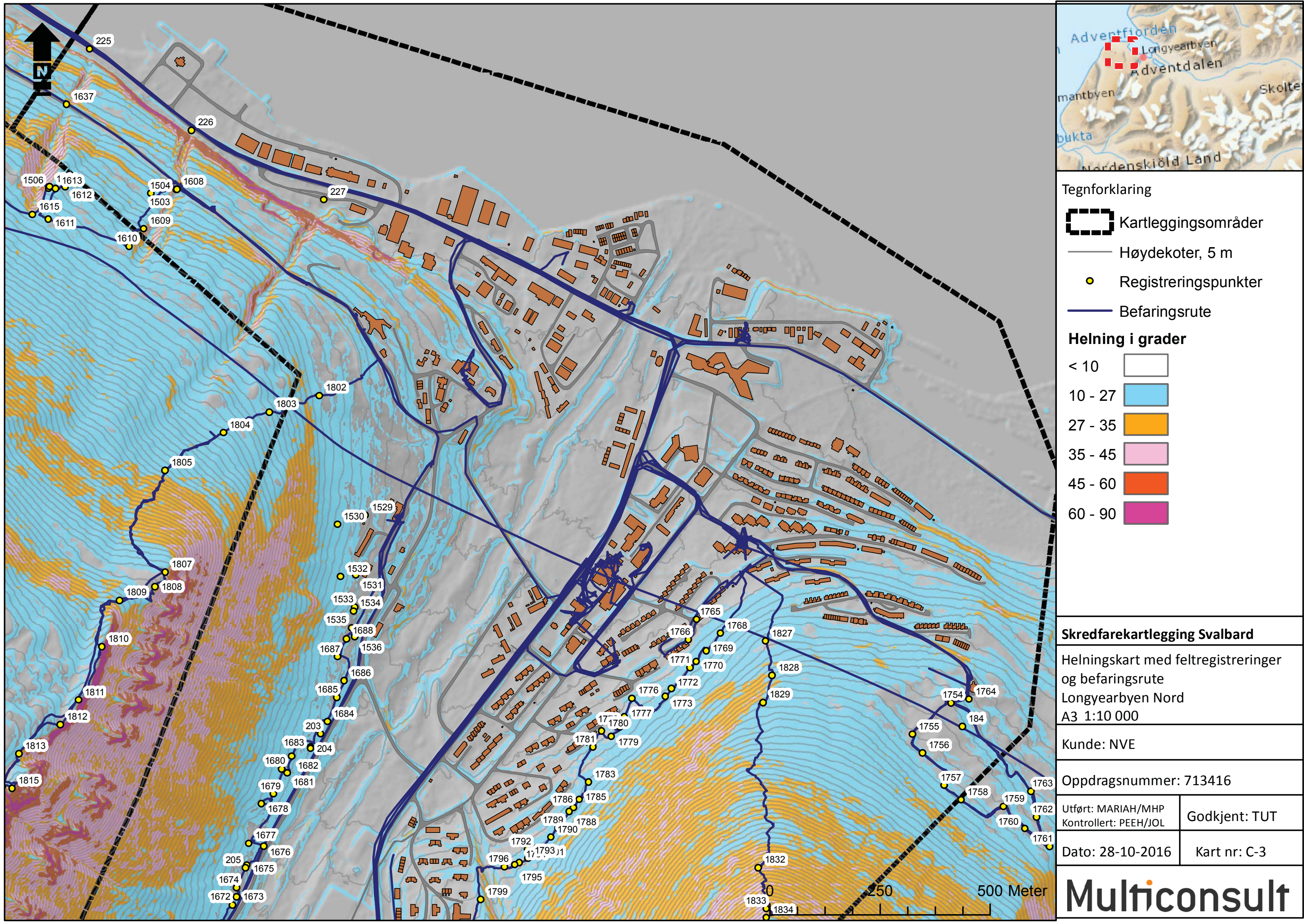
Befaringsruter er logget med bruk av håndholdt GPS, på karten er det synliggjort befaringsruter og punkter for registreringer er avmerket.

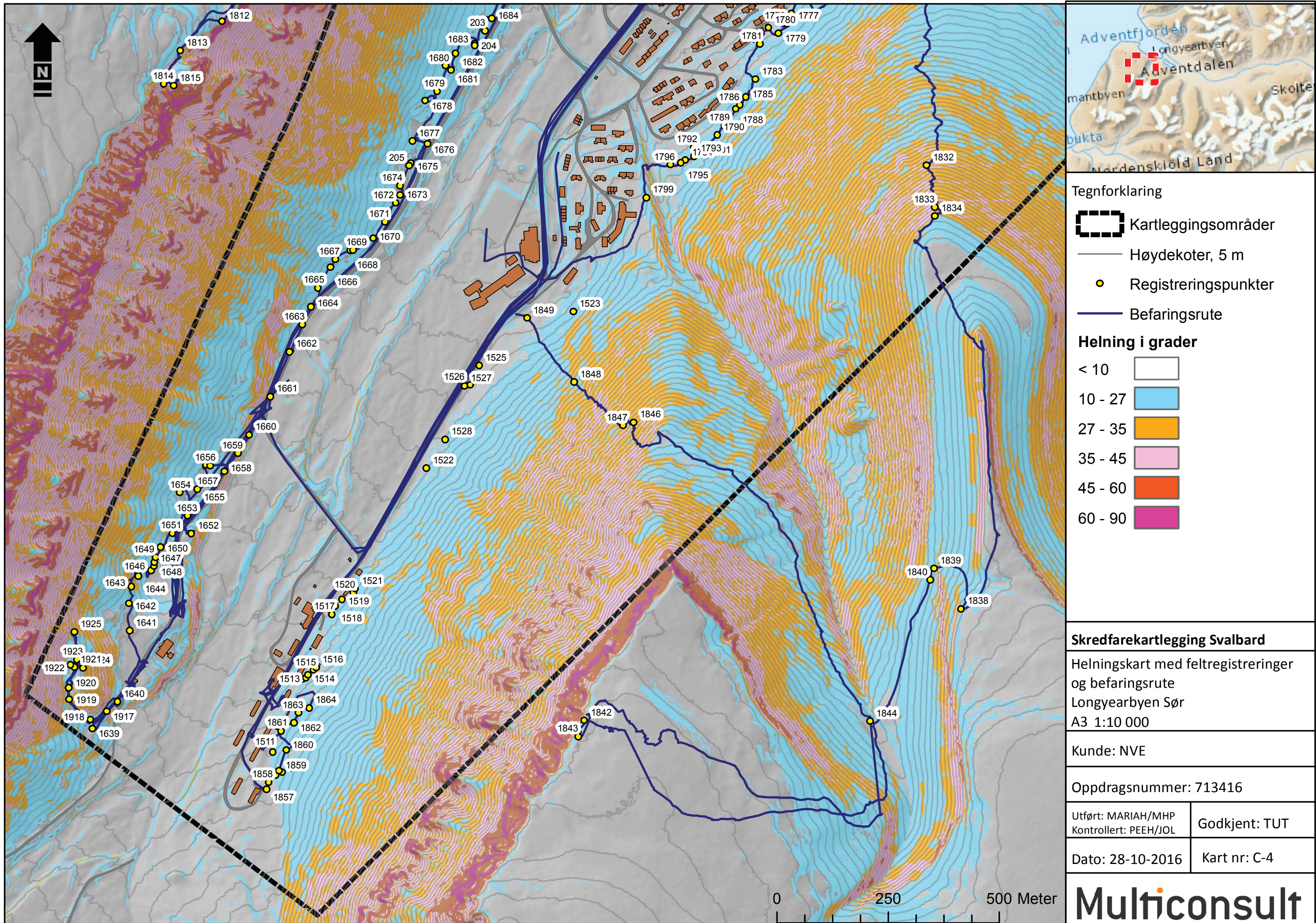
Kart:

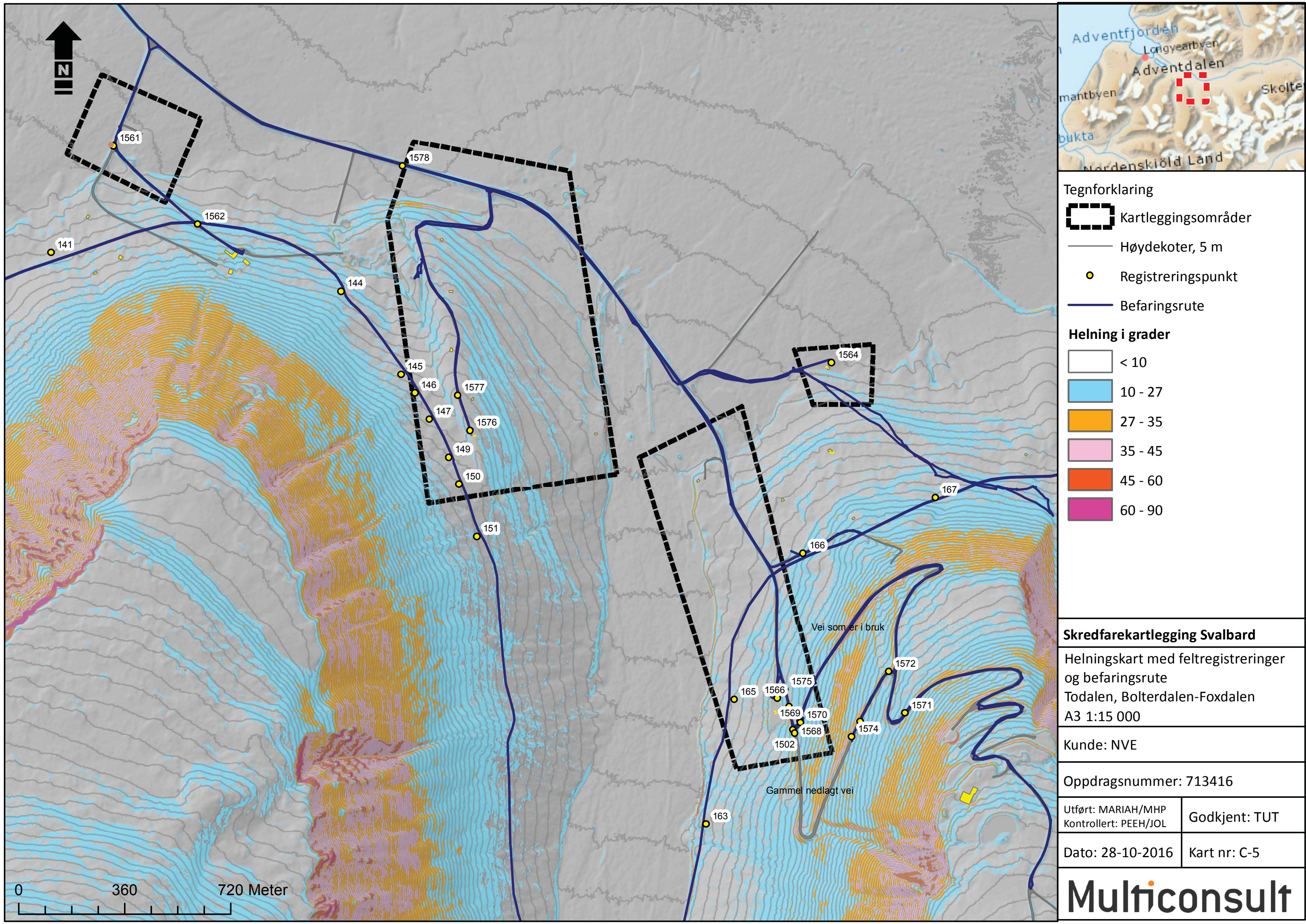
- C-1 Vestpynten –Bykaia øst
- C-2 Vestpynten - Bykaia vest
- C-3 Longyearbyen Nord
- C-4 Longyearbyen Sør
- C-5 Delområder Todalen, Bolterdalen og Foxdalen











Vedlegg D

Beskrivelse registreringspunkter under befaring

Det er her beskrevet observasjoner i form av ID- og med en enkel tekst beskrivelse på hva som er registrert/ observert.

Punktene angir observasjoner som kan ha betydning for vurdering av skredfare i området, punktene kan også være angitt for annen identifisering og orientering.

- 1. Vestpynten-Bykaia**
- 2. Longyearbyen**
- 3. Todalen, Bolterdalen- Foxdale**

Vedlegg D**1 Vestpynten-Bykaia****ID Beskrivelse**

| | |
|------|---|
| 1579 | Erosjon av kraftig vannføring. |
| 1580 | Skråning består av finere løsmasser. |
| 1581 | Skråning består av finere løsmasser. |
| 1582 | Flomskredleveer, potensielt steinsprangfare. Grove masser i øvre del av skråning, i nedre del finere. |
| 1585 | Vannførende bekk som renner på berg, og mulig akkumuleringsområde for snø. |
| 1586 | Erosjon av kraftig vannføring. |
| 1587 | Snøskredavsetning helt ned til veien. |
| 1588 | Ved skytebanen, snøskavler og dam med vann. |
| 1589 | Fra dette punktet og videre nord stiger terrenget. |
| 1590 | Snøskredavsetning med vann under som drenerer. |
| 1591 | Snø-sørpeskredavsetning muligens helt ned til dette punktet. |
| 1592 | Snøskredavsetning, langt utløp med mye vann og spor av kraftig vannerosjon i avsetningen. |
| 1593 | Ravine på nedsiden av veien, kan være potensielt løsneområde for mindre jordskred. |
| 1594 | Spor av flomerosjon i skråningen. |
| 1595 | På veien nedenfor Blomsterdalen, lite sannsynlig at vann/flommasser vil gå over veien. |
| 1596 | Bekk som renner over berg, dårlig drenering mot veien. |
| 1597 | Potensielt løsneområde for snø innover mot Bjørndalen. Bilder. |
| 1598 | Skredavsetning, snø/sørpe. |
| 1599 | Skredavsetning snø/sørpe. |
| 1600 | Skredavsetning snø/sørpe, skred slutter litt før dette punktet. |
| 1601 | Snøskredavsetning, fersk avsetning 30 meter opp. |
| 1602 | Gammel snøskredavsetning, overgrodd. |
| 1603 | Snøskredavsetning av kullbiter, muligens fra skråningen via snøskred. |
| 1604 | Snø/flomskredavsetning |
| 1605 | Flomskredsavsetning fram til dette punktet. |
| 1606 | Gammel strandlinje. |
| 1607 | Kullavsetning, kan ha blitt transportert i gammelt flomskred. |
| 1616 | Ravine |
| 1617 | Toppen av ravine, skredprosesser ned over veien. |
| 1618 | Flomskredavsetning, utløp helt ned til dette punktet |
| 1619 | Ravine med stein. |
| 1620 | Ravine |
| 1621 | Ravine |
| 1622 | Ravine |
| 1623 | Ravine, mindre |
| 1624 | Ravine |
| 1625 | Ravine |
| 1626 | Ravine m/vannføring |
| 1627 | Finere masser i ravineskråningen |
| 1628 | Flomskredavsetning |

| | |
|------|---|
| 1629 | Overfor dette punktet ikke fare for skred, men nedenfor punktet er det fare for flomskred. |
| 1630 | Vannførende bekk. |
| 1631 | Ravine. Erosjonsfare på nedsiden av punkt. Bilder. |
| 1632 | Markant flomskredavsetning. |
| 1633 | Markant flomskredavsetning. |
| 1634 | Flomskred |
| 1635 | Dreneringstiltak |
| 1636 | Løsmasseavsetning ned til veien. |
| 1816 | Fast berg ned til elvebanken. |
| 1817 | Stor flate |
| 1818 | Flomskred gått på andre side av Blomstranddalen. |
| 1819 | Forvitringsur |
| 1820 | Finere løsmasser, luftehull for gruve, tipp for grus og sand. |
| 1821 | Luftehull til gruve. |
| 1822 | Fast berg i skråningen, meget oppsprukket og forvitret. |
| 1823 | Flate |
| 1824 | Toppen av flate, Blomsterdalshøgda. |
| 1825 | Elvesving, brink. |
| 1826 | Fast berg i elveleiet. |
| 185 | Ved helikopter befaring, potensielt akkumuleringsområde for snø i skråningens øvre del. |
| 186 | Helikopterbefaring, . Blomsterdalen, finere løsmasser oppe i skråningene. |
| 187 | Helikopterbefaring. Snøskavler starter omlag i dette området. Høyt oppe i Blomsterdalen. Punktet er ikke med på utsnitt. |
| 1879 | Veien, god oversikt. Området bærer preg av mye menneskelig påvirkning ligger lavt. |
| 1880 | På kullslagg haug, erosjonsømfintlig, kraftig erosjonskanal ned. |
| 1881 | Dreneringskulvert 0,7 Ø. Starten av markant bekkekløp på nedsiden av Burmaveien |
| 1882 | Kulvert inntak 0,7 Ø skal drenere et stort område langs oversiden av Burmaveien. En betongplate som skal beskytte for akkumulering av løsmasser er plassert foran inngang, men ikke godt nok. |
| 1883 | Jord og flomskredavsetning fram til dette punktet. Startet i den lave skråningen rett over. Blandingsmasser, små stein, sand og grus. |
| 1884 | Samme som tidligere punkt. Lignende masser langs hele denne delen av skråningen |
| 1885 | Jord- flomskredavsetning, potensielt Løsneområde i dette punkt. |
| 1886 | Utglidning av gammel vei, lite utløp. Stoppet rett nedenfor haugen. |
| 1887 | Ømfintlige jordmasser. Vått. Erosjonskløfter hele veien et stykke mot byen, men stopper før de når ned til Burmaveien. |
| 1888 | Omtrentlig utløp/avsetninger, langs linje under brinken som er over. Relativt ferske avsetninger. |
| 1889 | Erosjonskanal, kløft fra brink over forbi punkt og ned over stien under. |
| 1890 | Brinken består av erosjonsømfintlig materiale, jord- og flomskred utsatt. |
| 1891 | Jord- og flomskred avsetning. Videre mot flyplassen ingen avsetninger. |
| 1892 | Stort flatt område, ingen skredavsetninger, men bløtt/myr. |
| 1893 | Markant kant i terrenget, noen form av insynt-solifluk. Ikke skredrelatert, men annen arktisk prosess. Punkt i terrenget markert på stålplate nr. 29. |
| 1894 | Oversikt av Blomsterdalselva og erosjon av den, ca. 15 m ned til elveavsetning. |
| 1895 | Kulvert fra Blomsterelva ca.140 Ø, s bred elv med slakt terregn. |
| 1896 | Kulvert ut i sedimentbasseng/kulp, deretter betongkonstruksjon. Sterkt påvirket av erosjon, må erosjonssikres og forsterkes. |

| | |
|------|---|
| 1897 | Åpning mellom kulverter, ser ut som vann også renner på overflaten av terrenget, men følger ikke tenkt løp. |
| 1898 | Start på løsneområde for jord- og flomskred. Kan gå ned i blomstrandelva ved veien. |
| 1899 | Frølagret, terrenget er påvirket av anleggsvirksomhet. |
| 1900 | Tydelige spor av inngrep av maskiner ved etablering av Frølagret. |
| 1901 | Grove forvitningsmasser, finere forvitningsmateriale med sand/jord som antas vaskes ut. Ikke skredprosesser. |
| 1902 | Forvitningsmark med frost/tine prosesser. Ikke skredrelatert. |
| 1903 | Markant søkk. |
| 1904 | Fra punkt mot byen grov forvitlingsur 0.2-0.5 meter Ø. |
| 1905 | Fra punkt inngrep av maskiner. |
| 1906 | Kraftig innsenkning/hull i Frølagret, bygd ca. 2007. |
| 1908 | Start bekkekløft. |
| 1909 | Ytre del av kløft, god oversikt mot gråhytte over flyplassen. |
| 1911 | Flomavsetning vann og finere masser fra tippen har rent ned og helt over kanten. |
| 1912 | Fine slaggrester etter gruvedriften, flom helt bort mot elvegjelde/kløft. |
| 1913 | Starten av bekk, flatt område. |
| 1914 | Stor flate |
| 1915 | Kulvert |
| 1916 | Oversiktsfoto opp mot skytebanen, erosjon ved veien, flere kulverter som bare er 0,7 m Ø, erosjonssikre. |
| 1932 | Finere jord - og flomskredavsetning Mindre flomavsetning et stykke overfor grå hytte, stopper rett under skråningsfoten. |
| 1933 | Flom- og jordskredavsetning stein og finere meget kompakt, omlag 0,7 meter tykk avsetning 15-20 meter bred tunge. Antas skjedd juli-aug 2016. |
| 1934 | Grønn liten hytte, ligger nedenfor markant forhøyning. |
| 1935 | Gammel avsetning fram til dette punktet, mye fast berg oppe i siden. |
| 1936 | Potensielt løsneområde for snø oppe i skråningen. Men antas å stoppe ved foten. Skråningen ser tørr ut. Punkt er overfor rød hytte. |
| 1937 | Potensielt bredt løsneområde for snø oppe i skråningen. Skredavsetning men ingen ferske spor. |
| 1938 | Bjerrangshytta som ble tatt juni 2013 av sørpeskred. |
| 1939 | Ferske jord- og flomavsetning Sjekk endring fra første befaring. |
| 1940 | Fersk jord- og flomskredavsetning < 2 cm. |
| 1941 | Gammelt tykt skredavsetningsløbe ca. 2 meter høy/tykk. |
| 206 | Skjæringskløft |
| 207 | Skjæringskløft |
| 208 | Skjæringskløft med vann |
| 209 | Skjæringskløft |
| 210 | Skjæringskløft |
| 211 | Skjæringskløft |
| 212 | Skjæringskløft, aktiv med mye vann. |
| 213 | Skjæringskløft |
| 214 | Skjæringskløft |
| 215 | Skjæringskløft med mye vann. |
| 216 | Gammel stor skjæringskløft fra høyre, litt fukt. |
| 217 | Gammel skjæringskløft fra høyre. |
| 218 | Skjæringskløft |

| | |
|-----|---|
| 219 | Skjæringskløft |
| 220 | Åpen stor skjæringskløft, gammel skjæringskløft leder opp til Burmaveien. |
| 221 | Skjæringskløft |
| 222 | Skjæringskløft, aktiv, men lav fallhøyde ca. 2 meter. |
| 228 | Stor grønn hytte, ingen aktive løp, tørr skråning. |
| 229 | Liten hytte, meget vått rundt, noen form av målinger overfor. |
| 239 | Liten hytte, meget vått rundt, noen form av målinger overfor. |

2 Longyearbyen

| ID | Beskrivelse |
|------|---|
| 1608 | Dreneringskum, 80 cm øst. |
| 1609 | Akkumuleringsområde med snø/sørpe. |
| 1610 | Akkumuleringsområde, overfor konvekst parti. |
| 1611 | Solifluksjonslober, naturlig skråningsprosess i permafrostterren. |
| 1612 | Vannvei |
| 1613 | Bekk ravine |
| 1614 | Finere masser i skråning på ravine. |
| 1615 | Ravine, toppen. |
| 1637 | Ravine, stor erosjon, kommer ned på hovedveien på utsiden av gummibåthavna. |
| 1639 | Ved foten av snøskred akkumuleringsområde > 30 meter høy. |
| 1640 | Nedenfor stor haug/tipp > 30 meter høy. |
| 1641 | Gammel snøskredavsetning |
| 1642 | Murhus/hytte, står i gammel skredavsetning m spor av snøskred. |
| 1643 | Snøskredavsetning. Nedenfor er vann/dam. |
| 1644 | Flomskredavsetning, ned til sølepytt. |
| 1646 | Snø - og flomskredavsetning. |
| 1647 | Snøskredavsetning |
| 1648 | Snøskredavsetning |
| 1649 | Snøskredavsetning |
| 1650 | Snøskredavsetning |
| 1651 | Snøskredavsetning avskjært av veien, aktiv. |
| 1652 | Gammel snøskredavsetning |
| 1653 | Gammel snøskredavsetning |
| 1654 | Snøskredavsetning |
| 1655 | Snøskredavsetning |
| 1656 | Nyere snøskredavsetning, ikke mose på stein. |
| 1657 | Gammel skredavsetning, lengre utløp, muligens utover veien. |
| 1658 | Snøskredavsetning |
| 1659 | Gammel snøskredavsetning til dette punktet, mer aktivt 10 meter lenger bort. |
| 1660 | Gammel snøskredavsetning. Ferske avsetninger ca. 40 meter opp. Menneskelig inngrep ved veien. |
| 1661 | Snøskredavsetning |

| | |
|------|--|
| 1662 | Hoppbakke Espen Bredesen 90 - tallet. |
| 1663 | Knuseverk Huset, bygget 1954. |
| 1664 | Snøskredavsetning, store steiner 2 X 1 meter. |
| 1665 | Snøskredavsetning, ikke aktiv. |
| 1666 | Snøskredavsetning |
| 1667 | Gammel snøskredavsetning ca. 20 meter opp, ikke mosegrødd. |
| 1668 | Flomskred med kraftig massetransport. |
| 1669 | Kraftig massetransport taubanebukk rast. Skred helt ned ovenfor veien, og i elva 1 - 2 meter høye flomleveer. |
| 1670 | Jord- og flomskredavsetning stopper ved dette punktet. |
| 1671 | Jord- og flomskredavsetning, overgrødd. |
| 1672 | Stor steinblokk > 50 år, 2,5 X 1,5 meter. |
| 1673 | Dimensjonerende stein eller jord- og flomskred til dette punktet. |
| 1674 | Grønn eng, potensielt steinsprangfare. Noe vått. |
| 1675 | Steinblokk, lys sandstein 2 X 1,5 meter, nesten kubisk. Gammel snøskredavsetning, potensielt løsneområde for Stein i skråning. |
| 1676 | Steinblokk, 1 X 1,5 m, nesten kubisk. |
| 1677 | Flere store steiner, på gammel snøskredavsetning. |
| 1678 | Kirkegården, mindre steinsprang 0,5 X 0,5 meter Ø. |
| 1679 | Mindre steinsprang > 0,5X 0,5 meter. |
| 1680 | Overgrødd, muligens en gammel snøskredavsetning hit, område egnet for bebyggelse. |
| 1681 | Mindre steinblokker |
| 1682 | Jord- og flomskredavsetning. |
| 1683 | Steinutløp, men godt nedsunket i vått terren. |
| 1684 | Jord- og flomskredavsetning |
| 1685 | Jord- og flomskredavsetning |
| 1686 | Flomskredavsetning |
| 1687 | 0,3 X 0,3 meter steinblokker |
| 1688 | Jord- og flomskredavsetning |
| 1754 | Flomskredavsetning, gått helt ned til trykkbasseng. |
| 1755 | Ca. 20 meter opp flomskredavsetning. |
| 1756 | Markant flomskredbane, ned til vannførende bek. |
| 1757 | Mindre flomskred fram til dette punkt. |
| 1758 | Mindre flomskredavsetning ca. 5 meter opp. |
| 1759 | Gammelt flomskredavsetning |
| 1760 | Gammelt flomskredavsetning. |
| 1761 | Gruvedalen, gammel flomskredavsetning. |
| 1762 | Mindre og lange flomskredbaner som heller ned i gruvedalen. |
| 1763 | Flatere område nedenfor taubanebukker. |
| 1764 | Slutt flomskredavsetning ved trykkbasseng. |
| 1765 | Øverste husrekke |
| 1766 | Sørligste av øverste husrekke |
| 1768 | Snøskavl starter muligens og bygges opp herifra. |

| | |
|------|---|
| 1769 | Ytterkant skredavsetning snø. |
| 1770 | Lite synlige spor etter stort snøskred i des 2015 |
| 1771 | Rabber av stein, her er spor av stort snøskred i des 2015. |
| 1772 | Rett overfor hus nr. 21, 19, 17. |
| 1773 | Nedenfor to sørpe/flomskredspor i skråningen, stopper opp ved starten av vegetasjonsområde. |
| 1776 | 16,14,12,10,8,6 rød/oransje rekke. Flomskredavsetning helt ned til veien. |
| 1777 | Flomskredavsetning, fersk, stopper ca. 40 meter opp fra punkt. |
| 1778 | Flomskredavsetning |
| 1779 | Flomskredavsetning |
| 1780 | Flomskredavsetning |
| 1781 | Flomskredavsetning |
| 1783 | Gammelt flomskredavsetning |
| 1785 | Jord-/flomskredavsetning |
| 1786 | Jord-/flomskredavsetning |
| 1788 | Flomskredavsetning |
| 1789 | Jordutglidning |
| 1790 | Utglidning |
| 1791 | Jord-/flomskredavsetning ved siden av gjerdet, markant kløft i skråningen. |
| 1792 | Markante leveer med vann helt ned til veien. |
| 1793 | Gjerdekant |
| 1794 | Flomskredavsetning |
| 1795 | Gjerdekant går helt mot vannledningsdalen |
| 1796 | Gjerde |
| 1799 | På kronen på skredvollen, 3 meter bred, 10 - 15 meter ned. |
| 1802 | El-stolper mot platået. |
| 1803 | Ved siden av el-stolper ikke tegn på skredaktivitet |
| 1804 | Sortert steingrøft |
| 1805 | Grov ur |
| 1807 | Røyse på lille varden, potensielt løsneområde stein. |
| 1808 | Start på skredbane |
| 1809 | Mindre jord/grus utglidninger. |
| 1810 | Alkekongerenna over kirkegården. |
| 1811 | Kanten over kirkegården |
| 1812 | Oversiktsplass rett over huset |
| 1813 | Stort skred, startet herifra. |
| 1814 | Skredmasse små stein mye vann |
| 1815 | Tett oppsprukket berg |
| 1827 | Platå innen ryggen mot sukkertoppen, fritt for vegetasjon. |
| 1828 | Ryggen mot Sukkertoppen |
| 1829 | Toppen på brinken |
| 1832 | Ved siden av potensielt løsneområde for snø. |
| 1833 | Ved siden av potensielt Løsneområde for snø. |

| | |
|------|---|
| 1834 | Toppen på Sukkertoppen, solifluksjon på toppen mot byen |
| 1838 | Oversikt over snøfelt. |
| 1839 | Vannsig, liten bekk |
| 1840 | Mindre jordutglidning |
| 1842 | Skredbane rett over huset og veien, mye løst materiale. |
| 1843 | Skråningen spiser seg bakover, stor erosjon. |
| 1844 | Bekk, bergformasjon |
| 1846 | Oversikt over skolen, potensielt løsneområde for snø mot Nybyen. |
| 1847 | Overfor skolen, potensielt akkumuleringsområde snø. Solifluksjon i bakken. |
| 1848 | Toppen på skiheisen |
| 1849 | Bunn av skibakken |
| 1857 | Brakke 13 Jord/flom fra skråning og til dette punktet, ellers avsetninger fra elvedalen. |
| 1858 | Jord/flomavsetning |
| 1859 | Punktet er ca. 50 meter nedenfor snøskredavsetning, ikke spor av jord og flomskred. |
| 1860 | Forhøyning i terrenget, ikke tegn på skredaktivitet. |
| 1861 | Skredleveer fram til punkt, ca. 1 meter dyp. |
| 1862 | Skredavsetning, samme som foregående, men jevnere, muligens sørpeskred. |
| 1863 | Snø/sørpeavsetning. |
| 1864 | Snø/sørpeavsetning. |
| 1917 | Stor stein, kommet fra tippen sommer 2016. |
| 1918 | Sti/vei bak tippen tydelig |
| 1919 | Tipp ca. 10 meter høy |
| 1920 | Skredbane økk ned fra bergtrakten og hit, kanskje 7 meter vollhøyde her. |
| 1921 | Kanten av vollen er ca. 5 meter |
| 1922 | Bunn av tippen, men dypere og bredere mot byen. |
| 1923 | Toppen av tippen. |
| 1924 | Rett over gruvelageret, toppen av tippen. |
| 1925 | Slutt tipp, fare for bratt skred på baksiden |
| 203 | 1,5 X 1,5 m stein |
| 204 | Stein |
| 205 | Kalibreringsstein ca. 1,2 X 1,2 meter. |
| 225 | Bred og stor skjæringskløft, lav fallhøyde, fuktig, ikke så aktiv. Liten kulvert 0,7 meter under Burmaveien. Mye skrot mellom Burmaveien og fram til punkt, demmer- kanskje stabilisrende løsmasser også. |
| 226 | Mye vann ved befaring. Ca. 10 meter høy. Ingen drenering videre under veien. |
| 227 | Stor skjæringskløft, aktiv mellom kraftstasjon og tank. Akkumuleringsbasseng ca. 1 meter høy, ingen drenering. Ved Bruen på Burmaveien. |
| 1503 | Ravine med stor vannføring. Tetting og løp over veien. |
| 1504 | Erosjonsspor i terrenget (grøft). Et lite jordskred har gått her. Kan få påfyll av masser ovenfra. |
| 1506 | Stor renne. Lite vann. |
| 1507 | Skredblokk, 1,4 x 0,5 x 0,8 meter. |
| 1508 | Skredblokk, 1,2 x 0,5 x 1,6 meter. |
| 1509 | Gammel stor blokk x 2. 3 m ³ . |

| | |
|------|---|
| 1510 | Enden av gammel vifte. Ferske prosesser stoppet lenger opp på viften. |
| 1511 | Menneskeskapt dreneringsgrøft kutter viften. Selve viften kan originalt ha gått mye lenger (til veien på andre siden av huset). |
| 1512 | Skredblokk 10 meter fra brakkehus, gammel. |
| 1513 | Skredblokk |
| 1514 | Skredblokk |
| 1515 | Muligens stor blokk av skred |
| 1516 | Stor blokk 2x1x2 meter. Avsatt for lenge siden. Begrodd av moser og lav. |
| 1517 | Enden av vifte |
| 1518 | Skredbane. Drenering. |
| 1519 | Flomskredtunge. Aktiv. |
| 1520 | Skredblokk med usorterte masser avsatt på toppen. |
| 1521 | Gammel skredblokk, begrodd av moser og lav. Står på vifte som er inaktiv, nærmere gruve er avsetningene begrodd av mose. |
| 1522 | Snøskred/flomskredbane, og enden av fersk avsetning. |
| 1523 | Enden av markant bratt skredavsetning/skåning. Nedenfor er det lite synlig erosjon eller avsetninger. |
| 1524 | Enden av eldre skredløptunge, flomskred. |
| 1525 | Enden av eldre skredløptunge, flomskred. |
| 1526 | Enden av flomskredtunge. |
| 1527 | Enden av skredløptunge, flomskred. |
| 1528 | Enden av vifte. Flomskred/snøskred. |
| 1529 | Enden av flomskredtunge |
| 1530 | Enden av en mindre flomskredtunge |
| 1531 | Enden av flomskredtunge |
| 1532 | Enden av snøskredutløp av mindre skred |
| 1533 | Endepunkt av flomskredtunger. |
| 1534 | Endepunkt av flomskredtunge |
| 1535 | Endepunkt av flomskredtunge |
| 1536 | Endepunkt av flomskredtunge |

3 Todalen, Bolterdalen-Foxdalen

| ID | Beskrivelse |
|-----|---|
| 141 | Flomskredavsetning |
| 144 | Gammel flomskredavsetning, nedenfor tippen |
| 145 | Flomskredavsetninger |
| 146 | Flomskredavsetning |
| 147 | Snøskredavsetning oppe i skråningen |
| 149 | Flomskredavsetning |
| 150 | Flomskredavsetning, tydelig avskjæringsgrøft oppe i avsetningen. Antas laget for flere år siden av Robin Buzzu når han drev hundegården. Opplysning fra helikopterpilot |
| 151 | Flomskredavsetning |
| | |

| | |
|------|--|
| 1502 | Stor bekk i svingen, mellom gamleveien og den nye veien. |
| 1562 | Potensielt akkumuleringsområde for snø i skråning. |
| 1564 | Camp Barentz/Våtviks. Ute på slette, god avstand fra skråning. |
| 1565 | Basecamp (nå Spitsbergen Travel) Hundegård |
| 1566 | Vannersjon ca. 40 cm ned i terreng. Finere masser, mye kullstøv og avrundede småstein. |
| 1567 | Fra punkt ved veien og nedover, spor av jorderosjon - nå tørt, men ferskt. |
| 1568 | Etablert 3 meter dyp avskjæringsgrøft, rett etter en sving på veien. Veien går annen vei enn på kart. Ikke stabilt område. |
| 1569 | Bekk fra liten kulvert, stor gammel kulvert ved siden. |
| 1570 | Finere masser med avrundet små steiner. |
| 1571 | Overflateerosjon, fersk, men nå tørr. |
| 1572 | Tørt område |
| 1573 | Fra dette punktet og innover dalen, mer ustabile masser som blir påvirket av drenering, utover mer intakt skråning. |
| 1574 | Del av gammel vei, erodert bort. Ovenfor dette punkt ustabilt. |
| 1575 | Herifra og nord ikke direkte fare, mer stabilt. |
| 1576 | Green Dog Svalbard (gammel Buzz) Hundegård. Ligger på en markant høyde 5 meter over terrenget fra oversiden. |
| 1577 | Stor bekk som går ned i markant løp som har fast berg lengre ned. |
| 1578 | Stor aktiv bekk renner gjennom kløft i berget, erodert i fast berg. |
| 163 | Flomskredavsetning |
| 165 | Jordutglidning, flere mindre |
| 166 | Flom og jord, mindre avsetninger. |
| 167 | Flom og jord, mindre avsetninger. |

Vedlegg E

Skredhendelser

Det finnes ikke pr.idag etter vår kjennskap noen samlet oversikt på tidligere skredhendelser på Svalbard som strekker seg over lengre periode.

Det er her gjort en sammenstilling på skredhendelser som er dokumentert, vil poengtene at det sikkert finnes flere.

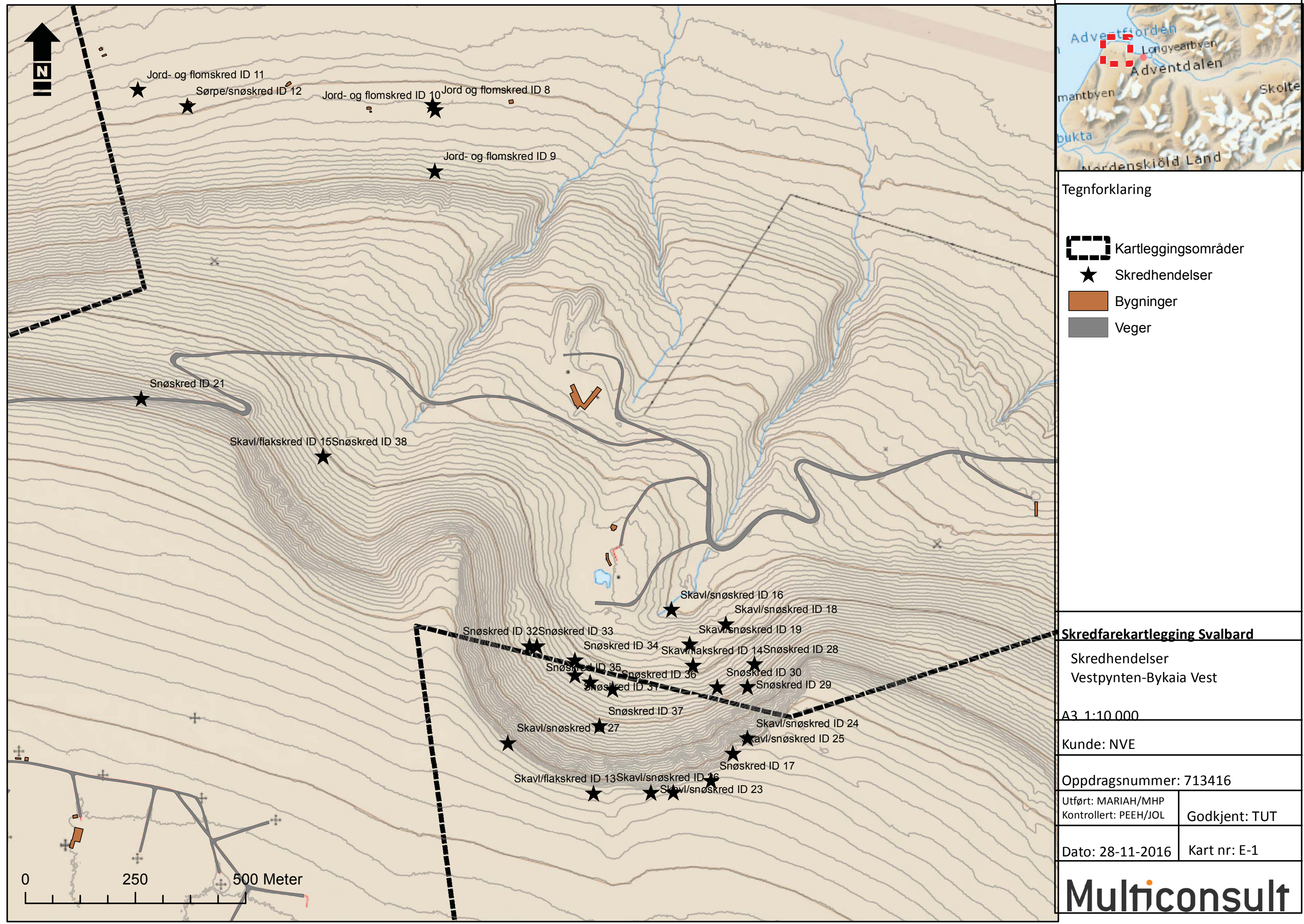
Kart viser omtrentlig plassering på hendelser:

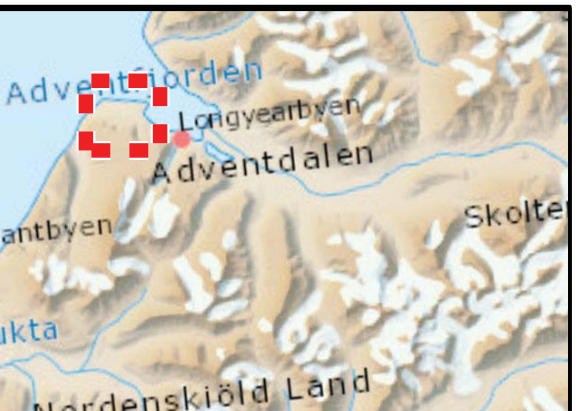
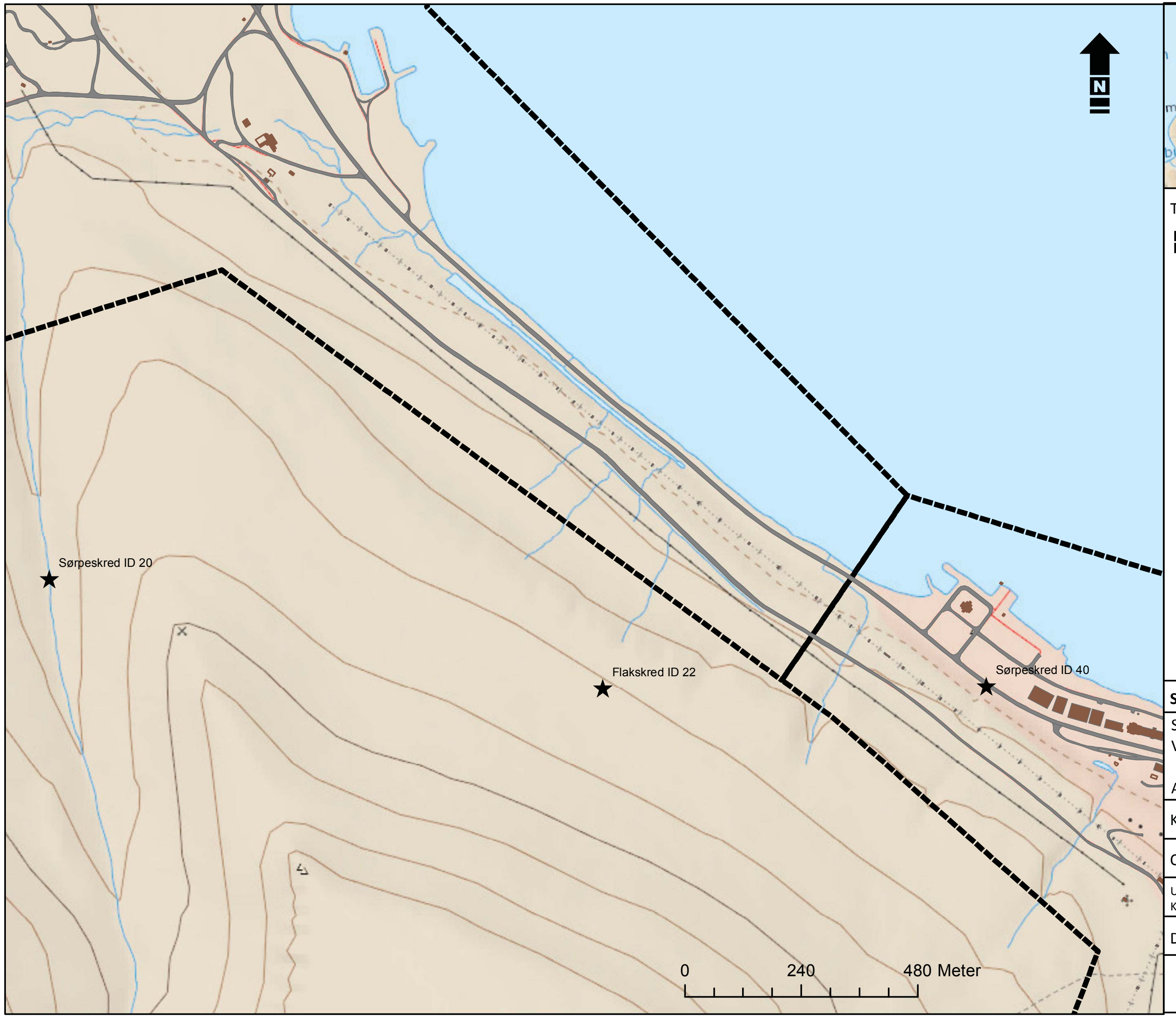
- E-1 Vestpynten- Bykai Vest
- E-2 Vestpynten- Bykaia Øst
- E-3 Longyearbyen Nord
- E-4 Longyearbyen Sør

Tabell som beskriver hendelsene

En tabell oversikt som kort beskriver hendelsene og hvor de er hentet fra.

1. Vestpynten- Bykaia
2. Longyearbyen





Tegnforklaring

- Kartleggingsområder (Dashed line)
- Skredhendelser (Star)
- Bygninger (Brown)
- Veger (Grey)

Skredfarekartlegging Svalbard

Skredhendelser
Vestpynten-Bykaia øst

A3 1:10 000

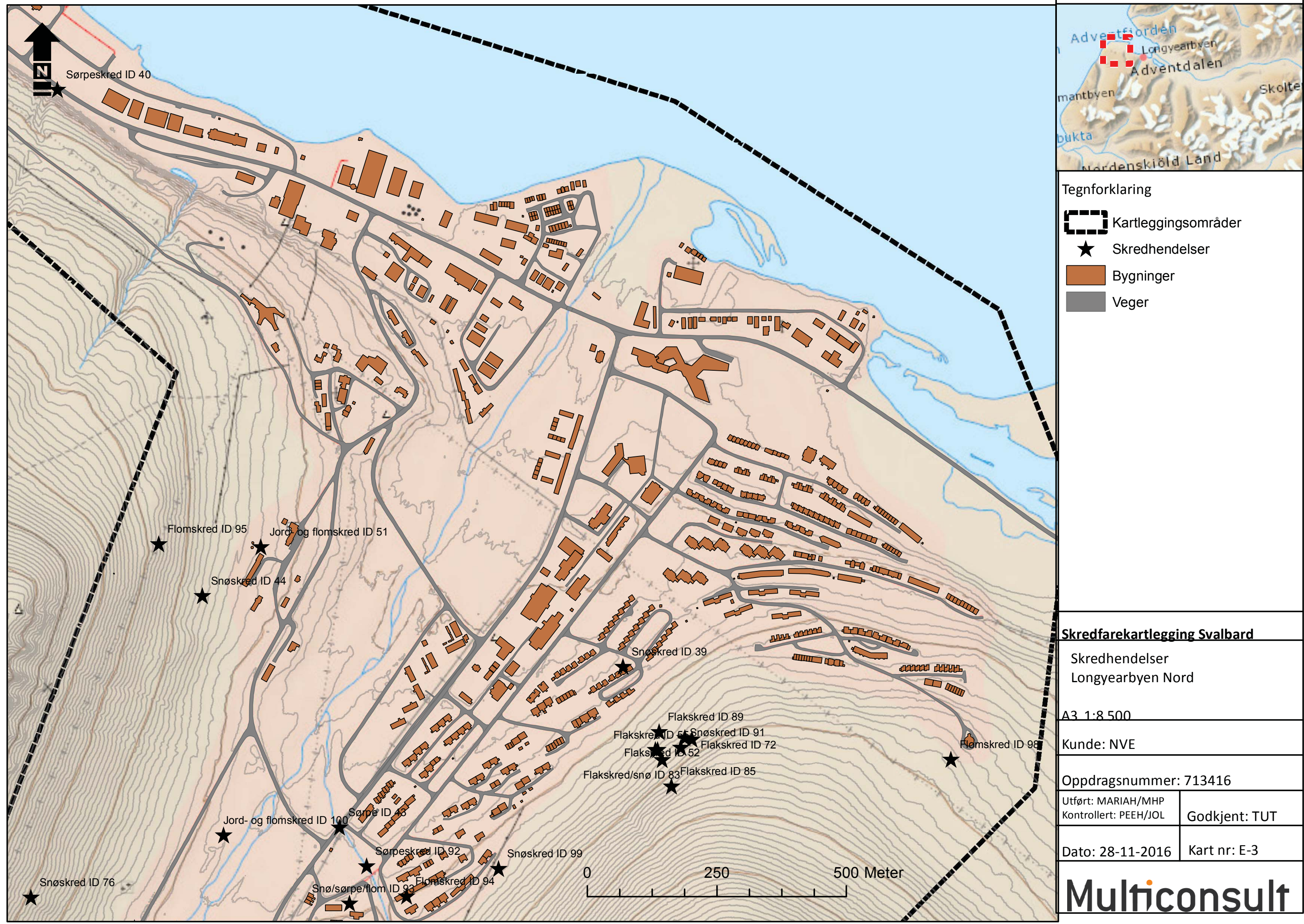
Kunde: NVE

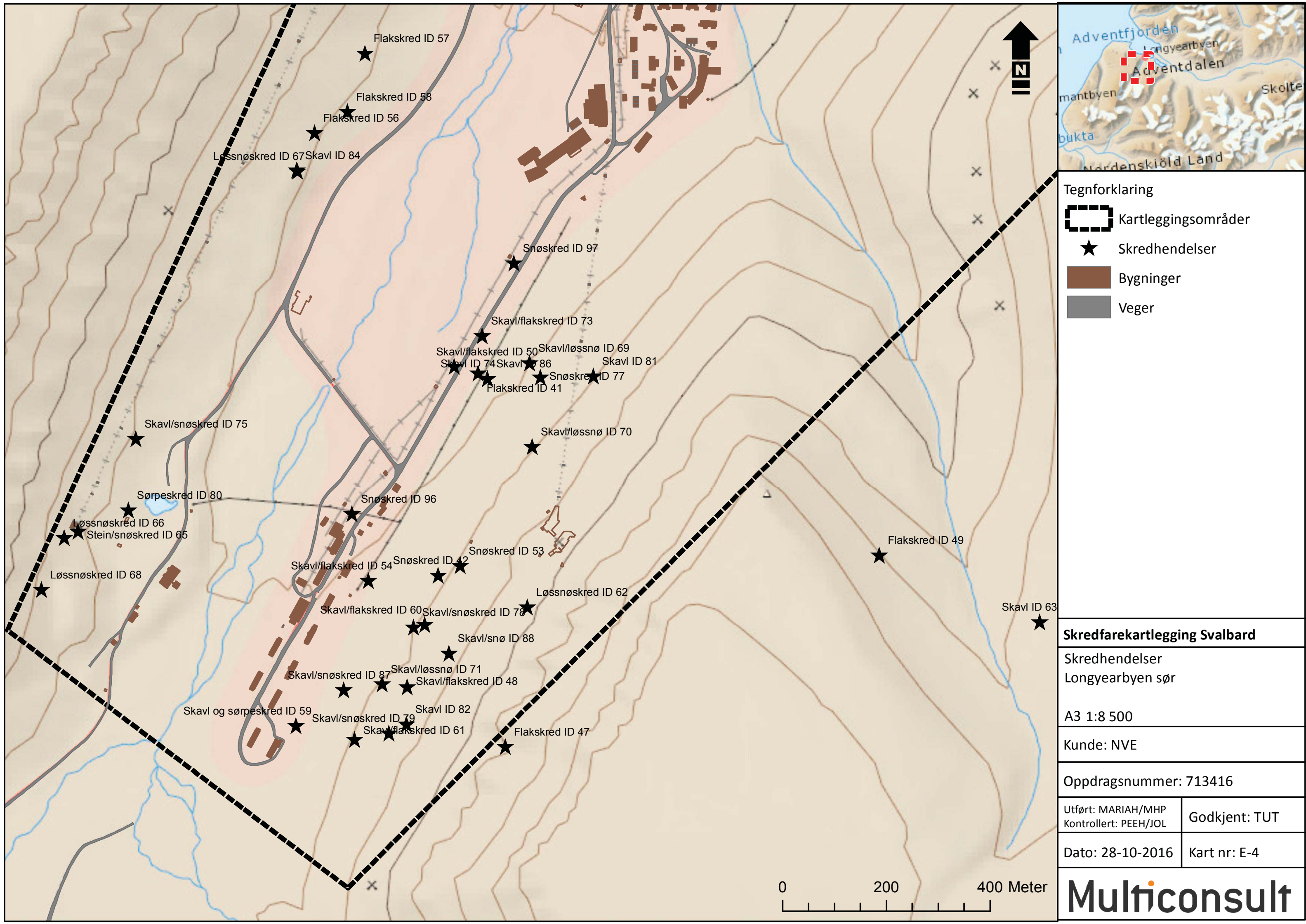
Oppdragsnummer: 713416

Utført: MARIAH/MHP
Kontrollert: PEEH/JOL
Godkjent: TUT

Dato: 28-10-2016 Kart nr: E-2

Multiconsult





Vedlegg E**1 Vestpynten-Bykaia**

| Skredhendelse | Tid | Sted | Kilde | Beskrivelse |
|--------------------------|------------|--------------------------------|---|---|
| Jord og flomskred ID 8 | 15.10.2016 | Sørsiden av flystripa | UNIS report 18 okt, 2016 | Samme sted som det ved befaring i september ble registrert skred. |
| Jord- og flomskred ID 9 | 15.10.2016 | I skråningen sør om flystripa. | UNIS report 18 okt, 2016 | Flere sk. detachmentskred oppe i skråningen, stoppet opp skråningen. |
| Jord- og flomskred ID 10 | 00.07.2016 | På sørsiden av flystripa | Multiconsult befaring 2016 | Flere mindre jord- og flomskred. Ca. 0.5 m tykk avsetning nådde langt ut på et slakt område. Vannmasser har gått lenger ut. Se under. |
| Jord- og flomskred ID 11 | 00.07.2016 | Sør for flystripa | Multiconsult befaring 2016 | Flere mindre jord- og flomskred. Avsetninger og vannmasser har nådd lenger. Registrert i sep. var ikke der første uken i juli. |
| Sørpe/snøskred ID 12 | 00.06.2013 | Vestpynten | Svalbardposten | Skredet gikk i skråningen ved flyplassen. 1 hytte ødelagt. Snø/flaksred løsnet i øvre del. Fuktig/vannmettende snø i utløp. |
| Skavl/flaksred ID 13 | 15.01.2013 | Skytebanen/svalsatveien | Cryoslope www.skred-svalbard.no | Skavl utløste flaksred i gryten over skytebanen. Antatt årsak er varmt vær og regn. |
| Skavl/flaksred ID 14 | 31.05.2010 | skytebanen | Cryoslope www.skred-svalbard.no | |
| Skavl/flaksred ID 15 | 03.12.2009 | | Cryoslope www.skred-svalbard.no | |
| Skavl/snøskred ID 16 | 17.02.2008 | Skytebanen | Cryoslope www.skred-svalbard.no | Skavl utløste snøskred. foto |
| Snøskred ID 17 | 21.02.2008 | Skytebanen | Cryoslope www.skred-svalbard.no | I anmerkningsfeltet står det jordskjelv |
| Skavl/snøskred ID 18 | 14.04.2008 | Skytebanen | Cryoslope www.skred-svalbard.no | |
| Skavl/snøskred ID 19 | 14.05.2008 | Skytebanen-storgryta | Cryoslope www.skred-svalbard.no | Skavl utløste flaksred på en tidligere skredavsetning |
| Sørpeskred ID 20 | 28.03.2007 | Blomsterdalen | Markus Eckerstorfer, 2016 | |
| Snøskred ID 21 | 2002 | Svalsat veien | Svalbard historie i årstall, 2005 | Svalsat veien stenges av et 500 m langt snøskred. Området har erfart mange skred som ikke er med i registreringer. |
| Flaksred ID 22 | 1996 | I skråningen over Burmaveien | NGI rapport 20081311-1. foto omt. plass | Snøskred. Snøen var vått i avsetningsområdet. |
| Skavl/snøskred ID 23 | 23.05.2002 | Platåberget, skytebanen | Cryo data fra M. Eckerstorfer, 2016 | Skavl som utløste skred. |
| Skavl/snøskred ID 24 | 23.05.2002 | Skytebanen | Cryo data fra M. Eckerstorfer, 2016 | |
| Skavl/snøskred ID 25 | 03.06.2002 | Skytebanen | Cryo data fra M. Eckerstorfer, 2016 | |
| Skavl/snøskred ID 26 | 03.06.2002 | Skytebanen | Cryo data fra M. Eckerstorfer, 2016 | |
| Skavl/snøskred ID 27 | 03.06.2002 | Skytebanen | Cryo data fra M. Eckerstorfer, 2016 | |
| Snøskred ID 28 | 05.05.2009 | Platå skytebanen | Cryo data fra M. Eckerstorfer, 2016 | |
| Snøskred ID 29 | 05.05.2009 | Platå skytebanen | Cryo data fra M. Eckerstorfer, 2016 | |
| Snøskred ID 30 | 05.05.2009 | Platå skytebanen | Cryo data fra M. Eckerstorfer, 2016 | |
| Snøskred ID 31 | 05.05.2009 | Platå skytebanen | Cryo data fra M. Eckerstorfer, 2016 | |
| Snøskred ID 32 | 05.05.2009 | Platå skytebanen | Cryo data fra M. Eckerstorfer, 2016 | |
| Snøskred ID 33 | 13.05.2009 | Skytebanen | Cryo data fra M. Eckerstorfer, 2016 | |
| Snøskred ID 34 | 13.05.2009 | Skytebanen | Cryo data fra M. Eckerstorfer, 2016 | |
| Snøskred ID 35 | 13.05.2009 | Skytebanen | Cryo data fra M. Eckerstorfer, 2016 | |
| Snøskred ID 36 | 13.05.2009 | Skytebanen | Cryo data fra M. Eckerstorfer, 2016 | |
| Snøskred ID 37 | 13.05.2009 | Skytebanen | Cryo data fra M. Eckerstorfer, 2016 | |
| Snøskred ID 38 | 03.12.2009 | Bowl nært svalsatveien | Cryo data fra M. Eckerstorfer, 2016 | |

2 Longyearbyen

| Skredhendelse | Tid | Sted | Kilde | Beskrivelse |
|--------------------------|------------|---|---|---|
| Snøskred ID 39 | 19.12.2015 | Sukkertoppen. Spisshusene | Svalbardposten og flere andre kilder som riksdekkende media og DSB rapport, 2016. | 11 hus ble totalskadd i skredet. 2 mennesker døde. Opplyses av NVE at også rekkehuset i veg 228 ble truffet. |
| Snøskred ID 99 | 19.12.2015 | Snøskred ned mot vei 222 | NGI 20150709-01-TN.2016 og Hekne.2016 | Snøskred. Stoppet 15 m fra hus i vei 222. |
| Sørpeskred ID 40 | 05.06.2013 | Sørpeskred kom over veien til flyplassen. | Bilder tilsendt fra Longyearbyen Lokalstyre.. | Det gikk flere sørpeskred rundt byen, dette stengte veien. Skredmassene stoppet mot stålkontainere som stod på nedsiden av veien. |
| Flakskred ID 41 | 14.05.2012 | Øvre del av skråningen nord for gruve 2 | Flere bilder fra Lokalstyret der dato er med. | Flank under det brattere bergpartiet på Gruvefjellet løsnet flakskred |
| Snøskred ID 42 | 14.05.2012 | Flank sør for gruve 2 | Flere bilder fra lokalstyret og M.Eckerstorfer 2016 | To mindre flanker løsner rett under brattere partier sør for Gruve 2. |
| Sørpe ID 43 | 30.01.2012 | Vannledningsdalen- Perleporten | Svalbardposten 31.01.2012 kl.14.21 | Nedkjørselen vei 222 stengt. Hovedveien 0.5 m sørpe og snø over veien. Hoveddelen gikk over veien. |
| Snøskred ID 44 | 28.03.2011 | Longyearbyen barnehage-formannshuset | Masteroppgave 2014 | Snøskred |
| Flakskred ID 45 | 00.12.2010 | Lia - Sukkertoppen | M. Eckerstorfer, 2013 | Skred registrert av M. Eckerstorfer. Bruddkant der maks. var på 150 cm. Foto ikke eksakt utløp det stoppet i skråningen. |
| Flakskred ID 46 | 28.01.2010 | Sverdrupbyen | Cryoslope www.skred-svalbard.no | |
| Flakskred ID 47 | 28.04.2010 | Gruvefjellet over Nybyen | Cryoslope www.skred-svalbard.no | |
| Skavl/flakskred ID 48 | 17.04.2010 | Gruvefjellet over Nybyen | Cryoslope www.skred-svalbard.no | |
| Flakskred ID 49 | 27.02.2009 | Vannledningsdalen, oppe i siden. | Cryoslope www.skred-svalbard.no | Oppe i Vannledningsdalen, NØ vendt skråning |
| Skavl/flakskred ID 50 | 30.03.2009 | Gruvefjellet | Cryoslope www.skred-svalbard.no | |
| Jord- og flomskred ID 51 | 1993_1994 | Longyearbyen barnehage | Antonsen. 2016 | Flomskred gikk ned ved siden av bhg. Etter det ble grøft med gjerde etablert. |
| Flakskred ID 52 | 18.11.2008 | Flakskred over spisshusene | Neumann et al., Cryoslope. 2014 og master | Skredet stoppet oppe i skråningen. |
| Snøskred ID 53 | 05.06.2008 | Nybyen. nedre | Cryoslope www.skred-svalbard.no | |
| Skavl/flakskred ID 54 | 29.11.2008 | Nybyen | Cryoslope www.skred-svalbard.no | Skavl med følgende flakskred snøblokker helt der scooter parkert. |
| Flakskred ID 55 | 28.02.2008 | Lia Sukkertoppen. Omrentlig plassering | Cryoslope www.skred-svalbard.no | Lite flakskred i lia ovenfor spisshusene. Antatt utløst av barn som lekte i området. |
| Flakskred ID 56 | 19.02.2008 | Over huset veien | Cryoslope www.skred-svalbard.no | Flakskred |

| | | | | |
|---------------------------|------------|--|-------------------------------------|---|
| Flakskred ID 57 | 19.02.2008 | Over huset veien | Cryoslope www.skred-svalbard.no | |
| Flakskred ID 58 | 19.02.2008 | Over huset veien | Cryoslope www.skred-svalbard.no | |
| Skavl og sørpeskred ID 59 | 24.02.2008 | Nybyen | Cryoslope www.skred-svalbard.no | |
| Skavl/flakskred ID 60 | 28.02.2008 | Småhusene i Nybyen | Cryoslope www.skred-svalbard.no | Skavl løsnet og startet flakskred ca. 80 høydmeter lenger ned. Relativt stort skred som stopper før det når scooterløypa. |
| Skavl/flakskred ID 61 | 28.02.2008 | Nybyen | Cryoslope www.skred-svalbard.no | |
| Løssnøskred ID 62 | 12.04.2008 | Gruvefjellet | Cryoslope www.skred-svalbard.no | Flere mindre løssnøskred løsnet etter periode med stark vind fra SØ. Vestvendt skråning |
| Skavl ID 63 | 12.04.2008 | Opp i Vannledningsdalen fra sideskråning | Cryoslope www.skred-svalbard.no | Sørvestvendt skråning, stoppet opp i dalen. |
| Flakskred ID 64 | 10.10.2008 | Sverdrup | Cryo data fra M. Eckerstorfer, 2016 | |
| Stein/snøskred ID 65 | 28.04.2008 | Sverdrupbyen-betonhus | Cryoslope www.skred-svalbard.no | |
| Løssnøskred ID 66 | 16.05.2008 | Sverdrupsbyen-betonhus | Cryoslope www.skred-svalbard.no | Skred som antas å ha løsnet mellom brinkene. Ikke skavl. |
| Løssnøskred ID 67 | 16.05.2008 | Over Huset | Cryoslope www.skred-svalbard.no | I gryte over Huset. Stoppet i skråningen før taubanebukker. |
| Løssnøskred ID 68 | 16.05.2008 | Sverdrupbyen-Gruvelagret | Cryoslope www.skred-svalbard.no | Snøskred stoppet før det gikk over tipp. Foto. |
| Skavl/løssnø ID 69 | 05.06.2008 | Gruvefjellet | Cryoslope www.skred-svalbard.no | Skavl og snøskred som drog med seg store mengder stein og løsmasser |
| Skavl/løssnø ID 70 | 05.06.2008 | Skolen-gruve 2 | Cryoslope www.skred-svalbard.no | Skavl som tok med seg løssnø. Skredet delte seg i tre og ødela taubanebukk. |
| Skavl/løssnø ID 71 | 05.06.2008 | Gruvefjellet | Cryoslope www.skred-svalbard.no | |
| Flakskred ID 72 | 18.11.2008 | Lia, spisshusen | Cryoslope www.skred-svalbard.no | Mindre flakskred i Lia ovenfor spisshusene |
| Skavl/flakskred ID 73 | 31.03.2008 | Gruvefjellet | Cryo data fra M. Eckerstorfer, 2016 | |
| Skavl ID 74 | 11.04.2007 | Gruvefjellet. Nord for gruve 2 | Cryoslope www.skred-svalbard.no | |
| Skavl/snøskred ID 75 | 26.04.2007 | Mellom Huset og Sverdrupbyen | Cryoslope www.skred-svalbard.no | Skavl som sannsynlig starte snøskred stoppet i skråningen |
| Snøskred ID 76 | 26.04.2007 | Storsløkta over kirkegården | Cryoslope www.skred-svalbard.no | Storsløkte over kirkegården. koblings stn i skråningen |
| Snøskred ID 77 | 01.05.2007 | Gruvefjellet. nord om gruve 2 | Cryoslope www.skred-svalbard.no | Skavlbrek med snøskred i skråningen under gruvefjellet. Klumper nesten helt ned til veien. Foto |
| Skavl/snøskred ID 78 | 01.05.2007 | Nybyen | Cryoslope www.skred-svalbard.no | Snøskred. foto |

| | | | | |
|----------------------|---------------|---|---|--|
| Skavl/snøskred ID 79 | 16.04.2007 | Nybyen | Cryoslope www.skred-svalbard.no | Flerere studenter var vitne til skredet som gikk kl 21.30 |
| Sørpeskred ID 80 | 15.05.2007 | Sverdrupbyen | Cryoslope www.skred-svalbard.no | Et sørpeskred ovenfor betong hytte i Sverdrupbyen. Stoppet i skråningen over. Foto |
| Skavl ID 81 | 06.04.2007 | Gruvefjellet. Nord om gruve 2 | Cryoslope www.skred-svalbard.no | |
| Skavl ID 82 | 06.04.2007 | Nybyen | Cryoslope www.skred-svalbard.no | |
| Flakskred/snø ID 83 | 08.11.2007 | Lia-under sukkertoppen | Cryoslope www.skred-svalbard.no | |
| Skavl ID 84 | 12.03.2007 | Mellom Huset og Kirkegården | Cryoslope www.skred-svalbard.no | |
| Flakskred ID 85 | 28.11.2007 | Lia-under sukkertoppen | Cryoslope www.skred-svalbard.no | Et mindre flakskred. Mørketid, men månelys |
| Skavl ID 86 | 12.01.2007 | Gruvefjellet. Nord om gruve 2 | Cryoslope www.skred-svalbard.no | |
| Skavl/snøskred ID 87 | 16.04.2006 | Under gruvefjellet | Cryoslope www.skred-svalbard.no | Skavlbrekks som utløste flere mindre løsneområder i skråningen. Avsetningen bestod av snøblokker og snømasser. |
| Skavl/snø ID 88 | 15.05.2005 | Skråning under gruvefjellet | Cryoslope www.skred-svalbard.no | Skavlbrekks. Utløste snøskred som stoppet opp i skråningen. |
| Flakskred ID 89 | 19.01.2004 | Lia-under Sukkertoppen | Longyearbyen lokalstyre. Foto | Et stort flakskred. Bilde fra Lokalstyret. |
| Steinskred ID 90 | 20.02.2002 | Kirkegården. Steinblokker over veien. Omrentlig avmerket, foto. | Svalbard historie i årstall. 2005 og Svalbardpost nr 8, 2002. | Ras fra fjellsiden over kirkegården. Steinblokker knekte el stolpe og kors på kirkegården. Stoppet på nedsiden av veien. |
| Snøskred ID 91 | 05.04.1991 | Lia snøskred | Vedlegg 2. NGI rapport 904025.2. foto | Rester av snøskred synes på bilde. Antatt omrentlig plassering. |
| Sørpeskred ID 92 | 14.06.1989 | Vannledningsdalen | Longyearbyens geologi. 2012 | Sørpeskred. Ikke oppgitt utløp. Men ødeleggelsjer uten skader på mennesker. |
| Snø/sørpe/flom ID 93 | 11.06.1953 | Haugen. Longyearbyen Sykehus. Der det lå i gamle dager. | Svalbards historie i årstall. 2005 | Vannledningsdalen. Sørpeskred 3 døde og 30 ble såret. Flere hus ble ødelagt. |
| Flomskred ID 94 | 10.-11.7.1972 | Haugen. Flere større flomskred etter heftig regnvær. | Larsson, 1982 | 31 mm nedbør ila 12t før skredene gikk |
| Flomskred ID 95 | 4.-5.8.1981 | Flere flomskred i Longyearbyen | Larsson, 1982 | |
| Snøskred ID 96 | 00.03.2000 | Nybyen. Snøskred ned til rørgaten. | J.O. Larsen.2016 | Snøskred ved rød hytte i Nybyen, stoppet ved rørgaten. |
| Snøskred ID 97 | 00.04.2009 | Nord for Gruve 2. Snøskred over veien. | J.O. Larsen.2016 | Snøskred over veien til Nybyen. |
| Flomskred ID 98 | 05.08.1981 | Flomskred nord for Strammestasjonen | NGI rapport 924004-1.1992 vedlegg 4 | Større flomskred ned ved siden av strammestasjonen tydelige leveer. |
| Snøskred ID 99 | 19.12.2015 | Snøskred, mot vei 222 under Sukkertoppen | NGI 20150709-01-TN og Hekne, 2016. | Snøskred stoppet om lag 15 m ovenfor vei 222. |

| | | | | |
|------------------------------|------------|--|---|---|
| Jord- og flomskred ID 100 | 15.10.2016 | Både jord og flomskred i skråning nord for kirkegård. | Svalbardposten nr 41, UNIS report 18 okt. og J.Rognmo, alle i 2016. | Jordskred som stopper på oversiden av veien, i samme skredbane går det flomskred som når over veien og et stykke ned mot elva. I hovedsak vann og finere masser som når over veien. |
| Steinskred ID 101 | 03.10.2002 | Steinskred i skråningen over kirkegården. Omtrentlig avmerket, foto. | Svalbardposten nr 40, 2002 og W.Sørensen, 2016. | Et steinras ble bevitnet i mørkret kl. 22.25. Bil kjørte gjennom området rett etter uten å merke noe. Skredet stoppet opp i skråningen. |

Vedlegg F

Utvalgte modelleringers resultater

Vedlagt er et utvalg av beregninger og modelleringer som er utført i de aktuelle områdene.

Det er med α/β - modellen utført beregninger på snøskredsutløp.

Det er med simuleringsverktøyet RAMMS utført simuleringer på snøskred og flom/sørpeskred.

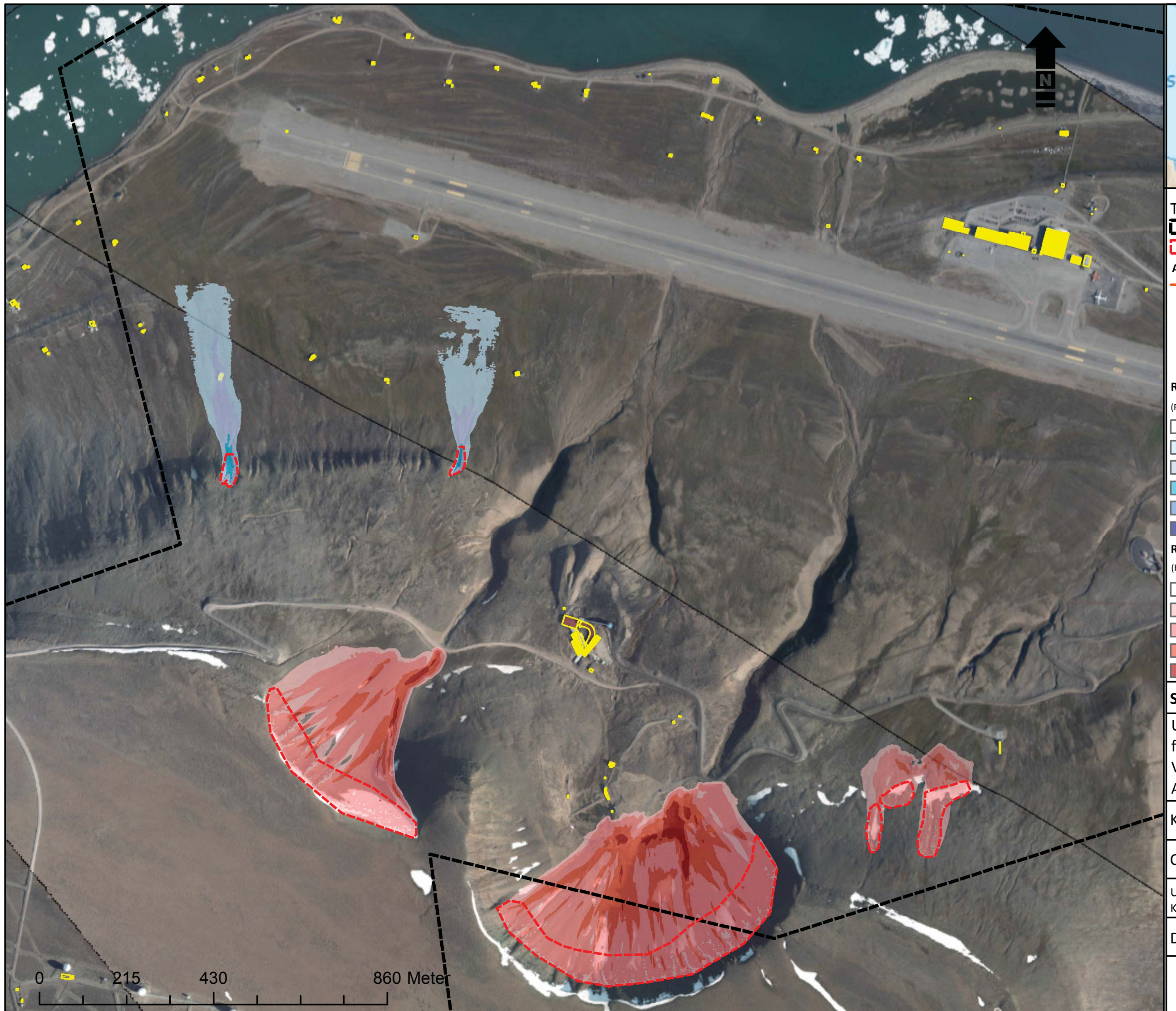
Kart:

- F-1 Vestpynten- Bykaia Vest
- F-2 Vestpynten- Bykaia Øst
- F-3 Longyearbyen Nord
- F-4 Longyearbyen Sør
- F-5 Bolterdalen

Det er med programmet RocFall utført simuleringer av steinsprang.

Kart:

- F-6 RocFall simuleringer-Longyearbyen



Tegnforklaring
■ Kartleggingsområde
■ Løsneområde (snøtykkelse se kap. 5.7)

Alfa - Beta modellen

- Skredprofil
- ★ Utløsningspunkt
- Beta
- Alfa
- Alfa-SD

RAMMS flom-/sørpeskred, maks høyde

(For informasjon om løsneområdet, se kpt.5.7)

| | |
|--|-------------|
| | 0 - 0.1 |
| | < 0.5 m |
| | 0.5 - 1.5 m |
| | 1.5 - 3 m |
| | 3 - 5 m |
| | 5 - 8 m |

RAMMS snøskred, maks høyde

(For informasjon om løsneområdet, se kpt.5.7)

| | |
|--|-------------|
| | 0 - 0.1 |
| | < 0.5 m |
| | 0.5 - 1.5 m |
| | 1.5 - 3 m |
| | 3 - 6 m |

Skredfarekartlegging Svalbard

Utvalgte modelleringsresultater fra RAMMS
Vestpynten-Bykaia vest
A3 1:12 000

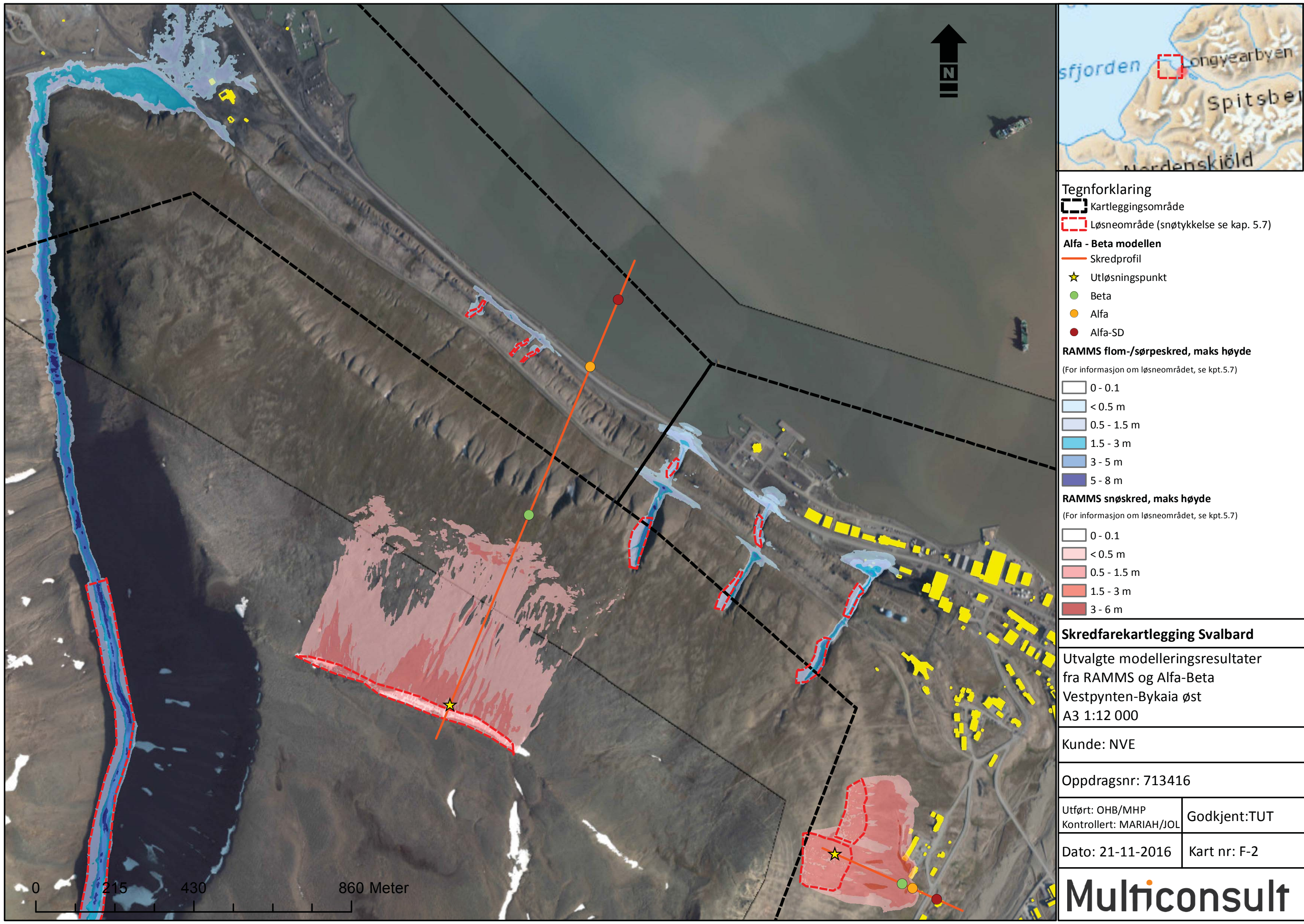
Kunde: NVE

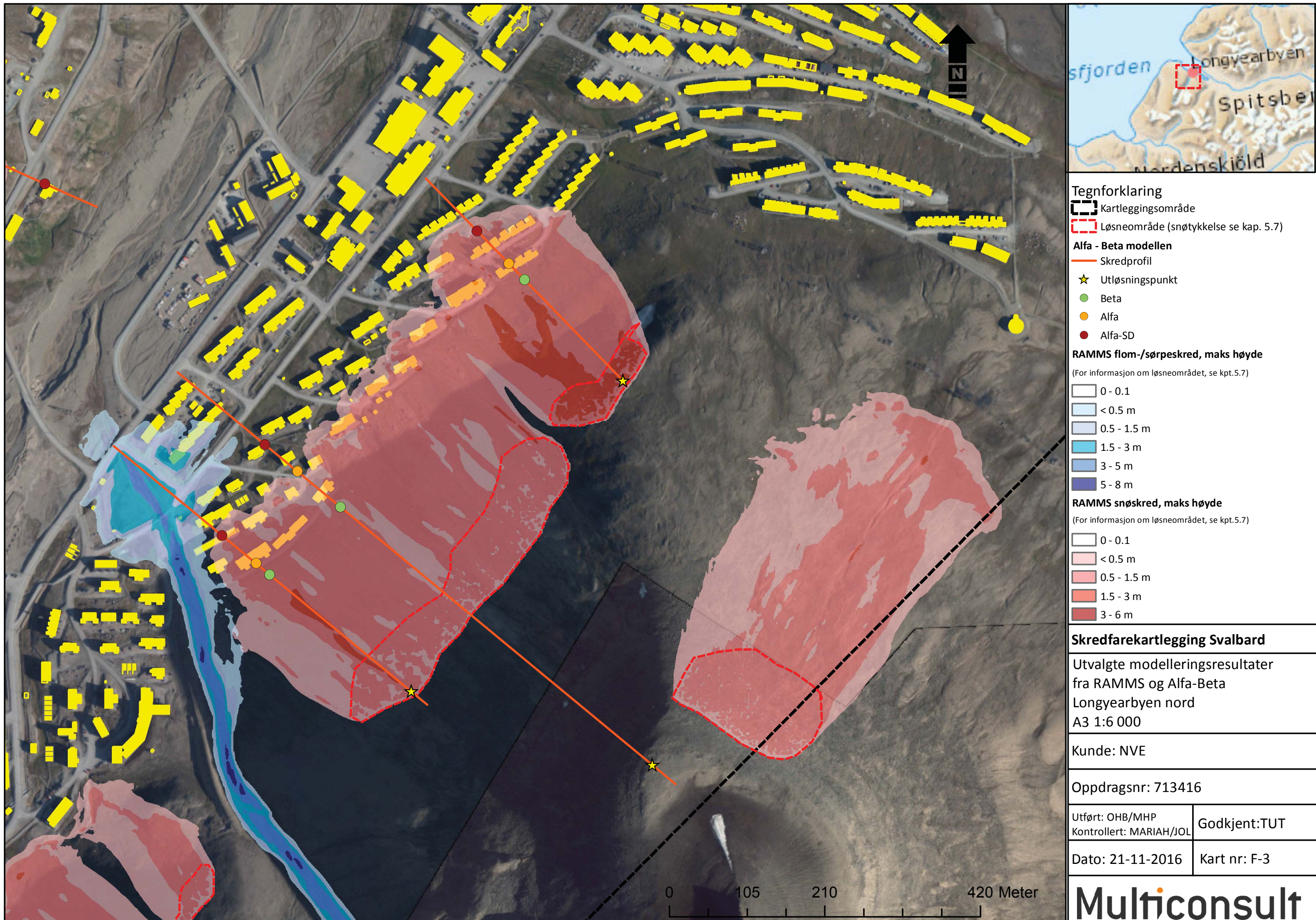
Oppdragsnr: 713416

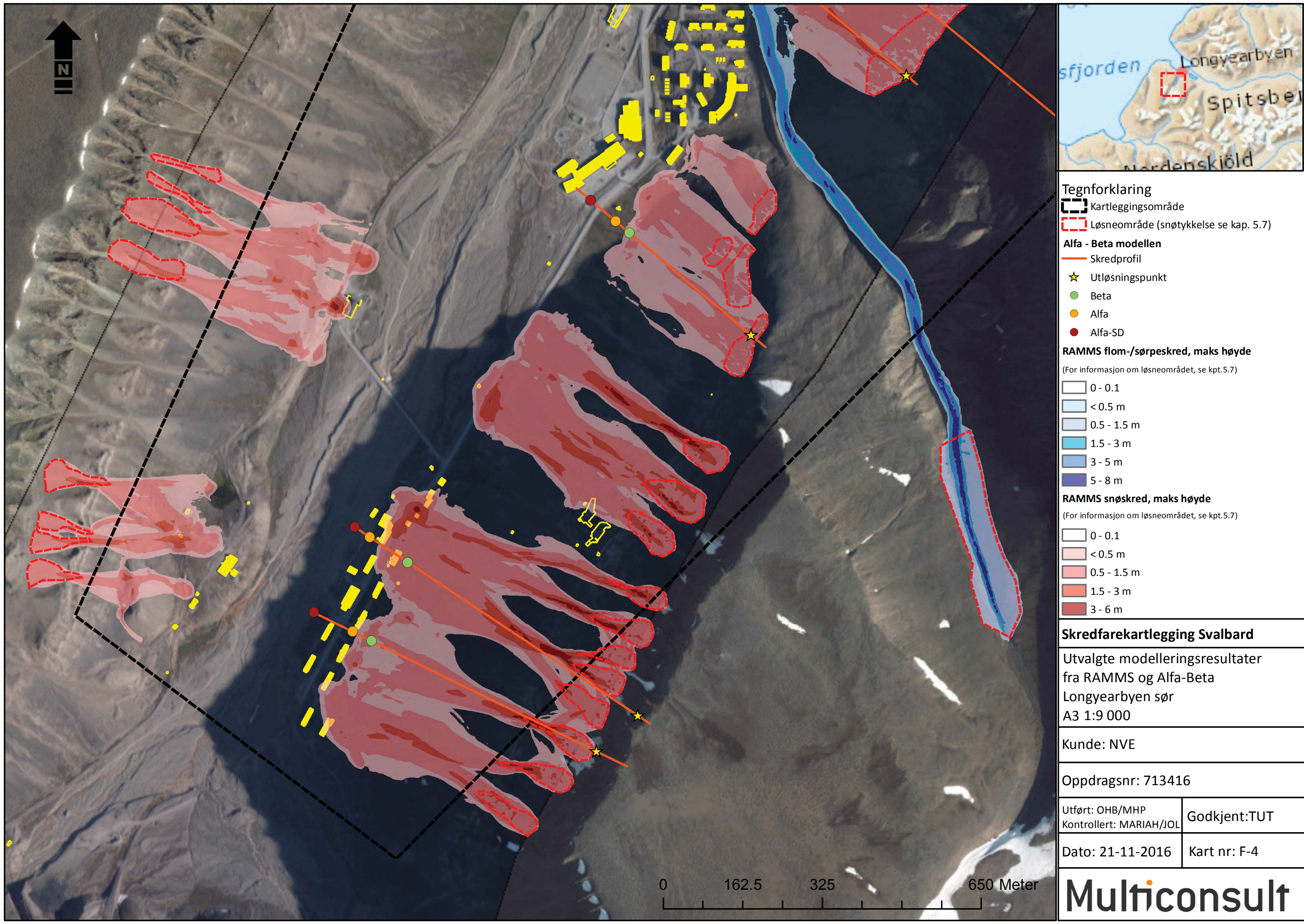
| | |
|--|--------------|
| Utført: OHB/MHP Kontrollert: MARIAH/JOL | Godkjent:TUT |
|--|--------------|

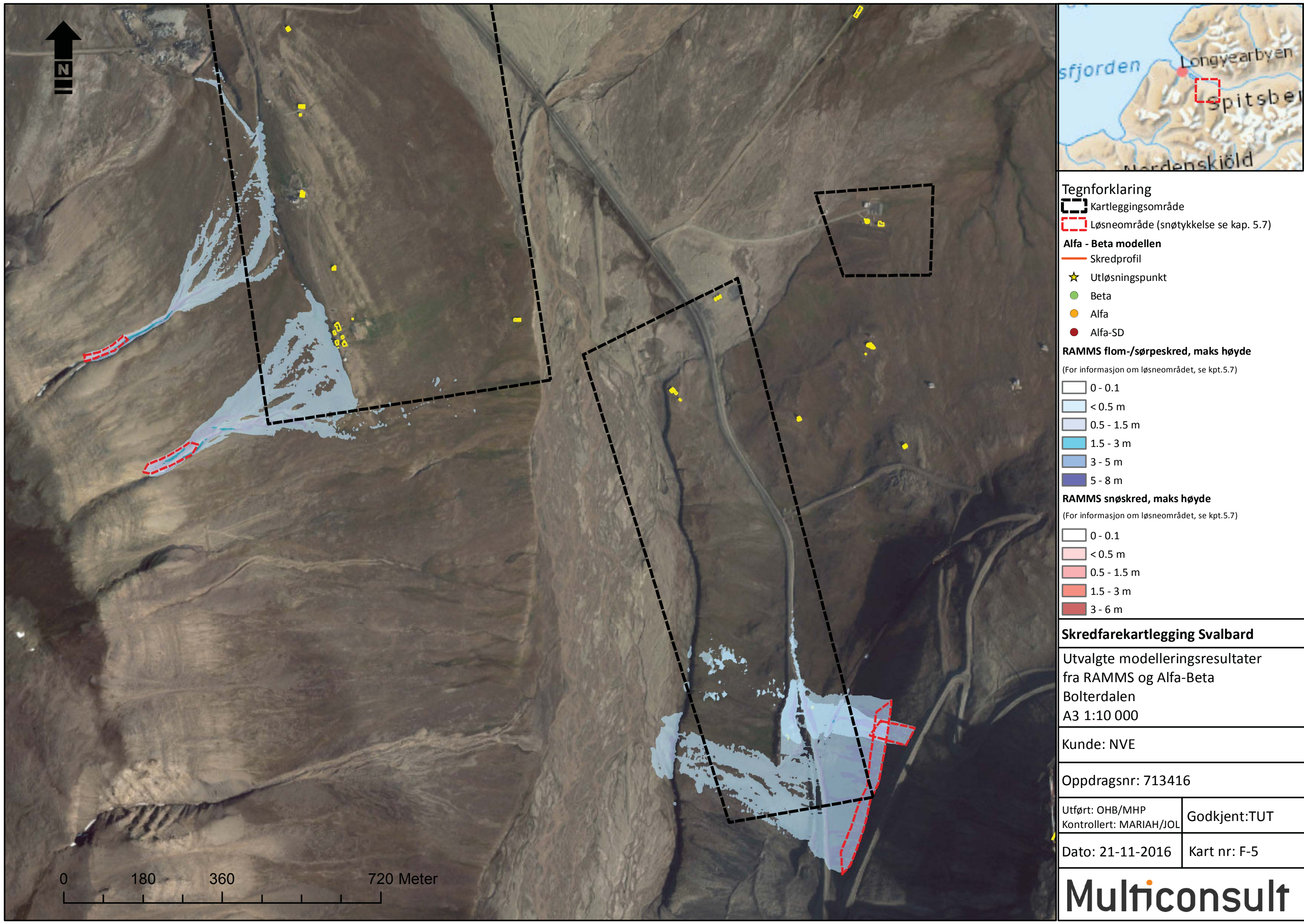
Dato: 21-11-2016 Kart nr: F-1

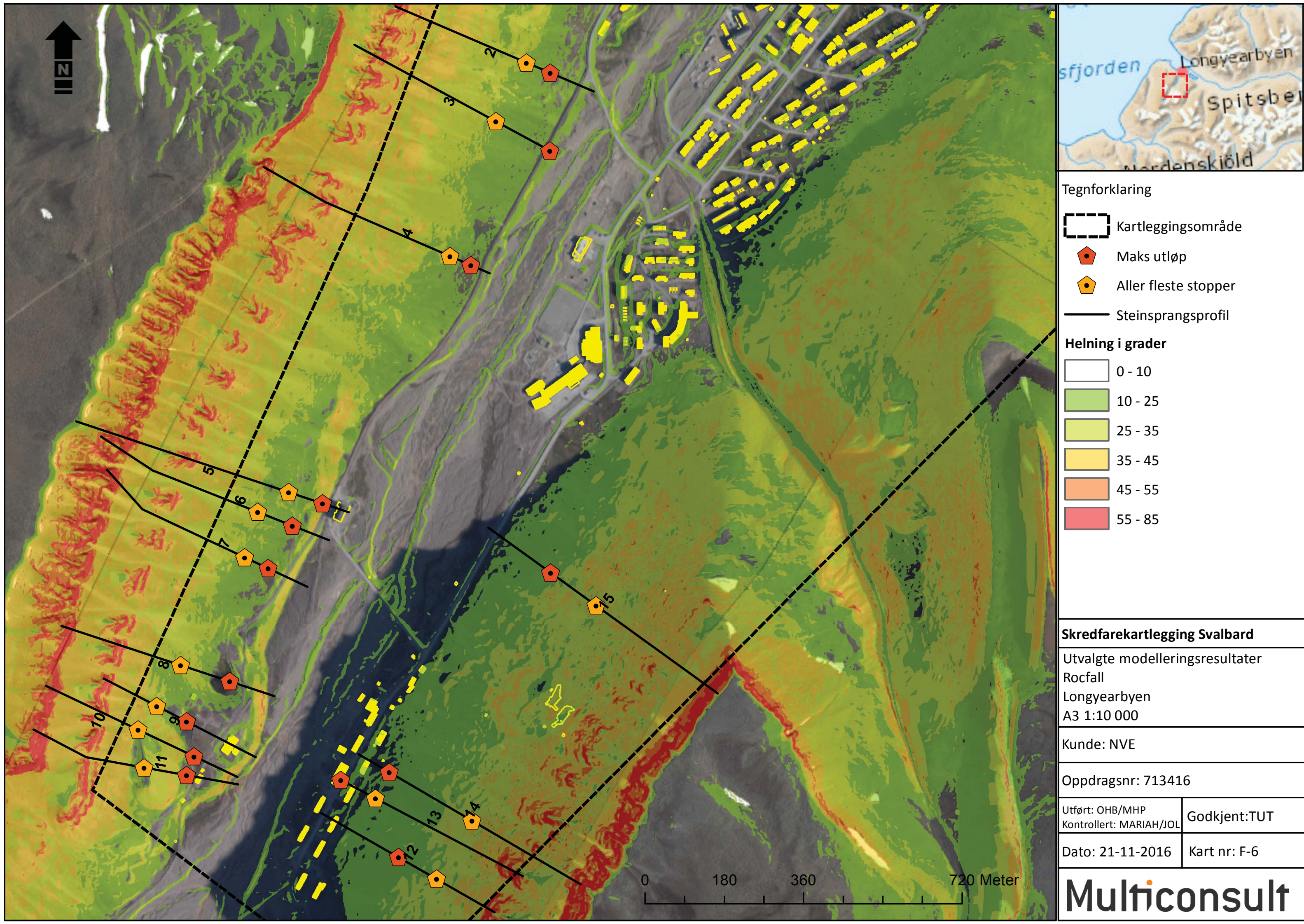
Multiconsult











Vedlegg G

Foto vedlegg

Vedlagt er et kompletterende utvalg foto/bilder fra enkelte av områdene.

I **Vestpynten- Bykaia**

II **Longyearbyen**

Vedlegg G

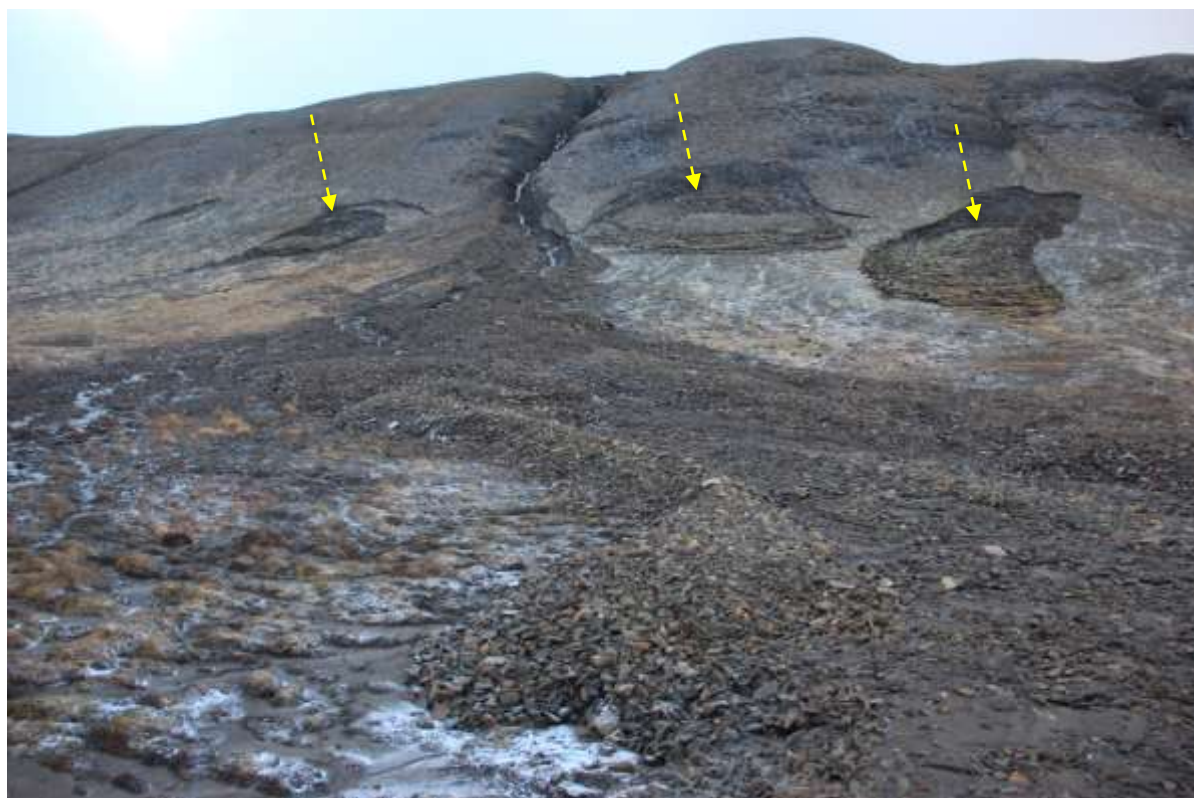
I Vestpynten-Bykaia



1 Figur 1. Ferske flomskredbaner ved hyttefeltet sørvest for flyplassen, september 2016. Sett mot sør.
Skredbaner er anvist med gule piler



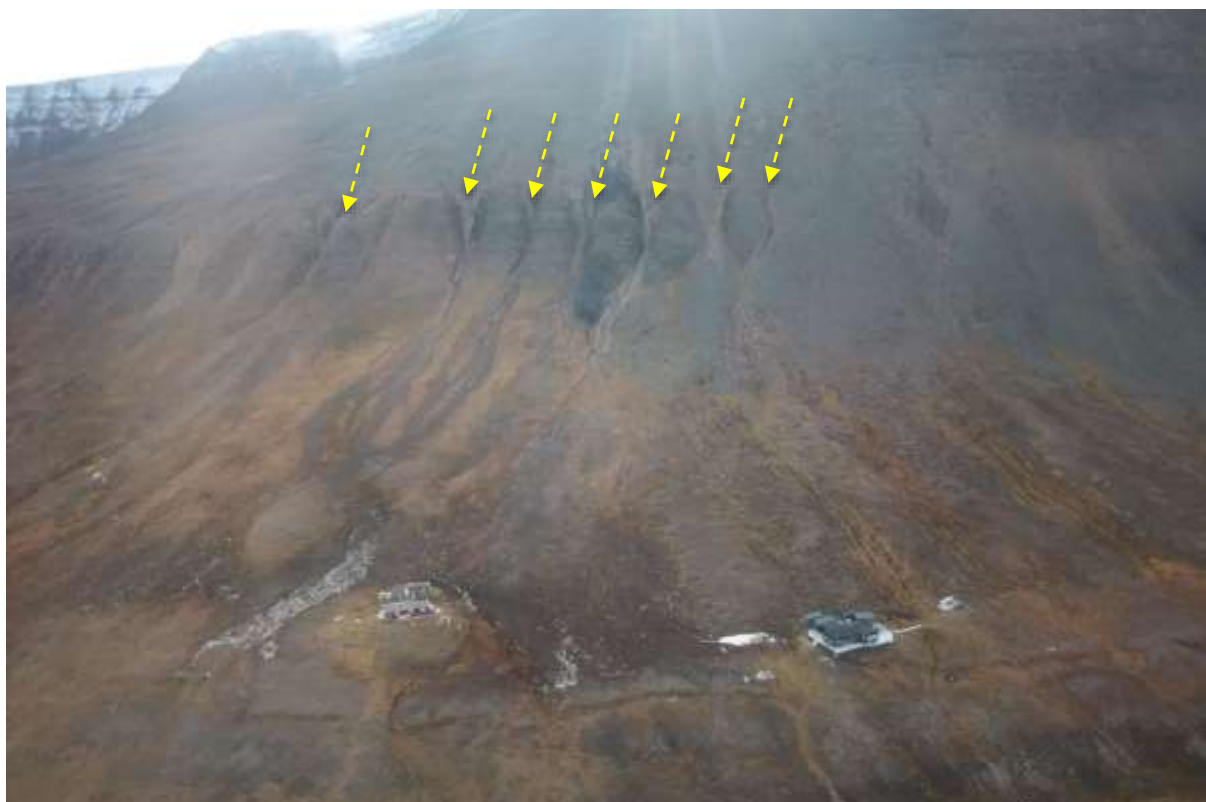
2 Figur 2. "Detachment" utglidninger/skred, samme sted som figur 2, foto fra Ngu.no, via NVE okt. 2016.
Skredbaner/skred er anviset med gule piler



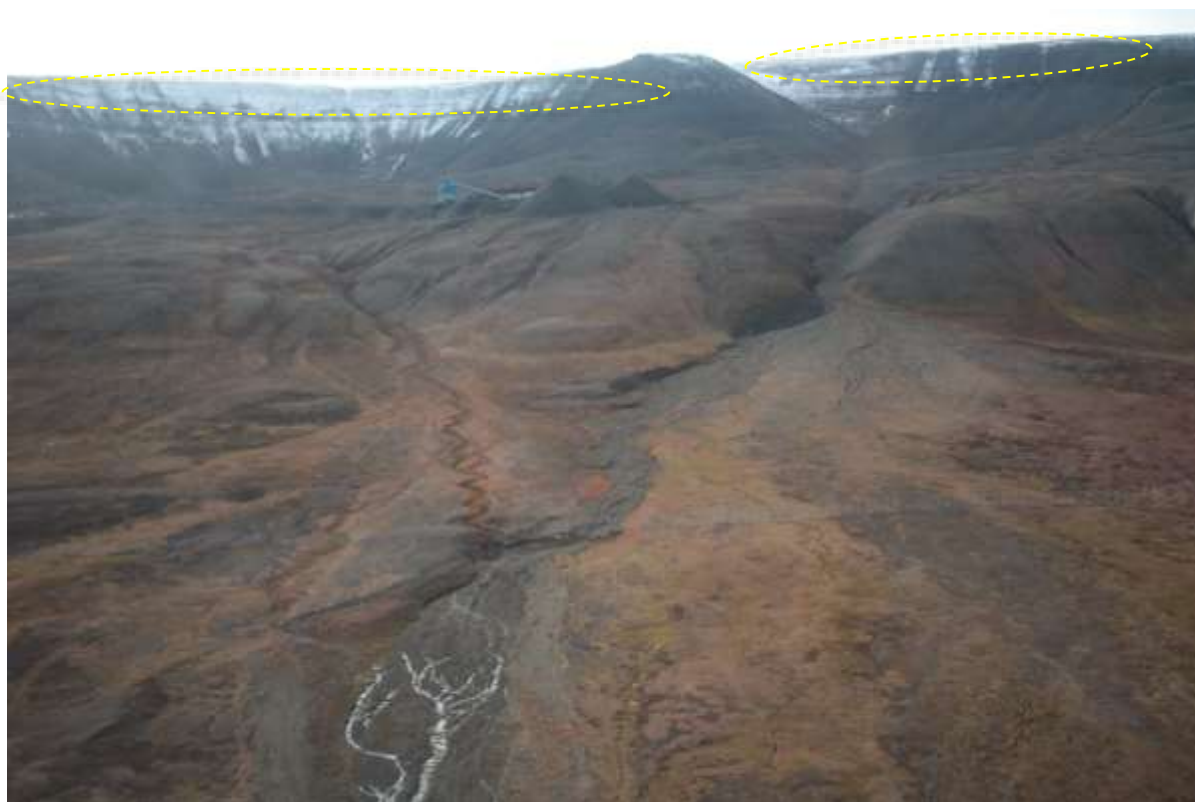
3 Figur 3.. "Detachment" utglidninger/skred i skrånningen sørvest for flyplassen. Avsetning jord-flomskred i front. Foto Ngu.no, via NVE okt.2016. Skred er anviset med gule piler



4 Figur 4. Potensielle løsneområder for jord-, flom- og sørpeskred i skråningen ovenfor flyplassen, sett mot sør. Løsneområder er anvist med gul sirkel. Skredbaner er anvist med gule piler



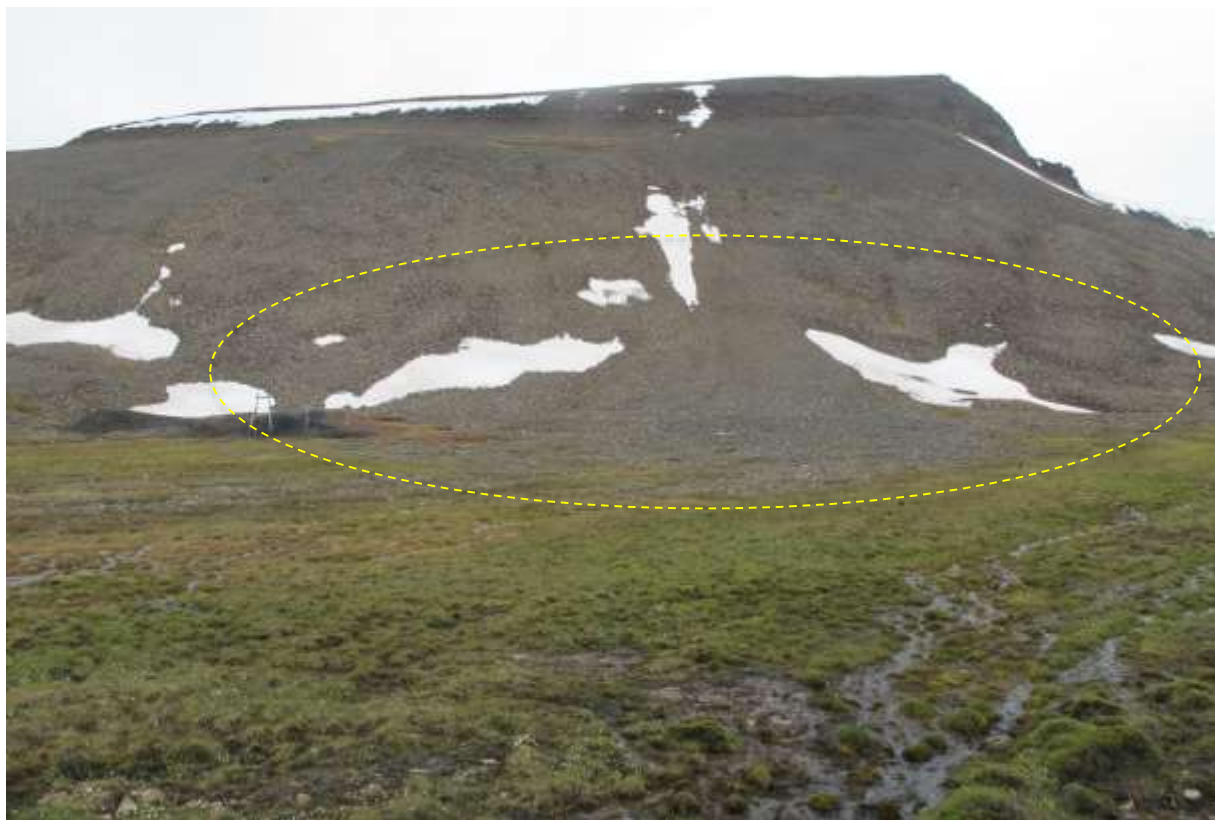
5 Figur 5. Ferske spor av sørpeskred og flomskred ved hyttefeltet ved flyplassen. Rester av en hytte som ble tatt av sørpeskred i 2013 er synlig til venstre i bildet. Bildet er tatt mot sør, september 2016. Skredbaner er anvist med gule piler



6 Figur 6. Blanding av fluviale og flomskredavsetninger ovenfor flyplassen. Øverst til venstre i bildet ligger skytebanen og løsneområder for snøskred i bollen. Bildet er tatt mot sørvest. Løsneområder for skavelbrekk og snøskred er anvist med gule sirkler



7 Figur 7. Skråningen bak gruve 3 ved Platåfjellet, med Svalsatveien til høyre i bildet. Snøskred og steinsprangavsetninger er observert i skråningen. Bildet er tatt mot vest.



8 Figur 8. Snøskredavsetning i området vest for frølageret. Bildet er tatt mot sør. Avsetninger anviset med gul sirkel



9 Figur 9. Det er kjent at det er hyppig snøskredaktivitet i øvre del av Blomsterdalen. Etter skredaktivitet kan snømassene bli liggende i dalbunnen, og kan potensielt forårsake oppdemning av dreneringen. Dette kan føre til vannmetting av snømassene og at sørpemateriale blir transportert mot kartleggingsområdet. Foto er tilsendt av lokalstyret, og tatt mot nord.



10 Figur 10. Området ovenfor Burmaveien: nysnø i området der det tidligere er observert at det kan løsne mindre flakskred. De tydelige raviner lenger ned i skråningen er områder der jord-, flom og sørpeskred kan initieres. Bildet er tatt mot sørvest. Raviner er anvist med gule piler



11 Figur 11. Omtrent samme område som i figur 10. Bildet viser et sørpeskred ved den større ravinen. Skredet gikk helt ned og over veien. Foto er tilsendt av lokalstyret, og tatt mot sørvest i 2013. Ravine er anvist med gul pil



12 *Figur 12. Samme ravine som i figur 11 men sett fra Burmaveien. er tatt mot nordøst.*



13 *Figur 13. Sørpeskred fra ravinen (figur 11 og 12) som gikk over veien i juni 2013. Foto er tilsendt av lokalstyret, og tatt mot nordvest.*



14 *Figur 14. Ikke tilfredsstillende drenering, underdimensjonerte og skadde rør er en grunn til fare for skredfare ved ravinene langs Burmaveien og ned mot Flyplassveien. Bildet er tatt ca. mot øst.*

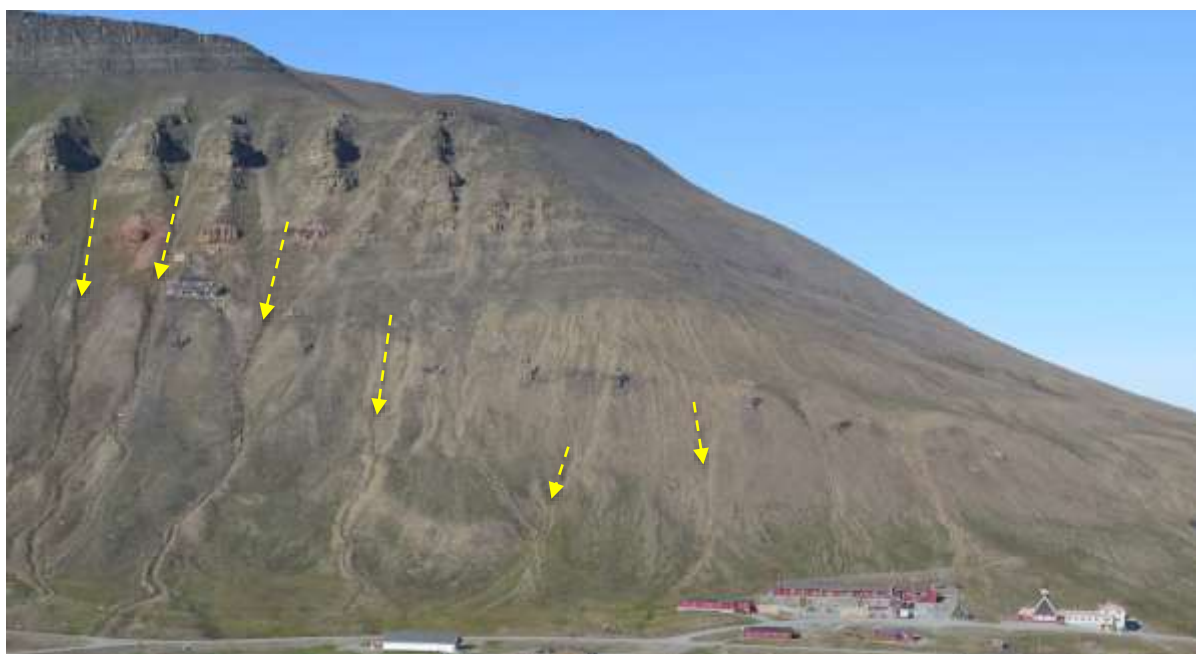


15 *Figur 15. Et eksempel av en typisk ravine ovenfor Burmaveien med aktiv erosjon. Bildet er tatt mot nordøst.*



16 Figur 16. Området ovenfor Burmaveien mot Blomsterdalen: lite observerte spor av skredaktivitet i høyereliggende skråning. Ravinelandskap med potensielle løsneområder for mindre jord- og flomskred i nedre del av skråning ovenfor veien. Bildet er tatt mot sørvest. Raviner er anvist med gul sirkel

II Longyearbyen



Figur 17. Skråningen ovenfor Longyearbyen barnehage og kirkegården er dominert av flomskredprosesser. Bildet er tatt mot vest. Flomskredbaner er anvist med gul pil



Figur 18. Det er også kjent mindre snøskredhendelser i området ovenfor Longyearbyen barnehage. Foto er tilsendt av lokalstyret, og tatt mot nordvest i 2011.



Figur 19. Snø- og steinskredavsetninger dominerer i skråningen ovenfor Huset. Bildet er tatt mot nordvest. Avsetninger og skredbaner er anviset med gule piler.



Figur 20. Steinsprang fra nyere tid i området mellom Longyearbyen barnehage og Huset. Størrelse på blokkene er ca. 1 m³. Bildet er tatt mot sørvest.



Figur 21. Slik så det ut etter jord- flomskredet som gikk i Longyeardalen 15. oktober 2016. Foto: Trond Olsen, sysselmannførstebetjent, Sysselmannen på Svalbard.



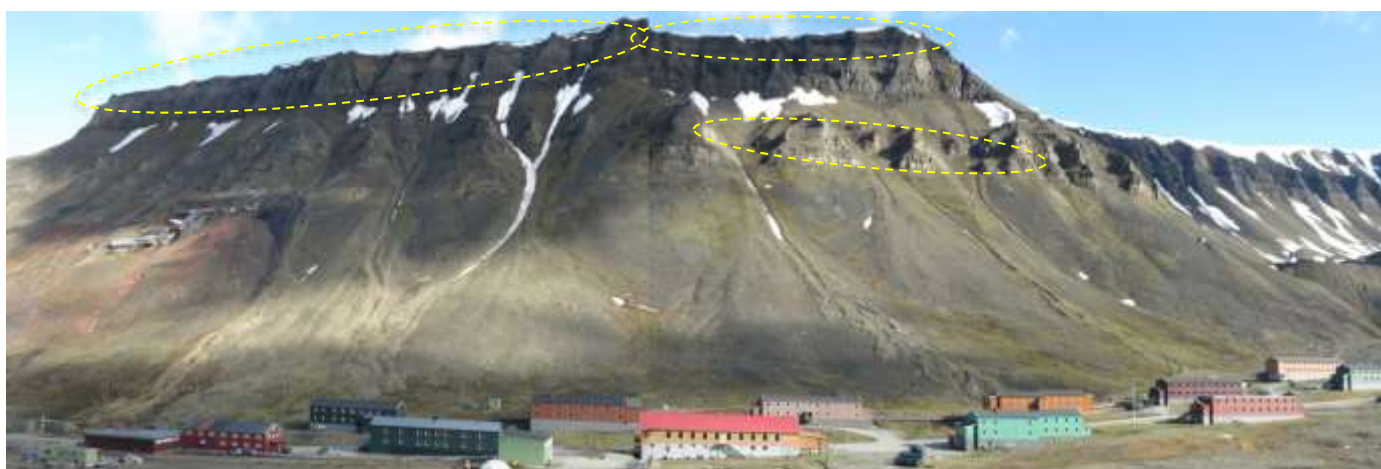
Figur 22. Skråningen ovenfor Sverdrupbyen har både steinsprangaktivitet og mindre snøskredaktivitet fra de steile bergpartiene og skredbanene. Bildet er tatt mot vest. Bånd av bergpartier som frekvent kan gi steinsprang er anvist med gule piler, og skredbaner som har mindre snøskred er også avmerket.



Figur 23. Sverdrupbyen om vinteren 2008 etter et steinskred løsnet fra bergpartiet, og drog med seg snømasser på vei ned. Foto er tilsendt av lokalstyret, og tatt mot sørvest. Skredbaner er anvist med gule piler.



Figur 24. Steinblokk som antas remobilisert seg fra toppen på tippen ved Svedrupbyen fra 2016. Antatt opprinnelse er fra den sørlige delen av tippen. Bildet er tatt mot nordøst.



Figur 25. Skavldannelse langs Gruvefjellet er et årlig fenomen, som fører til skavlbrekke og snøskred i skråningen mot Nybyen og ved Gruve 2. De fleste snøskredene stopper i skråningen før bebyggelse: traktormedde kløfter i øverste deler av skråningen er med på å binde skavlene. Partiene av berg lavere ned i skråningen i sørlige delen av Nybyen styrer også eventuelle skred i bestemte skredbaner. Dette medfører at det er mindre sannsynlig at større snøskred dannes og løsnes mot bebyggelse ved Nybyen. Det er registrert flere ferske flomskredavsetninger på snøskredviftene, samt steinsprangblokker (på ca. 1 m³) på oversiden av bebyggelsen. Skavlpartier og partier av berg som styrer skred er anvist med gule sirkler.



Figur 26. På toppen av Gruvefjellet er det tydelige spor av hvordan skavlene eroderer og plukker opp steinmasser (anvist med gult) fra den øverste delen av skrånningen. Bildet er tatt mot nord.



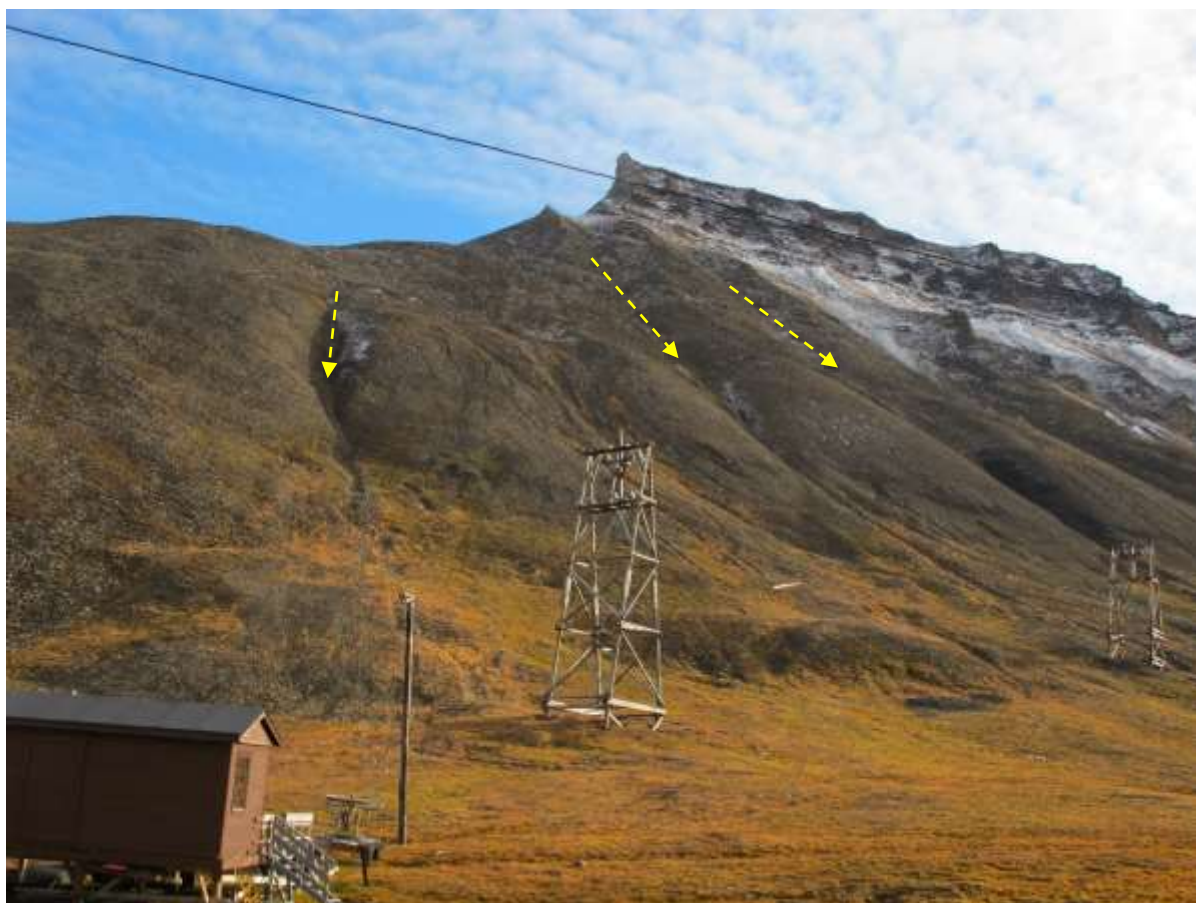
Figur 27. Flomskred- og snøskredavsetninger mellom de to små byggene i nordlige delen av Nybyen. Bildet er tatt mot øst. Skredbane er anvist med gul pil



Figur 28. Gamle steinsprangavsetninger ligger tett på bebyggelse ved Nybyen. Bildet er tatt mot nord.



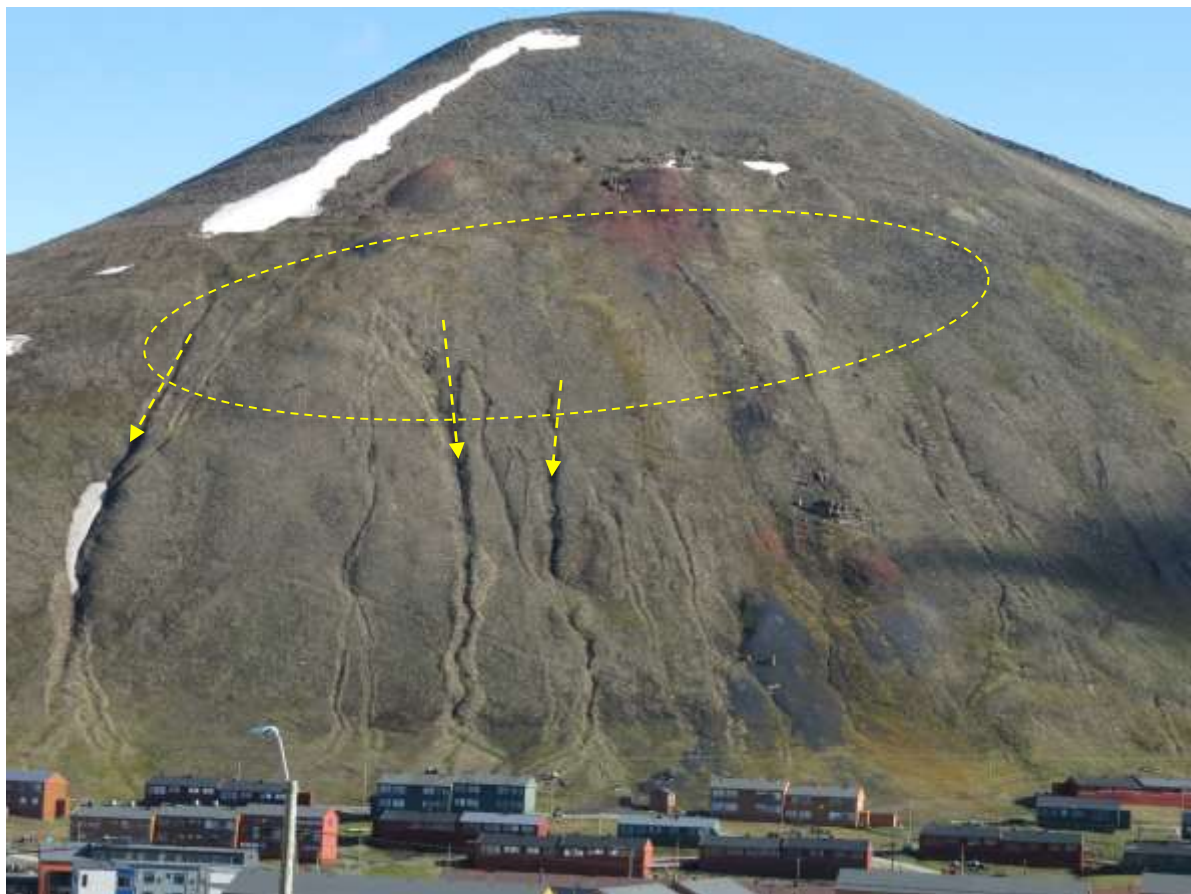
Figur 29. To større flaksnøskred nordøst for Gruve 2, mai 2012. Denne delen av skråningen langs Gruvefjellet er mer utsatt for større snøskred grunnet rettere profil langs de øverste bergskrentene sammenlignet med området ovenfor husene i sørlige delen av Nybyen. Jevnere bergpartier uten utstikkere der skavlene dannes gjør at skavlbrekker blir med lengre utstrekking og kan utløse større flakskred i den tilstøtende skråningen rett nedenfor de brattere bergpartiene. Bilde av Markus Eckerstorfer, og tatt mot nordøst. Skredbaner er anvist med gule piler



Figur 30. Skråningen ovenfor skolen er utsatt for mindre snø-, sørpe-, og flomskred. Bildet er tatt mot sørøst. Skredbaner er anvist med gule piler



Figur 31. Skråningen ovenfor Spisshusene. Vindtransportert snø kan akkumuleres i store mengder i løpet av en kort tid i skråningen der det fortsatt på bilde ligger snø. Dette er et kjent løsneområde for flaksred, og det var her det fatale skredet løsnet i desember 2015. Bildet er tatt mot øst. Akkumuleringsområde er anvist med gul sirkel



Figur 32. Tydelige flomskredbaner og -avsetninger i skråningen ved Sukkertoppen. De midterste delene av skråningen er også potensielle akkumuleringsområder for snø ved enkelte vindretninger. Bildet er tatt mot sørøst. Skredbane er anvist med gule piler. Akkumuleringsområde er anvist med gul sirkel



Figur 33. Vannledningsdalen er kjent for sin sørpeskredproblematikk, skredene starter lenger opp i dalen. Vollen til høyre i bildet ble først etablert sent på 50-tallet, men er forbedret i senere tid. Noter også aktive flomskredbaner fra Sukkertoppen til venstre i bildet. Bildet er tatt mot sørøst. Skredbaner er anvist med gule piler og Vannledningsdalen anvist med rød pil



Figur 34. Bildet er tatt etter sørpeskred fra Vannledningsdalen i juni 1989. Foto fra SNSK's arkiv, tatt mot sørøst.



Figur 35. Løsneområdet for sørpeskred i Vannledningsdalen. Bildet er tatt mot nordvest. Foto av J.O. Larsen.



Figur 36. Skråningen nord for Sukkertoppen, Skråningen ovenfor Strammestasjon har til vanlig lite akkumulering av snø. Det kan dock akkumuleres snø ved sjeldne tilfeller i enkelte områder i denne skråningen. Bildet er tatt mot sørvest. Spor av tidligere flomskredhendelse.



Figur 37. Eldre flomskredavsetninger i nedre del av skråningen nord for Sukkertoppen, sett mot nordøst.



Norges
vassdrags- og
energidirektorat



Norges vassdrags- og energidirektorat

Middelthunsgate 29
Postboks 5091 Majorstuen
0301 Oslo

Telefon: 09575
Internett: www.nve.no